



## MARINE BIOLOGICAL LABORATORY.

---

Received.....

Accession No. ....

Given by .....

Place, .....

\*\*\*No book or pamphlet is to be removed from the Laboratory without the permission of the Trustees.





**Archiv**  
für  
**Mikroskopische Anatomie**  
und  
**Entwicklungsgeschichte**

herausgegeben

von

**O. Hertwig in Berlin,**  
**v. la Valette St. George in Bonn**  
und  
**W. Waldeyer in Berlin.**

Fortsetzung von Max Schultze's Archiv für mikroskopische Anatomie.

**Namen- und Sachregister**  
zu Band LI—LX.



**Bonn**  
Verlag von Friedrich Cohen  
1903.



## Autoren - Verzeichnis.

- Abraham, Dr., Zahnarzt. Die Durchschneidung des Nervus mandibularis. LIV, 224.
- Aguerre, Dr. J. A. Untersuchungen über die menschliche Neuroglia. LVI, 509.
- Aichel, Dr. Otto Vergleichende Entwicklungsgeschichte u. Stammgeschichte der Nebennieren. Ueber ein neues normales Organ des Menschen u. d. Säugetiere. LVI, 1.
- Alexander, Dr. G. Bemerkung zum Aufsatz: Dr. J. J. Streiff „Stabilitblock u. Alkoholkammer“. LVII, 480.
- Das Labyrinthpigment des Menschen und der höheren Säugetiere nebst Bemerkungen über den feineren Bau des perilymphatischen Gewebes. LVIII, 134.
- Apolent, Dr. H. Ueber den Verhornungsprozess. LVII, 766.
- Argutinsky, Dr. P. Ueber die Gestalt und Entstehungsweise des Ventriculus terminalis und über das Filum terminale des Rückenmarkes bei Neugeborenen. I. Mitteilung. LII, 501.
- Eine einfache und zuverlässige Methode Celloidinserien mit Wasser und Eiweiss aufzukleben. LV, 415.
- Malariastudien. LIX, 315.
- Arnold, Prof. J. S. I. Teil. Ueber Struktur u. Architektur der Zellen. II. Teil, Nervengewebe. LII, 535.
- Arnold, Prof. J. Ueber feinere Struktur u. Architektur der Zellen. III. Teil, Muskelgewebe. LII, 762.
- Ueber Struktur und Architektur der Zellen. I. Teil. LII, 134.
- Ueber vitale Granulafärbung in den Knorpelzellen, Muskelfasern und Ganglienzellen. LV, 479.
- Aschheim, Selmar. Zur Kenntnis der Erythrocytenbildung. LX, 261.
- Ascoli, Mauricio. Ueber die Blutbildung bei der Pricke. LIII, 623.
- Ueber das Vorkommen kernhaltiger Erythrocyten im normalen Blute. LV, 426.
- Auerbach, Max. Das braune Fettgewebe bei schweizerischen und deutschen Nagern. LX, 291.
- Bade, Dr. Peter. Die Entwicklung des menschlichen Skeletts bis zur Geburt. LV, 245.
- Ballowitz, Dr. E. Ueber das Epithel der membrana elastica posterior des Auges, seine Kerne und eine merkwürdige Struktur seiner grossen Zellsphären. LVI, 230.
- Bauer, Fr. Beitrag zur Histologie des Muskelmagens der Vögel. LVII, 653.
- Beissner, Hans. Die Zwischensubstanz des Hodens und ihre Bedeutung. LI, 794.

- Der Bau der Samenableitenden Wege bei *Rana fusca* und *Rana esculenta*. LIII, 168.
- Berliner, Kurt. Die Entwicklung des Geruchsorgans der Selachier. LX, 386.
- Bethe, Albrecht. Ueber die Neurofibrillen in den Ganglienzellen von Wirbeltieren und ihre Beziehungen zu den Golginetzen. LV, 513.
- Das Centralnervensystem von *Carcinus Maenas*. LI, 382.
- Die Degeneration der markhaltigen Nervenfasern der Wirbeltiere unter hauptsächlichlicher Berücksichtigung des Verhaltens der Primitivfibrillen. LIV, 135.
- Bickel, Dr. Ad. Zur Anatomie des accessorischen Trigeminuskernes. LIX, 270.
- Bischoff, C. W. Histologische Untersuchungen über den Einfluss des Schneidens der Haare auf ihr Wachstum. LI, 691.
- Broman, Dr. J. Ueber gesetzmässige Bewegungs- und Wachstumserscheinungen (Taxis- und Tropismenformen) der Spermatischen, ihrer Centalkörper, Idiozomen und Kerne. LIX, 106.
- Browicz, Prof. Ueber intravasculäre Zellen in den Blutcapillaren der Leberacini LV, 420.
- Bemerkungen zum Aufsatz R. Heinz: Ueber Phagocytose der Leberendothelien. LX, 177.
- Bruysch, Th. cand. med. Die Entwicklung d. Labyrinthes beim Huhn. LIX, 354.
- Burchardt, Eugen. Ueber Holzessigfarben. LIII, 232.
- Burckhard, G. Die Implantation des Eies der Maus in die Uterus-Schleimhaut und die Umbildung derselben zu Decidua. LVII, 528.
- Coenen, Dr. H. Das Trigeminusganglion des Orang. LX, 514.
- Dahlgrün, W. Untersuchungen über den Bau der Exkretionsorgane der Tunicaten. LVIII, 608.
- Dömény, P., cand. med. Zur Histologie des äusseren Genitales. LIV, 602.
- Dogiel, A. S. Die sensiblen Nervenendigungen im Herzen und in den Blutgefässen der Säugtiere. LII, 44.
- Zur Frage über den feineren Bau der Herzganglien des Menschen und der Säugetiere. LIII, 237.
- Die Nervenendigungen im Bauchfell, in den Sehnen, den Muskelspindeln und dem Centrum tendineum des Diaphragma beim Menschen und bei Säugetieren. LIX, 1.
- Edinger, L. Das Cerebellum von *Scyllium canicula*. LVIII, 661.
- Emden, G. Primitivfibrillenverlauf in der Netzhaut. LVII, 570.
- Emmert, Dr. J. Beiträge zur Entwicklungsgeschichte der Selachier, insbesondere nach Untersuchungen an jüngeren Embryonen von *Torpedo marmorata*. LVI, 459.
- Enderlein, Dr. Günther. Beitrag zur Kenntnis des Baues der quergestreiften Muskeln bei Insekten. LV, 144.
- Engel, C. S. Blutkörperchen des Schweins in der ersten Hälfte des embryonalen Lebens. LIV, 24.
- Weiterer Beitrag zur Entwicklung der Blutkörperchen beim menschlichen Embryo. LIII, 322.
- Eschweiler, Dr. Zur vergleichenden Anatomie der Muskeln und der Topographie des Mittelohres verschiedener Säugetiere LIII, 558.

- Faussek, Prof. Victor. Beiträge zur Histologie der Kiemen bei Fischen und Amphibien. LX, 157.
- Figueiredo-Rodrigues, Dr. J. Das Rückenmark des Orang-Utan. LIX, 417.
- Fischer, Dr. Eugen. Beiträge zur Kenntnis der Nasenhöhle und des Thränenanganges der Amphibiden. LV, 441.
- Flemming, Prof. W. Ueber das Fehlen einer Querschichtung in den Kernen der menschlichen Stäbchensehnenzellen. LI, 704.
- Foà, Carlo. Ueber die feinere Struktur d. geschichteten Pflaster-epithelien. LV, 431.
- Friedmann, Franz. Rudimentäre Eier im Hoden von *Rana viridis*. LII, 248.
- Beiträge zur Kenntnis der Anatomie u. Physiologie d. männlichen Geschlechtsorgane. LII, 856.
- Ueber die Pigmentbildung in d. Schmetterlingsflügeln. LIV, 88.
- Frankl, Dr. O. Bemerkungen zu M. Nussbaum's Notiz über meinen Aufsatz „Die Ausführwege der Harnsamenniere des Frosches“. LI, 857.
- Fuchs-Wolfring, Frau S. Ueber den feineren Bau der Drüsen des Kehlkopfes und der Luftröhre. LII, 735.
- Nachträgliche Bemerkungen zu meiner Abhandlung: „Ueber den feineren Bau der Drüsen des Kehlkopfes“. LIV, 84.
- Fürst, Dr. Ed. Ueber Centrosomen bei *Ascaris megalcephala*. LII, 97.
- Gerhardt, Dr. U. Zur Entwicklung der bleibenden Nieren. LVII, 822.
- Godlewski, Em. jun. Die Entwicklung des Skelett- und Herzmuskelgewebes der Säugetiere. LX, 111.
- Grabower, Dr. Ueber Nervenendigungen im menschlichen Muskel. LX, 1.
- Glosser, Dr. Otto. Ueber arteriovenöse Anastomosen a. d. Extremitätenenden beim Menschen und den krallentragenden Säugetieren. LX, 191.
- Grünstein, Dr. N. Zur Innervation der Harnblase. LV, 1.
- Gurwitsch, Dr. A. Studien der Flimmerzellen. Teil I. Histogenese d. Flimmerzellen. LVII, 184.
- Idiozom und Centalkörper im Ovarialei der Säugetiere. LVI, 377.
- Beitrag zur Centalkörperfrage in d. Epithelien. LIX, 32.
- Hammar, Dr. J. Aug. Ist die Verbindung zwischen den Blastomeren wirklich protoplasmatisch und primär? LV, 313.
- Studium über die Entwicklung des Vorderdarms und einiger angrenzender Organe. LIX, 471.
- Hansemann, Prof. Dr. Ueber Victor von Ebners Zweifel an der Existenz normaler Poren in den Lungenalveolen. LV, 337.
- Hari, Dr. P. Ueber das normale Oberflächen-Epithel des Magens und über Vorkommen von Randsaumepithelien und Becherzellen in d. menschlichen Magenschleimhaut. LVIII, 685.
- Modifizierte Hoyer'sche Schleimfärbung mittelst Thioxin. LVIII, 678.
- Harrison, Dr. phil. R. Ueber die Histogenese des peripheren Nervensystems bei *Salmo salar*. LVII, 354.

- Heiberg, Paul. Kann das Kriterium des exponentiellen Fehlergesetzes bei der Bestimmung des Durchschnittsdiameters der roten Blutkörperchen angewandt werden? LV, 291.
- Heidenhain, M. Ueber die Struktur der Epithelzellen des Darms. LIV, 184.
- Ueber eine eigentümliche Art protoplasmatischer Knospung an Epithelzellen und ihre Beziehung zum Microcentrum; LIV, 50.
- Heinz, Dr. R. Ueber Phagocytose der Lebergefäß-Endothelien. LVIII, 576.
- Eine einfache Methode zur Darstellung der Gallencapillaren. LVIII, 567.
- Helly, Dr. K. Beitrag zur Anatomie des Pankreas und seiner Ausführungsgänge. LII, 773.
- Die Schliessmuskulatur an den Mündungen der Gallengänge und der Pankreasgänge. LIV, 614.
- Zur Entwicklungsgeschichte der Pankreasanlagen und Duodenalpapillen des Menschen. LVI, 291.
- Entwicklung des Pankreas d. Säugetiere. LVII, 271.
- Zum Nachweis des geschlossenen Gefäßsystems d. Milz. LIX, 93.
- Bemerkungen zum Aufsätze Volkens: Beiträge zur Entwicklung des Pankreas bei den Amnioten. LX, 174.
- Herfort, Dr. K. Die Reifung und Befruchtung des Eies von *Petromyzon fluviatilis*. LVII, 54.
- Hertwig, Dr. Oscar. Ueber den Einfluss der Temperatur auf die Entwicklung von *Rana fusca* und *Rana esculenta*. LI, 319.
- Beiträge zur experimentellen Morphologie und Entwicklungsgeschichte. IV, LIII, 415.
- Herzog, Dr. H. Ueber die Entwicklung der Binnenmuskulatur des Auges. LX, 517.
- Herxheimer, Dr. Karl. Ueber die Struktur des Protoplasmas der menschlichen Epidermiszelle. LIII, 510.
- Nachtrag und Berichtigung zu meiner Arbeit: „Ueber die Struktur des Protoplasmas der menschl. Epidermiszelle. LIV, 289.
- v. Hinsberg, Dr. Die Entwicklung d. Nasenhöhle bei Amphibien. LX, 369.
- Entwicklung der Nasenhöhle bei Amphibien. Teil I und II. Anuren und Urodelen. LVIII, 411.
- Holmgren, Prof. E. Weiteres über das Trophospongium der Nervenzellen und der Drüsenzellen des Salamanderpancreas. LX, 669.
- Holzappel, K. Gestell für Objektträger bei Reihenschnitten. LIX, 457.
- Hoyer, H. Ueber das Verhalten der Kerne bei der Konjugation des Infusors *Colpidium colpoda* St. LIV, 95.
- Jacobson, J. Herm. Beiträge zur Kenntnis der fötalen Entwicklung der Steissdrüse. LIII, 78.
- Janosik, J. Bemerkungen zu der Arbeit: Dr. W. Tonkoff, „Die Entwicklung der Milz bei den Amnioten“, LVII, 487.
- Joseph, Hein. Einige Bemerkungen zu F. Maurers Abhandlung: Blutgefäße im Epithel. LII, 167.
- Justesen, Dr. P. Zur Entwicklung und Verzweigung des Bron-

- chialbaumes der Säugetierlunge. LVI, 606.
- Kahn, Dr. R. H. Ueber die in den Sehnen der schiefen Bauchmuskeln bei Fröschen vorkommenden „Inscriptiones elasticae“. LVII, 102.
- Kiski, Dr. Ichita. Ueber den peripheren Verlauf und die Endigung des Nervus cochlearis. LIX, 144.
- Kodis, Dr. T. Eine neue Methode zur Färbung des Centralnervensystems nebst Bemerkungen über die Struktur der Grosshirn- und Kleinhirn-Rinde. LIX, 211.
- Kohlbruzye, Dr. J. Die Entwicklung des Eies vom Primordialstadium bis zur Befruchtung. LVIII, 376.
- Kohn, Dr. Alfred. Die Nebenniere der Selachier nebst Beiträgen zur Kenntnis der Morphologie der Wirbeltiernebnenniere im Allgemeinen. LIII, 281.
- Ueber den Bau und die Entwicklung der sogen. Carotisdrüse. LVI, 81.
- Kolmer, W. Beitrag zur Kenntnis der motorischen Hirnrindenregion. LVII, 151.
- Kolossow, Dr. A. Eine Untersuchungsmethode des Epithelgewebes, besonders der Drüsenepithelien und die erhaltenen Resultate. LII, 1.
- Kolster, Dr. med. R. Ueber einen eigenartigen Prozess in den Samenblasen von *Cervus alces*. LX, 100.
- Kopsch, Fr. Die Entwicklung der äusseren Form des Forellembryo. LI, 181.
- v. Korff, Dr. K. Zur Histogenese der Spermien von *Helix pomatia*. LIV, 291.
- Zur Kenntnis der Zellteilung bei Myriopoden. LVII, 481.
- Zur Histogenese der Spermien von *Phalangista vulpina*. LX, 232.
- Kostanecki, K. Die Befruchtung des Eies von *Myzostoma glabrum*. LI, 461.
- Kotzenberg, W. Zur Entwicklung der Ringmuskelschicht an den Bronchien der Säugetiere. LX, 460.
- Krause, Dr. med. Karl. Experimentelle Untersuchungen über die Sehbahnen des Goldkarpfens (*Cyprinus auratus*). LI, 820.
- Untersuchungen über das Centralnervensystem d. Kaninchens. LVII, 488.
- Beiträge zur Hystologie der Speicheldrüsen. LIX, 407.
- Krembzwow, E. Ueber den Bau und die Entwicklung der Rückenanhänge der Aeolidier. LIX, 181.
- Ksjurin, P. Ueber das elastische Gewebe des Haarbalgs der Sinushaare nebst Bemerkungen über die Blutgefässe der Haarpapille. LVII, 128.
- Ueber die Frage der Nervenendigungen in den Tasthaaren und Sinushaaren. LIV, 403.
- Kühn, Dr. A. Zur Kenntnis des Nervenverlaufes in der Rückenhaut von *Rana fusca*. LV, 231.
- Weiterer Beitrag zur Kenntnis des Nervenverlaufes in der Rückenhaut von *Rana fusca*. LVII, 445.
- v. Kupffer, C. Ueber die sog. Sternzellen der Leber der Säugetiere. LIV, 254.
- v. Lenhossék, M. Untersuchungen über Spermatogenese. LI, 215.
- Leydig, F. Vascularisiertes Epithel. LII, 152.

- Zur Deutung der epidermoidalen Organe im Integumentum von Säugetieren. LII, 156.
- Levi, Dr. Giuseppe. Ueber die spontane und unter dem Einflusse einer Entzündung erregenden Agens im Amphibieneie stattfindenden Veränderungen. LV, 111.
- Beitrag zum Studium der Entwicklung des knorpeligen Primordialcraniums des Menschen. LV, 341.
- Lindemann, W. Ueber die Sekretionserscheinungen der Giftdrüse der Kreuzotter. LIII, 313.
- v. Linstow, Dr. Helminthologische Beobachtungen. Zur Entwicklungsgeschichte von *Gordius aquaticus* Gmel. LI, 747.
- Helminthologische Beobachtungen. LVI, 362.
- Das Genus *Mermis*. LIII, 149.
- Beobachtungen an Helminthen des Senckenbergischen naturhistorischen Museums, des Breslauer zoologischen Instituts und anderer. LVIII, 182.
- Beobachtungen an neuen und bekannten Nematelminthen. LX, 217.
- Loewy, Dr. J. Ueber den Bau der Rete Malpighi der männlichen und weiblichen Geschlechtsorgane. LIII, 403.
- Loewenthal, Prof. N. Drüsenstudien. II. Die Glandula infraorbitalis und eine besondere der Parotis anliegende Drüse bei der weissen Ratte. LVI, 535.
- Lubosch, W. Vergleichende anatomische Untersuchungen über den Ursprung und die Phylogenese des Nervus accessorius Willisii. LIV, 514.
- Mankowski, Dr. A. Ueber die mikroskopischen Veränderungen des Pankreas nach Unterbindung einzelner Teile und über einige mikrochemische Besonderheiten der Langerhans'schen Inseln. LIX, 286.
- Masslow, Dr. med. Gregorius. Einige Bemerkungen zur Morphologie und Entwicklung der Blutelemente. LI, 137.
- Maximow, Dr. Alexander. Zur Kenntnis des feineren Baues der Kaninchenplacenta. LI, 68.
- Die ersten Entwicklungsstadien der Kaninchenplacenta. LVI, 699.
- Beiträge zur Histologie und Physiologie der Speicheldrüsen. LVIII, 1.
- Mengel, Em. Einige Bemerkungen zur Histologie des elektrischen Lappens bei *Torpedo marmorata*. LX, 181.
- Merk, Dr. L. Ueber den Bau der menschlichen Hornzelle. LVI, 525.
- Meves, Fr. Ueber Struktur und Histogenese der Samenfäden des Meerschweinchen. LIV, 329.
- Ueber den von la Valette St. George entdeckten Nebenkern der Samenzellen. LVI, 553.
- Zur Kenntnis der Zellteilung bei Myriopoden. LVII, 481.
- Meyer, Dr. Semi. Ueber centrale Neuritenendigungen. LIV, 296.
- Michaelis, Dr. med. L. Beiträge zur Kenntnis der Milchsekretion. LI, 711.
- Die vitale Färbung, eine Darstellungsmethode der Zellgranula. LV, 558.
- Mönckeberg, G. Die Degeneration der markhaltigen Nervenfasern der Wirbeltiere unter hauptsächlich. Berücksichtigung des Verhaltens der Pimitivfibrillen. LIV, 135.

- Moll, Dr. A. Zur Histochemie des Knorpels. LVIII, 483.
- Morawitz, P. Zur Kenntnis der Knorpelkapseln und Chondrinballen des hyalinen Knorpels. LX, 66.
- Moroff, Th. Ueber die Entwicklung der Kiemen der Knochenfische. LX, 428.
- Moser, Fanny. Beiträge zur vergleichend. Entwicklungsgeschichte der Wirbeltierlunge (Amphibien, Reptilien, Vögel, Säuger). LX, 587.
- Mosse, Dr. M. Ueber Silberimprägnation der Nervenzellen u. der Markscheiden. LIX, 401.
- Moszkowski, Dr. M. Zur Richtungskörperbildung von *Ascaris megalocephala*. LIX, 388.
- Ueber den Einfluss der Schwerkraft auf die Entstehung und Erhaltung der bilateralen Symmetrie des Froscheies. LX, 17.
- Zur Erage des Urmundschlusses bei *R. fusca*. LX, 407.
- Mühlmann, M. Ueber die Veränderungen der Hirngefäße in verschiedenem Alter. LIX, 258.
- Weitere Untersuchungen über die Veränderungen der Nervenzellen in verschiedenem Alter. LVIII, 231.
- Müller, Erick. Studien über Neurologie. LV, 11.
- Müller, Johannes zum Gedächtnis. LV, I—X.
- Nassonow, Prof. N. Zur Kenntnis der phagocytaeren Organe bei den parasitischen Nematoden. LV, 488.
- Noll, Dr. Alfr. Beitrag zur Granula-Lehre. LVIII, 487.
- Niessing, Georg. Zellstudien. II. LV, 63.
- Nussbaum, M. Notiz zu dem Aufsätze O. Frankl's: Die Ausfuhrwege der Harnsamenniere des Frosches. LI, 213.
- Nerv und Muskel der Oberschenkel einiger anuren Batrachier. LII, 367.
- Zur Parthenogenese bei den Schmetterlingen. LIII, 444.
- Die Pars ciliaris des Vogel- Auges. LVII, 346.
- Zur Rückbildung embryonaler Anlagen. LVII, 676.
- Die Entwicklung der Binnenmuskel des Auges der Wirbeltiere. LVIII, 199.
- Ueber Kern- und Zellteilung. LIX, 647.
- Osa wa, Dr. Gakutaro. Beiträge zur Anatomie der *Hatteria punctata*. LI, 481.
- Nachtrag zur Lehre von den Eingeweiden d. *Hatteria punctata*. LI, 764.
- Beiträge zur Lehre von den Sinnesorganen der *Hatteria punctata*. LII, 268.
- Ottendorf, Dr. G. Die Plexusbildung der Nerven in der Mittellinie der Rückenhaut einheimischer Frösche. LIII, 131.
- Ottolenzki, Dr. D. Beitrag zur Histologie der funktionierenden Milchdrüse. LVIII, 581.
- Pedoschenko, D. Zur Entwicklung des Mittelhirn der Knochenfische. LIX, 295.
- Peter, Dr. Karl. Die Bedeutung der Nährzelle im Hoden. LIII, 180.
- Mitteilungen zur Entwicklungsgeschichte der Eidechse. LV, 585.
- Mitteilungen zur Entwicklungsgeschichte der Eidechse. II. Die Schlundspalten in ihrer An-

- lage, Ausbildung und Bedeutung. LVII, 705.
- — Mitteilungen zur Entwicklungsgeschichte d. Eidechse III. Neuroporusverdickung u. die Hypothese von d. primären Monorhinie d. amphirhinen Wirbeltiere. LVIII, 640.
- — Anlage und Homologie der Muscheln des Menschen und der Säugetiere. LX, 339.
- Pfister, Dr. A. Veränderungen des Froscheies und Eierstockes unter dem Einfluss eines Entzündung erregenden Agens. LII, 842.
- Philippson, Dr. M. Untersuchungen über das Centralnervensystem des Kaninchens. LVII, 488.
- Pimowarow, Dr. W. Die Morphologie des Bluts des Kaninchens im Fötalzustande und in den ersten Lebenstagen. LVII, 335.
- Plate, Prof. L. Ueber regenerative Amitose, Degenerationerscheinungen und Phagocytose in den Athemröhren der Janellen. LI, 839.
- Plato, Dr. J. Ueber die „vitale“ Färbung der Phagocyten des Menschen und einiger Säugetiere mit Neutralrot, LVI, 868.
- Plechnik, Dr. J. Zur Histologie der Nebenniere des Menschen. LX, 414.
- Poljakoff, Dr. P. Biologie der Zelle. I. Die Zellvermehrung durch Teilung. LVI, 651.
- — Biologie der Zelle. II. Die Reifung und Befruchtung des Eies. LVII, 9.
- Poll, Dr. H. Veränderungen der Nebenniere bei Transplantation. LIV, 440.
- Rabl, Dr. H. Mehrkernige Eizellen und mehreißige Follikel, LIV, 421.
- Rawitz, B. Ueber den Bau der Cetaceenhaut. LIV, 68.
- — Ueber die Blutkörperchen einiger Fische. LIV, 481.
- — Ueber die Blutkörperchen einiger Fische. II. Ganoiden und Teleostier. LVI, 149.
- — Untersuchungen über Zellteilung. LIII, 19.
- Reinhard, Prof. W. Die Bedeutung des Periblastes und der Kupffer'schen Blase in der Entwicklung der Knochenfische. LII, 793.
- Reis, Dr. O. M. Neues über petrificirte Muskulatur etc. LII, 262.
- Rex, H. Entwicklung der Augenmuskeln der Ente. LVII, 229.
- Richter, Johannes. Vergleichende Untersuchungen über den mikroskopischen Bau der Lymphdrüsen von Pferd, Rind, Schwein und Hund. LX, 469.
- Ris, Dr. F. Ueber den Bau des Lopus opticus der Vögel. LIII, 106.
- Richter, C. Die Linse des Maulwurfs, LIII, 397.
- — Ueber die Falten des Ringwulstes d. Vogellinse. LVIII, 558.
- Rohnstein, cand. med. R. Zur Frage nach dem Vorhandensein von Nerven in den Blutgefäßen der grossen Nervencentren. LV, 576.
- Röthig, Dr. P. Ueber einen neuen Farbstoff, namens Kresofuchsin. LVI, 354.
- — Zur Entwicklung des Labyrinths beim Huhn. LIX, 354.
- Ružička, Vladislav. Untersuchungen über die feinere Struktur der Nervenzellen und ihrer Fortsätze. LIII, 485.
- Saalfeld, Dr. Edm. Ueber die Tyson'schen Drüsen. LIII, 212.

- Salzer, Dr. Hans. Zur Entwicklung der Hypophyse bei Säugern. LI, 55.
- Sauer, Hugo. Untersuchungen über die Ausscheidung der Harnsäure durch die Nieren. LIII, 218.
- Schauinsland, Dr. H. Weitere Beiträge zur Entwicklungsgeschichte der Hatteria. LVI, 747.
- Scheier, Dr. M. Ueber die Ossification des Kehlkopfs. LIX, 220.
- Schreiber, Lud. Beiträge zur Kenntnis der Entwicklung und des Baues der Glandulae parathyreoideae (Epithelkörperchen) d. Menschen. LII, 707.
- Sihler, Chr. Die Muskelspindeln, Kerne und Lage der motorischen Nervenendigungen. LVI, 334.
- Schultze, Oskar. Ueber die Notwendigkeit der freien Entwicklung des Embryo. LV, 202.
- — Ueber das erste Auftreten der bilateralen Symmetrie im Verlauf der Entwicklung. LV, 171.
- — Zur Frage von der Bedeutung der Schwerkraft für die Entwicklung d. tierischen Embryo. LVI, 309.
- Schultze, Walt. Die Bedeutung der Langerhans'schen Inseln im Pankreas. LVI, 491.
- v. Schuhmacher, Dr. S. Ueber Phagocytose und die Abfuhrwege der Leukocyten in den Lymphdrüsen. LIV, 311.
- — Das elastische Gewebe der Milz. LV, 151.
- Schwartz, Dr. S. Ueber die Lage der Ganglienzellen im Herzen der Säugetiere. (Erster Teil einer anatomisch-pathologischen Untersuchung der sogenannten automatischen Herzcentren. LIII, 63.
- Smidt, Dr. H. Ueber die Darstellung der Begleit- und Gliazellen im Nervensystem von Helix mit der Golgimethode. LV, 300.
- — Ganglienzellen in der Muskulatur des Schlundes von Pulmonaten. LVII, 622.
- Smirnow, Prof. Dr. A. E. Einige Bemerkungen über myelinhaltige Nervenfasern in der Molekularschicht des Kleinhirns beim erwachsenen Hunde. LII, 195.
- — Einige Beobachtungen über den Bau der Spinalganglienzellen bei einem viermonatlichen menschlichen Embryo. LIX, 459.
- Sobotta, S. Noch einmal zur Frage der Bildung des corpus luteum. LIII, 546.
- Solger, Bernh. Zur Kenntnis der Chromatophosen der Cephalopoden und ihrer Adnexa. LIII, 1.
- Sticker, Dr. A. Zur Histologie der Milchdrüse. LIV, 1.
- Stilling, Prof. Dr. Zur Anatomie der Nebennieren. LII, 176.
- Stoekel, Dr. W. Ueber Teilungsvorgänge in Primordial-Eiern bei einer Erwachsenen. LIII, 357.
- Stöhr, Ph. Ueber die Entwicklung der Darmlymphknötchen und über die Rückbildung von Darmdrüsen. LI, 1.
- Streiff, Dr. J. Stabilitblock mit Alcoholkammer und perforierte Farbschälchen zur einfachen Herstellung von Celloidinserien. LVI, 740.
- Studnicka, F. K. Weitere Bemerkungen über das Knorpelgewebe der Cyclostomen und seine Histogenese. LI, 452.
- Tandler, Dr. J. Zur Histologie des äusseren Genitales. LIV, 602.
- Tellyesniczky, Dr. K. Ueber die Fixierungs- (Härtungs-) Flüssigkeiten. LII, 202.
- — Zur Kritik der Kernstrukturen. LX, 681.

- Terterjanz, Dr. M. Die obere Trigeminiwurzel. LIII, 732.
- Thom, Dr. W. Untersuchungen über die normale und pathologische Hypophysis cerebri des Menschen. LVII, 632.
- Thomé, Dr. R. Endothelien als Phagocyten (aus den Lymphdrüsen von *Macacus cynomolgus*). LII, 820.
- Timofejew, Dr. A. Ueber die Nervenendigungen im Bauchfell und in dem Diaphragma der Säugtiere. LIX, 629.
- Tonkoff, Dr. W. Die Entwicklung der Milz bei den Amnioten. LVI, 392.
- — Ueber die elastischen Fasern in der Froschhaut. LVII, 95.
- Tschistowitsch, Prof. Dr. N. Die Morphologie des Blutes des Kaninchens im Fötalzustande und in den ersten Lebenstagen. LVII, 335.
- Völcker, Dr. (Prop.) Beiträge zur Entwicklung des Pankreas bei den Amnioten. LIX, 62.
- Waldeyer, W. Kittsubstanz und Grundsubstanz, Epithel und Endothel. LVII, 1.
- Weidenreich, Dr. Fr. Ueber Bau und Verhornung der menschlichen Oberhaut. LVI, 169.
- — Weitere Mitteilungen über den Bau der Hornschichte der menschlichen Epidermis und ihren sogen. Fettgehalt. LVII, 583.
- — Das Gefässsystem der Milz des Menschen. LVIII, 247.
- Weiss, Dr. O. Ueber die Hautdrüsen von *Bufo cinereus*. LIII, 385.
- Wendelstadt, Dr. H. Ueber Knochenregeneration. LVII, 798.
- Wetzel, Georg. Transplantationsversuche mit *Hydra*. LII, 70.
- Zimmermann, K. W. Beiträge zur Kenntnis einiger Drüsen und Epithelien. LII, 552.
- — Ueber Kophöhlenrudimente beim Menschen. LIII, 481.
- Zondek, Dr. M. Ueber die Endverzweigungen der Arterien der menschlichen Nieren. LVII, 117.

## Sach-Register.

### A

- Abfuhrwege der Leucocyten in den Lymphdrüsen LIV, 311.  
 Abkühlung der Eier unter 0° LI, 320.  
 Abschnürung des Polplasma von der Eiperipherie LVII, 75.  
 Abtrennung der Paukenhöhle als tubo-tympanales Rohr LIX, 496.  
 Acanthias I.V, 39; LVIII, 651: LX, 386.  
 Acanthocephalen LIII, 195; LX, 228.  
 Acanthopleura echinata LX, 173.  
 Acanthopleurakieme LX, 173.  
 Acanthodes LII, 264.  
 Accessorius, Fasern derselben LIX, 423.  
 Accipenser ruthenus LVIII, 651.  
 Accomodationsmuskulatur, Entwicklung LX, 555.  
 Achromatische Substanz im Knorpel LX, 85.  
 Achsenhoden, Eimer'schen LI, 300.  
 Achsenlage der Kerne LIX, 677.  
 Achsenstrang, Oellacher'scher LII, 810.  
 Acrotaxis LIX, 107.  
 Acrotopismus LIX, 107.  
 Adelea ovata LIV, 130.  
 Adelphotaxis LIX, 112.  
 Aeolidier, Bau der Rückenanhänge LIX, 181.  
 Aeolidiella glauca LIX, 186.  
 Aeolis coronata LIX, 203.  
 — despecta LIX, 198.  
 — emgulata LIX, 198.  
 — exigua, Alder et Hancock LIX, 181.  
 — Farrani LIX, 198.  
 — papillosa LIX, 201.  
 Aelobates LVI, 779.  
 Affe LVII, 176.  
 Agamonema Bembidii LX, 223.  
 Agens, Entzündungerregendes, Veränderung des Froscheies durch dass. LII, 842.  
 Ahnenblutkörperchen LIV, 35.  
 Ahnenplasma, Richtungkörperbildung, LIX, 393.  
 Akranier LVI, 3.

- Akrosoma LI, 243, 282.  
 Alkoholkammer LVII, 480.  
 Alisphenoid LVI, 802.  
 — der Hatteria punctata LI, 497.  
 Alligator LI, 786.  
 — LII, 275; LI, 489.  
 Allocytotaxis LIX, 113.  
 Allolobophora foetiola  
 LVII, 85.  
 Allotaxis LIX, 113.  
 Altersveränderung im Knorpel  
 LX, 74.  
 Alter, verschiedenes, Veränderungen  
 der Nervenzellen in demselben  
 LVIII, 231.  
 Altmann'sche Granula LVIII, 45.  
 — Körnchen LVIII, 538.  
 Alveolarfortsatz LIV, 231.  
 Alveolarsaum Bütschli's  
 LVII, 194.  
 Alveololingualrinne LIX, 504.  
 Amblystoma LVIII, 467.  
 Amboss LIX, 568.  
 Ambossband, oberes LIX, 559.  
 Ambossbandfalte LIX, 559,  
 569.  
 Ambosschenkelfalte LIX,  
 548, 568, 580.  
 Amitose, bei Janellen LI, 839.  
 Amocoetes, Kopfknochen  
 LX, 67.  
 Amnioten LIII, 190.  
 — LIV, 586.  
 —, Beiträge zur Entwicklung  
 des Pankreas derselben LIX, 62;  
 LX, 174.  
 —, Entwicklung d. Milz LVII, 487.  
 Amphibien LIII, 187.  
 — LIV, 363, 539; LVI, 3.  
 Amphibienei LVII, 85.  
 —, über spontane Veränderungen  
 in dens. VL, 111.  
 —, Entwicklung der Nasenhöhle  
 LX, 369; LVIII, 411.  
 —, embryonale Lunge LX, 629.  
 Amphibienlunge, ausgewachs.  
 LX, 628.
- Amphidetus cordatus, Eier  
 dess. LV, 329.  
 Amphioxus LV, 18.  
 — LIII, 187.  
 — LX, 265.  
 —, Neuroglia LVIII, 656; LV, 18.  
 Amphirhinen LVIII, 640.  
 —, unpaare Riechplakode  
 LVIII, 641.  
 Amphisbaena fuliginosa  
 LVI, 842.  
 Ampullen der Milz LVIII, 346.  
 Amygdale côlique LI, 9.  
 Anas domestica LVI, 409.  
 — LVII, 667.  
 Anastomosen arterio-venöse an  
 den Extremitätenenden beim  
 Menschen und den krallentragen-  
 den Säugetieren LX, 191.  
 Anatomie des accessorischen  
 Trigeminus-Kernes LIX, 270.  
 — des braunen Fettgewebes  
 LX, 310.  
 — des Genus Mermis LIII, 163.  
 — der männlichen Geschlechts-  
 organe LII, 856.  
 — des Pankreas LII, 773.  
 — der Pankreasausführungsgänge  
 LII, 773.  
 Ancyracanthus denutatus  
 Dies LX, 222.  
 Aneitella berghi LI, 840.  
 Anemotaxis LIX, 107.  
 Anemotropismus LIX, 107.  
 Anguis fragilis LII, 271.  
 — fragilis LVII, 88.  
 —, ausgewachsene Lunge  
 LX, 606.  
 —, embryonale Lunge LX, 606.  
 Angulare d. Hatteria punctata  
 LI, 523.  
 Anhänge, Dujardin'sche LIV, 339.  
 Anisotropie LVII, 201.  
 — des Stratum corneum LVII,  
 596.  
 Anlagen embryonale, zur Rück-  
 bildung ders. LVII, 676.

- Anlage, erste, der Geruchsplatte LVIII, 412.  
 —, der Vogelfeder LVII, 696.  
 — der einzelnen Kiemenpalten LVII, 727.  
 — der fünften Schlundtasche LVII, 718.  
 — der Muscheln des Menschen und der Säugetiere LX, 339.  
 — der Schlundpalten LVII, 705.  
 — der Schlundtaschen, Beteiligung der Gewebe daran LVII, 752.  
 — erste des Sphincter pupillae LX, 532.  
 — der Thyreoiden LVII, 716.  
 — Froriep'sche LIV, 555.  
 Anlagestelle des Urmundes LV, 182.  
 Anlegung der primären Paukenhöhle LIX, 496.  
 Anneau periveineux LVII, 289.  
 Annulus tympanicus LIV, 518.  
 Anopheles LIX, 329.  
 Anordnung der Drüsenzellen im Drüsenschlauch LVIII, 98.  
 Antennarius secundus LI, 395.  
 Antennenpaar des Taschenkrebsses LVII 155.  
 Antitragus LIX, 615.  
 Anuren LVII, 113.  
 — LVII, 749.  
 —, Entwicklung der Nasenhöhle LVIII, 411.  
 —, Nerv und Muskel im Oberschenkel desselben LII, 367.  
 Anzahl der Aortenbögen LVII, 735.  
 Aortenbögen LVII, 733.  
 —, Auftreten LVII, 735.  
 Apáthy's Elementargitter LVII, 155.  
 Apis mellifera LIII, 167.  
 Apparat, Abbe'scher LIV, 264.  
 —, schalleitender der Hatteria LVI, 826.  
 Apposition, beim Muskelwachstum LX, 126.  
 Aprocta orbitalis LVIII, 188.  
 Aquaeductus vestibuli der Hatteria punctata LI, 5110.  
 Arachnideen LIII, 195.  
 Archiplasma LII, 650, LI, 234.  
 — LIII, 22.  
 Archiplasmaballen LIII, 48.  
 Architectur der Zellen LII, 135, 535, 762.  
 Archoplasma LI, 468.  
 — LIII, 22.  
 Arctomys marmota LIV 321.  
 — marmottae LX, 297, 317.  
 Area centralis LII, 283.  
 Arteria papillaris LVII, 145.  
 Arterien, elast. Gewebe ders. in der Milz LV, 159.  
 Arterienhüllen, elast. Gewebe ders. in der Milz LV, 159.  
 Arterien der Hatteria LVI, 840.  
 — der menschlichen Niere, Endverzweigungen LVII, 117.  
 Articulare der Hatteria punct. LI, 523.  
 Artiodactyla LVIII, 143.  
 — LVIII, 173  
 Arvicola LIV, 321.  
 — agrestis LX, 313, 323.  
 Ascarideen LIII, 195.  
 Ascaris Ammocoetis LI, 760.  
 — brevicanda LVI, 371.  
 — decipiens Kabbe LV, 495.  
 — ferox Ehrb. LV, 494.  
 — Kükenthalii Lob. LVI, 372.  
 — leonina LX, 217.  
 — megaloccephala, Richtungskörperbildung LIX, 388.  
 —, Myxiuls LI, 760.  
 — osculata LVI, 372.  
 —, Rud. LV, 489.  
 — viperne LX, 217.  
 Ascidia mentula LVIII, 623.  
 Ascidiella cristata Exkretionsorgane LVIII, 622.  
 Ascidinae, LVIII, 615.  
 Asellus LIII, 197.  
 Aspida costata LIV, 111.

- Astacus fluviatilis* LII, 880.  
*Aspius rapax* LI, 751.  
*Astralagus* LVI, 797.  
*Astrocyten* LVI, 510.  
*Astrosphaere* LII, 669;  
 LI, 241.  
 — LIII, 31.  
*Ateles paniscus* LVIII, 156.  
 Atemzellen LI, 846.  
 Atmungsorgane der *Hatteria*  
 LII, 34.  
*Atractis spec.* LVIII, 190.  
*Attractionssphaere* LII, 658,  
 LI, 243.  
 — LIII, 20.  
*Attractionssphären* LVII, 485.  
 Atypische Entwicklung des  
 Froscheies LX, 26.  
 Auerbachs Nervengeflecht LIX,  
 469.  
 Auerbach'sche Nervenknoten  
 LIX, 460.  
 Aufbäumereflex bei *Carcinus*  
*Maenas* LI, 433.  
 Augenbewegung bei passiver  
 Rotation um die Vertikalaxe bei  
*Carcinus Maenas* LI, 441.  
 Augenblase, secundäre LX, 532.  
 Augen, Compensationsbewegungen  
 derselben bei *Carcinus Maenas*  
 LI, 437.  
 Auge, Entwicklung der Binnen-  
 muskulatur LX, 517.  
 Augenhöhle der *Hatteria punctata*  
 LI, 508.  
 Augenmuskeln der Ente, Ent-  
 wicklung LVII, 229.  
 — der *Hatteria punctata* LI,  
 535  
 Ausbildung der Blutgefäße bei  
 den Knochenfischen LX, 430.  
 — der Schlundspalten LVII, 705.  
 — der Schlundtaschen, Be-  
 teiligung der Gewebe daran  
 LVII, 732.  
 Ausbuchtung, mediale, d. Nasen-  
 muschel LX, 342.
- Ausführungsgänge des Pan-  
 kreas, Anatomie ders. LII, 773.  
 — d. *Retrolingualis* LVIII, 62, 91.  
 — — — LVIII, 109.  
 — — — LVIII, 115.  
 — der *Submaxillaris* LVIII, 32.  
 — — — LVIII, 75.  
 —, Speicheldrüsenveränderungen  
 nach deren Unterbindg. LVIII, 118.  
 Aushülfeblutkörperchen  
 LIII, 331.  
 Ausscheidung des indig-schwefel-  
 sauren Natrons durch die *Glan-  
 dula submaxillaris* LIX, 407.  
 Ausstülpung des Sinnesepithels  
 LVIII, 471.  
 —, kreuzförmige, der Darmwand  
 LVII, 281.  
 Austritt der Wurzelfasern LVII,  
 498, 503, 508.  
 Aussenfaden LII, 607, 693.  
 Axenfaden LVI, 574.  
 — der Spermatide LVII, 186.  
 Axenskelett, menschl., Entwicklg.  
 dess. LV, 247.  
 Axenzylinderkomponenten  
 LIV, 166.  
 Axialverzweigungen der End-  
 platte im Muskel LX, 10.  
 Axillarberz LIII, 283.  
 — LVI, 83.  
 Axolotl LVI, 541.  
 —, Kiemenlamellen LX, 163.  
 —, Operationen an dems. LVII, 814.

## B

- Baillargerscher Streifen LVII,  
 171.  
*Baläna Antipodum* LVI, 783.  
 — *mysticetus* LVI, 783.  
 — — — LII, 156.  
 — *musculus* LVI, 782.  
 — *Sibbaldii* LII, 164.  
*Balänoptera musculus* LIV, 69.  
 — *rostrata* LVI, 783.

Balkennetz LV, 539.  
 — im Knorpel LX, 72.  
 Barotaxis LIX, 107.  
 Barotropismus LIX, 107.  
 Barsch, Lamellen der Kiemenblätter LX, 157.  
 —, Intercellulare Räume im Epithel der Kiemenblätter LX, 169.  
 Basalfilamente LIV, 218.  
 Basalkörper im Epithel des Vas epididymis des Menschen LIX, 32.  
 —, Funktion LVII, 219.  
 Basalzellen LIII, 197.  
 Basilarknorpel LV, 269.  
 Basioccipitale LVI, 813.  
 — der *Hatteria punctata* LI, 493.  
 Basisphenoid LVI, 802, 813.  
 — der *Hatteria punctata* LI, 496.  
 Batrachier, Nerv und Muskel im Oberschenkel derselben LII, 367.  
 Bau, Ueber den — der Cetaceenhaut LIV, 68.  
 — der Glandulae parathyreoideae des Menschen LII, 707.  
 — der menschlichen Hornzelle LVI, 525.  
 — und Entwicklung der sogen. Carotisdrüse LVI, 81.  
 — und Verhornung der menschlichen Oberhaut LVI, 169.  
 —, zur Kenntniss des feineren Baues der Kaninchenplacenta LI, 68, Material und Methoden der Untersuchung 71, die ersten Stadien der Entwicklung der Placenta 73, die Placenta auf der Höhe ihrer Ausbildung 89, die Placenta am Ende der Schwangerschaft 109, die Periplacenta 112, die Oblacenta 117.  
 — der Drüsen des Kehlkopfs, Nachträgliche Bemerkungen zu meiner Abhandlung: „Ueber den Bau der feineren — — — etc.“ (Frau Sophie Fuchs-Wolfring) LIV, 84.

Bau, mikroskopischer, Vergleichende Untersuchungen über den — der Lymphdrüsen bei Pferd, Rind, Schwein und Hund LX, 469.  
 —, über den — und die Entwicklung der Rückenanhänge der Aeolidier LIX, 181.  
 —, Einige Beobachtungen über den — der Spinalganglienzellen bei einem viermonatlichen menschlichen Embryo LIX, 459.  
 — der Excretionsorgane der Tunicaten LVIII, 608.  
 — der samenableitenden Wege LIII, 186.  
 — der Hornschicht der menschlichen Epidermi LVII, 583.  
 — der Papillen LVII, 680.  
 — der quergestreiften Muskeln der Insekten LV, 144.  
 — der versprengten Nebennieren LVI, 51.  
 — des Lobus opticus der Vögel LIII, 106.  
 —, feinerer, des Labyrinthpigmentes LVIII, 158.  
 —, —, des perilymphatischen Gewebes LVIII, 138.  
 —, histologischer, der Glandulae parathyreoideae LII, 716.  
 —, mikroskopischer, der Lymphdrüsen bei Pferd, Rind, Schwein und Hund, vergleichende Untersuchungen LX, 469.  
 Bauchfell der Säugetiere, Nervenendigungen LIX, 629.  
 —, Nervenendigungen LIX, 1.  
 Bauchhaut, weisse LIV, 71.  
 Bauchmuskeln der *Hatteria punctata* LI, 543.  
 —, schiefe, der Frösche, Inscriptiones-elasticae der Sehnen derselben LVII, 102.  
 Bauchrippen d. *Hatteria* LVI, 791.  
 Bauchwand, Endigungsweise der Nerven im Peritoneum ders. LIX, 630.

- Bdellostoma LVIII, 657.  
 Becherzellen LII, 651.  
 ——— LVIII, 697.  
 ——— in der menschlichen Magen-  
 schleimhaut LVIII, 685.  
 Becken, Entwicklungstabelle LV,  
 280.  
 Beckengürtel der Hatteria LVI,  
 792.  
 ——— der Hatterie punct. LI, 529.  
 ——— menschl. LV, 274.  
 Bedeutung der interstitiellen  
 Hodensubstanz LII, 866.  
 ——— der Langerhans'schen Inseln  
 im Pankreas LVI, 491.  
 ———, physiologische, der Schlund-  
 taschen der Eidechsen LVII, 749.  
 ——— der Schlundspalten LVII, 705.  
 ——— der Schwerkraft für die  
 Entwicklung des thierischen  
 Embryo, zur Frage über dieselbe  
 LVI, 309.  
 Befruchtung LI, 467.  
 ——— des Eies LVII, 9.  
 ——— des Eies von Petromyzon  
 Fluviatilis LVII, 54.  
 ——— Eientwicklung vom Primor-  
 dialstadium bis zu ders. LVIII,  
 376.  
 ———; künstliche LVII, 57.  
 ———, nasse LVII, 57.  
 Befruchtungerscheinungen  
 erste LVII, 68.  
 Befruchtungslehre von Boveri  
 LX, 49.  
 Befruchtungsphänomene in  
 vivo LVII, 59.  
 Befruchtung, Wesen derselben  
 LVII, 37.  
 Befund, Remak'scher LVI, 11.  
 Begleitzellen LV, 301.  
 ——— im Nervensystem der Helix,  
 Darstellung durch die Golgi-  
 Methode LV, 300.  
 Beitrag zur Anatomie der Pan-  
 kreasausführgänge LII, 773.  
 ——— ——— des Pancreas LII, 773.  
 Beitrag zur Histologie der funk-  
 tionirenden Milchdrüse LVIII, 581.  
 ——— ——— des Muskelmagens der  
 Vögel LVII, 653.  
 ——— zur Kenntnis des Baues der  
 quergestreiften Muskeln der In-  
 sekten LV, 144.  
 ——— ——— des Nervenverlaufs in  
 der Rückenhaul von Rana fusca  
 LVII, 445.  
 Beiträge zur Kenntnis einiger  
 Drüsen und Epithelien LII, 552.  
 ——— zur Lehre von den Sinnes-  
 organen der Hatteria punctata  
 LII, 268.  
 ——— zur Anatomie der Hatteria  
 punctata LI, 481.  
 ——— zur Kenntnis der Anatomie  
 und Physiologie der männlichen  
 Geschlechtsorgane LII, 856.  
 ——— zur Entwicklungsgeschichte  
 der Selachier LVI 459.  
 ———, weitere, zur Entwick-  
 lungsgeschichte d. Hatteria LVI, 747.  
 ——— zur Kenntnis der fötalen Ent-  
 wicklung der Steissdrüse LIII, 78.  
 ——— ——— d. Milchsecretion LI, 711.  
 Belegzellen LII, 618, 634.  
 Bemerkungen, einige, über  
 myelinhaltige Nervenfasern in der  
 Molekularschicht des Kleinhirns  
 beim erwachs. Hunde LII, 195.  
 ——— zur Morphologie und Ent-  
 wicklung d. Blutelemente LI, 137.  
 Beobachtungen, Einige — über  
 den Bau der Spinalganglienzellen  
 bei einem viermonatlichen mensch-  
 lichen Embryo LIX, 459.  
 ——— an Helminthen des Sencken-  
 bergischen naturhistorischen Mu-  
 seums, des Breslauer zoologischen  
 Instituts und anderer LVIII, 182,  
 Trichocephalus globulosus n. sp.  
 182, Trichocephalus dispar Rud.  
 und seine Seitenfelder 183, Heter-  
 akis maculosa Rud. 186, Aprocta  
 orbitalis n. sp. 188, Cheilospirura

- palpebrarum n. sp. 189, *Filaria coronata* Rud. 189, *Atractis spec.?* 190, van Benedeus Genus *Coronilla* und *Spiropterina scillicola* van Bened. 191, *Diplogaster clavus* n. sp. 194, *Chromadora salinarum* n. sp. 195, *Distomum maculosum* Rud. 195.
- Bertholinscher Gang LVIII, 10.  
 ——— LVIII, 118.
- Berücksichtigung des Verhaltens der Primitivfibrillen bei Degeneration der markhaltigen Nervenfasern der Wirbeltiere LIV, 135.
- Besonderheiten, mikrochemische, der Langerhans'schen Inseln LIX, 286.
- Beteiligung der Gewebe an der Anlage der Schlundtaschen LVII, 732.  
 ——— an der Ausbildung der Schlundtaschen LVII, 732.  
 ——— des Gehirns an der Bildung des Riechgrübchens LV, 608.  
 ——— des Mesoderms am Wachstum des Riechgrübchens LV, 603.
- Betz'sche Riesenpyramiden LVII, 159.  
 ——— Zellen LVII, 159.
- Bewegung, amöboide LI, 721.  
 ———, autonome LIX, 106.
- Bewegungserscheinungen, gesetzmässige, der Spermatischen, ihrer Centriolen, Idiozomen und Kerne LIX, 106.
- Beziehungen der Neurofibrillen der Wirbeltiere zu den Golginetzen LV 513.  
 ——— des Kerato-Hyalin zum Verhornungsprocess LVII, 784.
- Beziehung zwischen Medullarstrang, Ganglienstrang und Epidermis LVII, 386.
- Bilaterale Symmetrie des Froscheies LX, 17.
- Bildung d. Blutgefässe LVII, 734.
- Bildung der Ganglien LVII, 753.  
 ——— der Nasenmuschel beim Menschen LX, 355.  
 ——— der Sphaere LVII, 71.  
 ——— des Geruchsorganes durch Wucherung der Sinnesplatte LX, 400.  
 ——— des männlichen Vorkernes LVII, 71.  
 ——— des Nasenlumens und Durchbruch in die Mundhöhle LX, 372.  
 ——— d. Riechgrübchens, Beteiligung des Gehirns an derselb. LV, 608.  
 ——— des weiblichen Vorkernes LVII, 74.  
 ——— und Differenzierung der sensibeln Wurzeln LVII, 392.  
 ——— ——— der Spinalganglien LVII, 392.
- Billroth'sche Capillaren LVIII, 302.
- Bindegewebe, embryonales LV, 59.  
 ——— fibrilläres LVIII, 282.  
 ——— fibrillenarmes, zellreiches LVII, 113.  
 ——— retikuläres LVIII, 282.
- Bindegewebszellen LII, 149.  
 ——— pigmenthaltige LVIII, 161.  
 ——— sternförmige, der Milz LVIII, 325.
- Binnenmuskel des Wirbeltierauges. Entwicklung desselben LVIII, 199.
- Biologie der Malariaparasiten LIX, 328.  
 ——— der Zelle LVII, 9.
- Bläschen Malpighisches LVIII, 302.
- Blaschko'sche Falten LVII, 593.
- Blastem LVII, 823.
- Blastocoel LIII, 424.
- Blastogen LVI, 371.
- Blastophor LIII 194.
- Blatta LV, 196.
- Blepharoblasten LVII, 224.
- Blutbahnen, intermediäre, der Milz LIX, 104.

- Blutbahn, geschlossene, der Milz LIX, 99.  
 —, offene, der Milz LIX, 99.  
 Blut der Maus LX, 269.  
 Blutelemente, farblose, Durchwanderung ders. durch die Sinuswände LVIII, 272, 287.  
 Blutgefäße, Bildung LVII, 734.  
 —, Ausbildung ders. bei den Knochenfischen LX, 430.  
 — der Haarpapille Bemerkungen darüber LVII, 128.  
 — d. Spürhaarwurzel LVII, 144.  
 — im Epithel LII, 167.  
 — in der Theca LVIII, 406.  
 Blutkörperchen, rote, des Frosches LII, 140.  
 — rote, Kann das Kriterium des exponentiellen Fehlergesetzes bei der Bestimmung d. Durchschnittsdiameters derselben angewandt werden LV, 291.  
 —, rote, Verhalten derselben zur Sinuswand LVIII, 278.  
 Blutlymphdrüsen LVIII, 363.  
 Blutlymphräume LVIII, 363.  
 Blutpigmentzellen LIV, 56.  
 Blutplättchen LVIII, 579.  
 Bluträume, sinuöse, der Milz LVIII, 261.  
 — intervillöse LI, 105.  
 Blutschatten LVI, 884.  
 Blutstrom, arterieller, der Milz, Regulierung LVIII, 308.  
 Bodies suprarenal LIII, 283.  
 Bogenanlage LVI, 752.  
 Bögen, untere, der Hatteria punct. LI, 488.  
 Bogen, Cortischer LIX, 154.  
 Bogenfasern LIX, 424.  
 Bogengänge, knöcherne der Hatteria LII, 314.  
 Bojanus'sches Organ LVIII, 609.  
 Bombinator LIX 133.  
 — igneus LII, 374.  
 Bombyx mori LIII, 446.  
 Bowmann'sche Kapsel LVII, 835.  
 Born'sche Plattenmethode LX, 462.  
 Born's Rachendrüse LVIII, 452.  
 Bos Taurus LIV, 528.  
 — LVIII, 143.  
 Botrylloides rubrum LVIII, 611.  
 — luteum LVIII, 611.  
 Botryllus Schlosseri LVIII, 611.  
 — violaceus LVIII, 611.  
 Braun'sche Stränge LVII, 828.  
 Breite der Schlundbogen, Tab. LIX, 486.  
 Bronchien der Säugetiere, Entwicklung der Ringmuskelschicht an denselben LX, 460.  
 Bronchus intrapulmonalis LX, 623, 652.  
 Browns Molekularbewegung LVII, 61.  
 Bruch'sche Membran LX, 346, 347.  
 Brückenechse LI 481.  
 Brunner'sche Drüsen LVII, 660.  
 — LVIII, 710.  
 Brustbein, menschl. LV, 257.  
 Bündel Goll'sche LIX, 423, 436, 440.  
 — Burdach'sche LIX, 419, 430, 435, 440.  
 Butschlis Alveolarsaum LVII, 194.  
 Bufo viridis LII, 391.  
 — calamita LII, 392.  
 — vulgaris LII, 374.  
 — aqua LII, 374.  
 Bufolarven, Oesophagusepithel LVII, 193.  
 —, Rachenepithel LVII, 193.  
 Bürstenzellen im Epithel des Vas epididymis des Menschen LIX, 33.  
 Burdach'sche Bündel LIX, 419, 430, 435, 440.  
 Burdach'scher Strang LIX, 431.  
 Bursa Fabricii LI, 44.  
 Bryozoen LVI, 590.

## C

- Callophis LIII, 317.  
 Callopterus LII, 263.  
 Calmar, LIII, 5.  
 Calma gloncooides LIX, 198.  
 Camelus dromedarius  
   LVIII, 182.  
 Campanulakolben LX, 554.  
 Canalis opticus LX, 527.  
 Canis familiaris LVIII, 155.  
 ——— LVIII, 174.  
 Capillaren, Billroth'sche, der  
   Milz LVIII, 302.  
 ——— der Lymphscheiden LVIII, 300.  
 Capillarhülsen LV, 159.  
 Capillarhülsenbildung, Milz  
   LVIII, 319.  
 Capillarnetz, perilymphatisches  
   LIV, 11.  
 Carcharias spec. LVI, 781.  
 Carcinus Maenas, Verhalten der  
   Primitivfibrillen im Centralnerven-  
   system dess. LI, 382.  
 Cardinalpunkt, physiologischer,  
   der Temperatur für die Frosch-  
   eientwicklung LI, 329.  
 Carnoy's Gemisch LX, 521.  
 Carotisdrüsengewebe  
   LVI, 111.  
 Carotislabyrinth LVI, 128.  
 Carpus der Hatteria punctata  
   LI, 528.  
 ——— der Hatteria LVI, 794.  
 Cartilago paraseptalis  
   LV, 472.  
 Carturus LII, 267.  
 Caussus rhombeatus LIII, 317.  
 Cavia LIV, 528.  
 ——— cobaya LVIII, 146.  
 ——— ——— LX, 316.  
 Cavitas conchae LIX, 595, 615.  
 Centralgeissel LII, 662, 693.  
 ——— LVII, 186.  
 Centralkanal des Rückenmarks  
   des Orang-Utan LIX, 423, 432,  
   261.  
 Centralkörper LII, 580, 688.  
 ——— LIV, 345; LVI, 270.  
 ——— LVI, 561.  
 ——— LVII, 88.  
 ——— LVII, 186.  
 ———, echte LIX, 48.  
 ———, Flemming Haidenhain'scher  
   LI, 280.  
 ——— der Spermien bei Phalengista  
   vulp. LX, 257.  
 Centrankorn Boveris LII, 99.  
 Centralnervensystem des  
   Carcinus Maenas, Verhalten der  
   Primitivfibrillen dess LI, 382.  
 ——— d. Kaninchens, Untersuchungen  
   darüber LVII, 488.  
 ———, neue Methode der Färbung  
   dess. LIX, 211.  
 Centralspindel LII, 129.  
 ——— LV, 79.  
 ——— Hermanns LVI, 671.  
 Centralspindelkörperchen  
   LI, 259.  
 Centralstäbchen LII, 575.  
 Centraltochterkörperchen  
   LVI, 669.  
 Centre des Formations plastiques  
   de vitellus LVI, 383.  
 Centren, dynamische LIV, 383.  
 Centrifugierung der Froscheier  
   LX, 40.  
 Centriolen Boveri's LIX, 47.  
 Centrodesmose LI, 288.  
 ——— LII, 573, 692.  
 Centrodesmosen LV, 78.  
 Centrodeutoplasma LI, 242.  
 Centrosphaeren LVII, 88.  
 Centrosoma LI, 280.  
 ——— LII, 104.  
 ——— LVII, 88.  
 Centrosomen LVII, 483.  
 ——— in den Ovogonien u. Ascaris  
   megalocephala LII, 115.  
 ——— in den Richtungsspindeln von  
   Ascaris megalocephala LII, 117.  
 ——— in den Spermatocten von  
   Ascaris megalocephala LII, 113.

- Centrosomen in Mitosen in Muskelfasern LX, 136.  
 Centrosphaere LIII, 22.  
 Centrum, kinetisches LVII, 185.  
 — tendineum, Nervenendigungen LIX, 125.  
 Cephalopoden LIII, 7.  
 Cercaria ericetorum LI, 761.  
 Cervus elephus LVIII, 145.  
 — tarandus LVIII, 146  
 — alces, Eigenartiger Prozess in den Samenblasen von LX, 100.  
 Chamaeleon LII, 271.  
 — vulgaris LI, 786  
 — — LII, 299.  
 Champsosaurus LI, 482.  
 Characteristica der elastischen Fasern LVIII, 283.  
 Cheilospirura palpebrarum LVIII, 189.  
 Chelonia midas LII, 299.  
 Chemocentrum LII, 697.  
 Chemotaxis LIX, 108.  
 Chemotropismus LVII, 10.  
 — LIX, 107.  
 Chenocanthus LII, 264.  
 Chiromys Madagascariensis LVIII, 156.  
 Chiroptera LVIII, 155.  
 — LVIII, 173.  
 Chiropteren LVI, 4.  
 Chitin LX, 70.  
 Choane, äussere LV, 465.  
 —, innere LV, 465.  
 —, primitive LVIII, 423, 438.  
 — — LX, 348.  
 Choanen LVIII, 449.  
 —, Veränderungen an denselben LVIII, 448.  
 Chondrin LX, 69.  
 Chondrinballen des hyalinen Knorpels LX, 66, 71.  
 Chondrocranium mensch. Entwicklung LV, 346  
 Chondroitsäure LX, 69.  
 Chondromucoid, Darstellung LX, 76.  
 Chondromucoid LX, 69.  
 Chondrosin LX, 70.  
 Chorda LIII, 92.  
 — LVI, 747.  
 — dorsalis menschl. LV, 357, 367, 378. 389, 403.  
 Chordadurchtrennung, makroskop. Veränderungen der Speicheldrüsen nach derselben LVIII, 9.  
 Chordaepithel LI, 458.  
 — LVI, 749.  
 Chordafalte LIX, 548, 566.  
 — LIX, 558, 566, 581.  
 Chorda tympani der Hatteria LVI, 838.  
 — — LIX, 570.  
 Choriocapillaris LII, 288.  
 Chorioidea d. Hatteria LII, 287.  
 Chromadinfadenstränge LII, 255.  
 Chromadora salmarum LVIII, 195.  
 Chromatinelemente, Richtungskörperbildung LIX, 393.  
 Chromatinogenkörperchen LVI, 673.  
 Chromatinotaxis LIX, 114.  
 Chromatische Substanz im Knorpel LX, 91, 95.  
 Chromatolyse LI, 715.  
 — LII, 884.  
 — LIV, 120.  
 Chromophile Granula LVII, 646.  
 Chromosomenreduktion LI, 254.  
 Chromosom. Richtungskörperbildung LIX, 395.  
 Chrysochloris aurata LII, 158.  
 Chrysura LX, 321.  
 Ciliarmuskulatur, Anlage LX, 540.  
 Ciliarrand der Retina LII, 283.  
 Cilien, Structur LIV, 99.  
 Ciona intestinalis LVIII, 613.  
 Circulationsorgane LII, 349.  
 Citillus LX, 298.

- Cladodus LII, 263.  
 Clarke'sche Säulen LVII, 507.  
 Clavicula der Hatteria punctata  
 LI, 526.  
 —, mensch. LV, 269.  
 Clepsine LV, 195.  
 Clitellio arenarius LIII, 196.  
 Cnemidophorus LII, 342.  
 Cobitis LII, 155.  
 Cochlea der Hatteria LII, 320.  
 Coelenteraten LII, 646.  
 — LIII, 196.  
 — LVI, 594.  
 Cohnheim'sche Felder LV, 147.  
 Coleoptera LIII, 151.  
 Collateralen der Seitenstränge  
 LVII, 523.  
 — des Hinterstranges LVII, 524.  
 — des Vorderstranges LVII, 524.  
 —, motorische LVII, 505.  
 — — LVII, 520.  
 Colloid, interfolliculäres LVII, 647.  
 — perifolliculäres LVII, 647.  
 Colostrum LI, 739.  
 Colostrumkörper LI, 716.  
 Colpidium, Structur LIV, 99.  
 Coluber natrix LII, 290.  
 Columella LVI, 809.  
 — der Hatt. punct. LI, 505.  
 Commissurenelemente von  
 Carcinus Maenas LI, 399.  
 Compensationsbewegung der  
 Augen b. Carcinus Maenas LI, 437.  
 Conchae obtectae LX, 351.  
 — — beim Mausembryo  
 LX, 352.  
 Condylura cristata LII, 158.  
 Conjugation d. Infusors Colpidium  
 colpoda, das Verhalten der Kerne  
 hierbei LIV, 95.  
 — der Vorkerne LVII, 75.  
 Conjunctiva d. Hatteria LII, 295.  
 — sclerae junger Hühner-  
 embryonen, Papillen derselben  
 LVII, 676.  
 Crustaceen, Kiemenlamellen  
 LX, 167.  
 Conus terminalis beim Orang-  
 Utan LIX, 455.  
 Copulation LI, 226.  
 Copulationsbahn LV, 188.  
 Copulationsebene LVII, 83.  
 Copulationslinie LX, 31.  
 Coracoid der Hatteria punctata  
 LI, 525.  
 Cordylophora lacustris  
 LIX, 182.  
 Cornea der Hatteria LII, 293.  
 Cornealepithel vom Rhesus-  
 affen LII, 681.  
 Coronoideum der Hatt. punct.  
 LI, 522.  
 Corps granuleux LI, 725.  
 Corpus ciliare der Hatteria  
 LII, 288.  
 Cortezellen, motorische des  
 Menschen, LVII, 166.  
 Cortische Fasern LIX, 152.  
 Cortischer Bogen LIX, 154.  
 Cortisches Organ LIX, 146.  
 Cortische Zähne LIX, 167.  
 — Zellen LIX, 156.  
 Coryphella lineata Lovén  
 LIX, 181.  
 Crenilabrus parvo LVI, 149.  
 Cricetus frumentarius LX,  
 332.  
 Cricotus LVI, 779.  
 Crista acustica LVIII, 171.  
 Cristae accusticae LVIII, 144.  
 Crocodilierlunge LX, 623.  
 Crocodilus biporcatus LVI,  
 406.  
 — —, ausgewachsene Lunge  
 LX, 623.  
 — —, embryonale Lunge LX,  
 624.  
 Crotaliden LIII, 317.  
 Crus heliis LIX, 593, 615.  
 Cyclostomen LII 883.  
 — LIII, 187.  
 — LVI, 3.  
 — LVI, 23.  
 — LVII, 55.

- Cylinderepithelien LIX, 47.  
 — des Magens LII, 145.  
 — des Darmes LII, 145.  
 —, hohe Lage der Kernteilungs-  
 figuren in denselben LII, 695.  
*Cymba conchae* LIX, 595, 615.  
*Cynocephalus* LIV 312.  
*Cynopterus marginatus* LX, 321.  
*Cynosternum pennysilvanum*  
 LI, 771.  
 Cynthiodeen, Bau der Exkre-  
 tionsorgane LVIII, 624.  
*Cyprinus auratus*, Sehbahnen  
 LI, 820.  
*Cystencolloid* LVII, 647.  
 Cystenkerne LIII, 27.  
 Cytomechanik LV, 101.  
 Cytomitom, primäres LIV, 196.  
 Cytoschisis LIV, 498.  
 Cytolisthesis LIX, 112.  
*Cytophor* LIII, 194.  
 Cytophore LIII, 25.  
 Cytoplasma LIV, 128.  
 Cytorhesis LIV, 498.  
 Cytotaxis LIX 111.  
 — apolare LIX, 112.  
 — polare LIX, 112.  
 Cytorchismus LIX, 112.  
*Cytotropimus* LVI 334.
- D**
- Daphniden* LIII, 198.  
 Darm, Studien über die Entwick-  
 lung des Vorderdarms und einiger  
 angrenzenden Organe LIX, 471.  
 —, Cylinderepithelien LII, 145.  
 Darmdrüsen, Rückbildung des  
 menschl. Wurmfortsatzes LI, 31.  
 Darnelemente, versprengte  
 LVIII, 722,  
 Darmepithel LVII, 738.  
 — LVIII, 722.  
 — des *Lumbricus* LVII, 196.  
 Darmepithelschläuche LVIII,  
 702.
- Darmepithelzelle, nicht vaku-  
 olierte LIV, 188.  
 Darmepithelzellen, Ueber die  
 Struktur der — LIV, 184.  
 Darmkrypten LII, 695.  
 Darmwand, kreuzförmige Aus-  
 stülpung LVII, 281.  
 Darstellung der Begleit- und  
 Gliazellen im Nervensystem von  
*Helix* mit d. Golgimethode LV, 300.  
*Dasypus villosus* LIV, 529.  
*Decidua*, Umwandlung der Uterus-  
 schleimhaut in dieselbe LVII, 528.  
 Decidua wucherung LVII, 561.  
 Deckknochen der *Hatteria* LVI,  
 810, 820.  
 — LVIII, 484.  
 Deckzellenkerne LIII, 27.  
*Decussatio cerebelli* LVIII,  
 666.  
 Degeneration, Die — der mark-  
 haltigen Nervenfasern der Wirbel-  
 tiere unter hauptsächlichster Be-  
 rücksichtigung des Verhaltens der  
 Primitivfibrillen LIV, 135. Die  
 normale markhaltige Nerven-  
 faser 142, die Degeneration der  
 markhaltigen Nervenfasern 153,  
 die Degeneration der Primitiv-  
 fibrillen im Allgemeinen 154, beim  
 Frosch 173.  
 — der Primitivfibrillen im All-  
 gemeinen LIV, 154.  
 Degenerationserscheinungen  
 in den Athemröhren der *Janellen*  
 LI, 839.  
 Degenerationsprozesse im  
 Muskelgewebe LX, 125.  
 Deiters'scher Kern LVII, 152.  
 Decapoden LIV, 423.  
*Delphinus delphis* LIV, 83.  
 Dendriten, Funktion derselben  
 LVII, 519.  
*Dentronotus arborescens*  
 LIX, 199.  
 Dentale der *Hatteria punctata*  
 LI, 521.

- Dermatosomen, Strassburger-  
 sche LVI, 186.  
 Dermesthes cardarius LV, 147.  
 Desmotropismus LIX, 113.  
 Deutung d. epidermoidalen Organe  
 im Säugetierintegument LII, 156.  
 Diapedesis LVIII, 272.  
 Diaphragma der Säugetiere,  
 Nervenendigungen LIX, 629.  
 —, Endigung der Nerven im  
 Peritoneum dess. LIV, 636.  
 Dickdarm des Menschen LII, 644.  
 Differenzierung und Bildung  
 der Spinalganglien LVII, 392.  
 — — — — der sensiblen Wurzeln  
 LVII, 392.  
 Differenzierungsprodukt des  
 Plasma LVII, 186.  
 Dilator pupillae, Entwicklg.  
 LX, 346.  
 Dilatorzellen LX, 548.  
 Diplogaster clavus LVIII, 194.  
 Diplosoma LII, 577.  
 Diplosomen LIX, 47, 58.  
 Diptera LIII, 151.  
 Discoglossus pictus LII, 390.  
 Dispirem LIII, 34.  
 Distomum maculos. Rud. LVIII, 195.  
 — — Ryacophilae LVI, 370.  
 Doto Cornalliae LIX, 199.  
 Dorsalmark LVII, 506.  
 Dotterbildung LVIII, 393.  
 Dotterbruch LX, 49.  
 Dotterdurchbruch LV, 206.  
 Dotterhaut LI, 321.  
 Dotterkern LVI, 382.  
 Dotterkugelchen LVI, 579.  
 Dotterreichtum LVII, 754.  
 Dottersack LI, 476.  
 Dotterschluss LI, 204.  
 Dottersyncytium LIII, 423.  
 Drüse Harder'sche LII, 299.  
 — — — — LVI, 537.  
 — — — — LX, 525.  
 — — Jakobson'sche LX, 381.  
 Drüsen, Zur Kenntnis einiger —  
 und Epithelien LII, 552, drei-  
 zellige Drüsen von Phronima 565,  
 Thränendrüse des Menschen 569,  
 Parotis des Menschen 582, poröse  
 Drüsen der Zungenwurzel 588,  
 Schleimspeicheldrüsen u. Schleim-  
 drüsen 591, Pancreas des Men-  
 schen 602, Leber 608, Fundus-  
 drüsen des Magen 611, Dünn-  
 darm und Dickdarm des Menschen  
 644, Schilddrüse 656, Hypophysis  
 des Menschen 658, Niere des  
 Kaninchens 659, Ureter und  
 Nierenbecken 665, Samenblase  
 des Menschen 672, Nebenhoden  
 des Menschen 674, Uterus des  
 Menschen 678, geschichtetes Plat-  
 tenepithel 680, Knäueldrüsen 685.  
 —, Beiträge zur Histologie der  
 Speicheldrüsen LIX, 407.  
 — — der Haut von Bufo cinereus  
 LIII, 385.  
 — — Bowman'sche LII, 303.  
 — — Brunner'sche LII, 644.  
 — — — — LVI, 300.  
 — — — — LVII, 660.  
 — — — — LVIII, 710.  
 — —, dreizellige, von Phronima  
 LII, 565.  
 — — Gibson'sche LI, 842.  
 — —, kleine, seröse, der Zungen-  
 wurzel LII, 588.  
 — — Lieberkühn'sche LVIII, 710.  
 — — mit innerer Secretion LVI, 137.  
 — — Serres'sche LIV, 608.  
 — — Tyson'sche LIV, 603.  
 — —, Veränderungen des Nerven-  
 apparatus ders. LVIII, 118.  
 Drüsencomplexe, Bermann'sche  
 LVI, 536.  
 Drüsengranula LVIII, 490.  
 — — LVIII, 498.  
 Drüsenhalse, Zungenwurzel LII,  
 616, 630.  
 Drüsenräume, Form bei der  
 Retrolingualis LVIII, 36.  
 — —, Zusammensetzung ders. bei  
 der Retrolingualis LVIII, 36.

- Drüsenschaltstücke LII, 587, 631.
- Drüsenschlauch, Anordnung d. Drüsenzellen LVIII, 98.
- Drüsenschläuche der Submaxillaris, über die Form ders. LVIII, 16.
- Drüsenschlauchform, Veränderung dess. LVIII, 98.
- Drüsenzelle, Oberfläche LVIII, 21.
- Drüsenzellen, Anordnung im Drüsenschlauch LVIII, 98.
- der Retrolingualis LVIII, 113.
- seröse LII, 757.
- , über das Trophospongium derselben im Salamander Pancreas LX, 669.
- , Verhalten der Sekretfäden zu dens. LVII, 667.
- , zerfallende, Schicksal ders. LVIII, 89.
- Ductus endolymphaticus LVI, 804, 845.
- hepatentericus proprius LIX, 79.
- choledochohepaticus LIX, 79.
- nasopharyngeus LX, 348.
- perilymphaticus LVI, 846.
- Santorini LVII, 329.
- — LIX, 90.
- Stenonianus LX, 348.
- Dünndarm des Menschen LII, 644.
- Durchbrechen d. Kiemenspalten LVII, 754.
- Durchbruch des Nasenlumens in die Mundhöhle LX, 372.
- des weissen Dotters LV, 217.
- Durchschneiden des Glossopharyngeus LVII, 252.
- Durchschnittsdiameter der roten Blutkörperchen, kann das Kriterium d. exponentiellen Fehlergesetzes bei der Bestimmung dess. angewandt werden? LV, 291.
- E**
- Ebstein'sche Schleimdrüsen LVIII, 700.
- Echidna LIII, 612.
- hystrix LIII, 574.
- Echinodermen LIII, 195.
- LVI, 594.
- Echinorhynchus obesus LX, 229.
- campanulatus Dies LX, 229.
- monechinus LX, 229.
- striatus Greze LX, 230.
- vasculosus Rud. LX, 230.
- strumosus Rud. LX, 231.
- stellerio Mol. LX, 231.
- inaaginabilis LX, 228.
- Echinus miliaris, Eier, LV, 324.
- Ectoderm, Beteiligung dess. am Wachstum des Riechgrübchens LV, 606.
- Ectoplacenta LI, 89.
- Ectopterygoid der Hatteria punctata LI, 503.
- Ectosarc LV, 318.
- Edentaten LVI, 4.
- Ei, Befruchtung LVII, 9.
- befruchtetes, Schwerkraft LX, 18
- moloblastisches LIII, 424.
- der Maus, Implantation dess. in die Uterus-Schleimhaut LVII, 528.
- des Petromyzon fluviatilis, Befruchtung LVII, 54.
- , reifes, Kern dess. LVIII, 404.
- , stark reifes LV, 178.
- , überreifes LV, 178.
- , unbefruchtetes LVII, 66.
- von Rana fusca, bilaterale Symmetrie LV, 173.
- , Reifung LVII, 9.
- , Veränderungen des Spermatozoons in demselb. LVII, 71.
- Eiaxe LX, 17.
- Eier, Abkühlung derselben unter 0° LI, 320.
- v. Amphidetus cordatus LV, 329.

- Eier des *Echinus miliaris* LV, 324.  
 —, Störungen bei denselben durch Zwangslage LV, 218.  
 Eientwicklung vom Primordialstadium bis zur Befruchtung LVIII, 376.  
 — bei *Rana fusca*, untere Temperaturgrenze LI, 346.  
 Eiperipherie, Abschnürung des Polplasmas von derselb. LVII, 75.  
 Eischwiele LVI, 824.  
 Eiverdoppelung LIII, 359.  
 Eiweissdrüsen LVIII, 488.  
 Eizellen, einfache, mit doppeltem Kern LIII, 360.  
 Eidechse LII, 272.  
 Eidechsenembryonen, Entstehung der Neuporusverdickung LVIII, 641.  
 Eidechse, physiolog. Bedeutung der Schlundtaschen derselben LVII, 749.  
 —, Mitteilungen z. Entwicklungsgeschichte LVII, 705.  
 —, Mitteilungen z. Entwicklungsgeschichte LVIII, 640.  
 Eimer'scher Achsenfaden LI, 300.  
 Einfluss eines Entzündungserregenden Agens auf Froschei und Eierstock LII, 482.  
 — der Kälte auf Kern und Zellteilung LI, 322.  
 — des Schneidens der Haare auf ihr Wachstum, Untersuchungen histolog. darüber LI, 691.  
 — der Schwerkraft auf die Symmetrie des Froscheies LX, 17.  
 — der Temperatur auf die Entwicklung von *Rana fusca* und *Rana esculenta* LI, 319.  
 — verschied. Temperaturgrade auf die Geschwindigkeit der Eientwicklung LI, 358.  
 Einschnürungen, Ranvier'sche LIII, 262.  
 — — — LIV, 144, 339.  
 — — — LVII, 504.  
 Einschmelzung d. Erythrocyten bei Malaria LIX, 351.  
 Elapiden LIII, 317.  
 Eleidin LVII, 586, 589, 601.  
 —, Ranvier'sches LVII, 786.  
 Elasmobranchier LVI, 779.  
 Element, Sertolisches LIII, 180.  
 Elementargitter Apáthy's LVII, 155.  
 Elementarfibrille im Herzmuskel LX, 150.  
 Elementarkörner, Farbe LVIII, 176.  
 Ellipsoid LII, 280.  
 Embolomerie LVI, 779.  
 Embryo, 9 monat. menschlicher Bau der Spinalganglienzellen LIX, 459.  
 —, Mediaebene LV, 185.  
 Embryonen v. *Torpedo marmorata* LVI, 459.  
 Embryo, menschlicher, Muscheln dess. LX, 355.  
 Embryonales Muskelgewebe, Kernteilung LX, 133.  
 Embryonalanlage, primitive Oellacher LI, 188.  
 Embryonalsaum, Kupfer-Oellacher LI, 190.  
 Embryonalschild, Oellacher LI, 187.  
 Eminentia pyramidalis LIX, 549.  
 — styloidea LIX, 555.  
 Empfängnishügel LI, 321.  
*Emys europea* LI, 771.  
 — *lataria*, ausgewachs. Lunge LX, 616.  
 — — —, embryonale Lunge LX, 619.  
 Endapparate, zusammengesetzte LIX, 15.  
 —, nervöse, uneingekapselte LIX, 10.  
 Endapparat, funktionelle Stellung dess. in Muskeln LX, 13.

- Endigung der Nerven im Peritoneum des Diaphragma LIX, 636.  
 —, periphere d. Nervus cochleae LIX, 144.
- Endigungsweise der Nerven im Peritoneum der Bauchwand LIX, 630.
- Endfasern, periphere des Nervus cochleae, Verlauf derselben LIX, 152.
- Endknospen LX, 3.
- Endkörperchen, zusammengesetzte LIX, 7.  
 — eingekapselte LIX, 4.
- Endknöpfchen, kugelige LIV, 61, 360.
- Endplatte, Axialverzweigung im Muskel LX, 10.
- Endverzweigungen d. Arterien der menschlichen Nieren LVII, 117.
- Endoplasma LVI, 189.
- Endothel und Epithel LVII, 1.
- Endothelzelle, kahnförmige, der Milz LVIII, 262.
- Endothelzellen, ruhende LVIII, 579.
- Ente, Entwicklung der Augenmuskeln LVII, 229.
- Engelmann'sche Inotagmen LVII, 185.
- Entstehung, erste der Schlundtaschen LVII, 706.  
 —, erste des Geruchsorganes, Zeit LX, 398.  
 — des Keratohyalins LVII, 780.  
 — der Nasenblindsäcke LVIII, 450.  
 — der Schneider'schen Falten LX, 402.  
 — der versprengt. Nebennieren LVI, 54.
- Entstehungsweise d. Ventriculus terminalis LII, 501.
- Entwicklung atypische LX 26.  
 — der Accomodationsmuskulatur LX, 555.
- Entwicklung, über das erste Auftreten d. bilateralen Symmetrie im Verlauf ders. LV, 171.  
 — der Augenmuskeln der Ente LVII, 229.  
 — d. äusseren Form d. Forellen-Embryo LI, 181.  
 — d. äusseren Ohres, LIX, 583.  
 — des äusseren Gehörganges LIX, 471.  
 — der Binnenmuskel des Wirbeltierauges LVIII, 199.  
 — der Binnenmuskulatur des Auges LX, 517.  
 — des Bronchialbaumes d. Säuglinge LVI, 606.  
 — d. bleibenden Niere LVII, 822.  
 — der Carotisdrüse LVI, 81.  
 — des Flimmerapparates LVII, 215.  
 — des Geruchsorganes der Seelachier LX, 386.  
 —, der Hypophyse bei Säugern LI, 55.  
 — des Labyrinthes beim Huhn LIX, 354.  
 — der menschl. Extremitätenknochen LV, 280.  
 — des knorpeligen Primordialcraniums beim Menschen, Beitrag dazu LV, 341.  
 — des menschlichen Axenskeletts LV, 247.  
 — der menschl. Schädelknochen LV, 262.  
 — d. menschl. Chondrocraniums LV, 346.  
 — des menschl. Extremitätenskeletts LV, 269.  
 — der Milz bei den Amnioten LVII, 487.  
 — des Mittelhirns der Knochenfische LIX, 295.  
 — des M. retractor lentis der Fische LX, 553.  
 — des M. Dilatator pupillae LX, 546.

- Entwicklung des M. Sphincter pupillae LX, 524.
- der Nasenhöhle bei Amphibien, LVIII, 411, LX, 369.
- der Schlundtaschen LVII, 728.
- der Schlundtaschenderivate LVII, 731.
- der Spermien bei Phalangista vulpina LX, 234.
- des Mittelohrraumes LIX, 471.
- der Occipitalregion LV, 344.
- des Pankreas bei den Amnioten, Beiträge LX, 174.
- des Paukenfelles LIX, 583.
- der Ringmuskelschicht an den Bronchien der Säugetiere LX, 460.
- des Säugetierschädels LV, 341.
- des Skelett- und Herzmuskelgewebes der Säugetiere LX, 111.
- des tubo-tympanalen Rohres von der ersten Hälfte des III. Embryonalmonates bis zur Geburt LIX, 522.
- der Unke, LVIII, 441.
- des Vorderdarms und einiger angrenzenden Organe, Studien LIX, 471.
- , Einfluss verschied. Temperaturgrade auf die Geschwindigkeit ders. LI, 358.
- Entwicklungsgeschichte der Eidechse, Mitteilungen LVII, 705, LVIII, 640.
- von Gordius aquaticus LI, 747.
- , vergleichende d. Nebennieren LVI, 1.
- , vergleichende, der Wirbeltierlunge LX, 587.
- Entwicklungsprozess bei Phalangista vulpina, Einteilung LX, 233.
- Entzündungerregendes Agens, über Veränderungen durch dass. im Amphibienei LV, 111.
- Entzündungerregendes Agens, Veränderung des Froscheies durch dasselbe LII, 842.
- Ependymfaserbündel LV, 27.
- Ependymzellen LII, 547.
- Ependymzellkörper LV, 21.
- Epidermis, wahre verdickte LVII, 654.
- , menschliche, Bau der Hornschicht ders. LVII, 583.
- , Beziehung zwischen dieser u. Medullarstrang u. Ganglienstrang LVII, 386.
- , menschl., Fettgehalt d. Hornschicht ders. LVII, 583.
- Epidermisspiralen LIII, 536.
- Epidermiszelle, menschl., über die Struktur ders. LIV, 289.
- , Struktur des Protoplasmas LIII, 512.
- Epipubis LVI, 794.
- Episternum LVI, 789.
- Epithel und Endothel LVII, 1.
- , partiell geschichtetes LII, 570.
- , Zusammensetzung und Form LVI, 236.
- Epithelfasern LII, 685.
- Epithelien, Beiträge zur Kenntnis ders. LII, 552.
- Epitheliotropismus LIX, 114.
- Epithelkörperchen LVII, 726, 732.
- LIII, 292, 308.
- , äusseres LVI, 87.
- Epithelkugeln LIV, 607.
- Epithelperlenbildung LIV, 612.
- Epithelprotoplasma LVI, 178.
- Epithelvacuolen LIII, 367.
- LIV, 439.
- Epithelwand der pars sup. labyrinthi LVIII, 175.
- Epithelzapfenhöhle, Labyrinth des Huhnes LIX, 357.
- Epithelzelle, Bestandteile ders. LVI, 236.

- Epithelzellen, dunkle, mit Stäbchencuticula LII, 645.  
 —, Haarbüschel derselben im vas-epididymis des Menschen LIX, 32.  
 — des cerebro-spinalen Nervensystems LX, 519.  
 —, pigmenthaltige LVIII, 162.  
 —, des Magens, Verschleimung LVIII, 697.  
 Epitrichialzellen LVII, 770.  
 Eponychium LVII, 777.  
 Ergastoplasma LIV, 218, 600.  
 Erinaceus LI, 518.  
 — LVIII, 175.  
 — europaeus LVIII, 153.  
 — — IX, 320.  
 Ersatzzähne LVI, 824.  
 Ersatzzahnleisten LVI, 822.  
 Erythroblasten LI, 164.  
 Erythrocyten LI, 172.  
 Erythrocytenbildung, zur Kenntnis ders. LX, 261.  
 Erythrocytolysen LIV, 488; LVI, 152.  
 Ethmoidalregion LV, 376, 385, 401.  
 — LVI, 807, 817.  
 Eustrongylus gigas Rud. LV, 505.  
 Eurycormus speciosus LII, 268.  
 Excretionsorgane d. Tunicaten, Bau LVIII, 608.  
 Exoplasma LVI, 183.  
 Exoccipitale d. Hatteria punct. LI, 494.  
 Experimente zur Ausschaltung der Schwerkraft beim befruchteten Froschei LX, 36.  
 Experimentelle Untersuchungen über die Sehbahnen des Goldkarpfen LI, 820.  
 Extracolumella LVI, 828.  
 Extracolumellasehne LVI, 829.  
 — LVI, 829.  
 Extrapulmonaler Bronchus LX, 652.  
 Extremitäten der Hatteria, LVI, 794; LI, 524.  
 Extremitätenenden, arteriovenöse Anastomosen an denselben beim Menschen und den krallentragenden Säugetieren LX, 141.  
 Extremitätenknochen, menschliche, Entwicklung ders. LV, 280.  
 Extremitätenskelett, menschl., Entwicklung dess. LV, 269.
- ### F
- Facialiswulst LIX 548.  
 Fadenartige Zellfortsätze im Epithel d. vas epididymis LIX, 34.  
 Fadenrolle LVI, 751.  
 Fäden, spiralig gewundene LVI, 172.  
 Färbbarkeit, vitale, d. Phagocyten d. Menschen LVI, 868.  
 —, vitale, der Phagocyten der Säugetiere m. Neutralrot LVI, 868.  
 —, vitale, der Vorticellen mit Neutralrot LVI, 868.  
 Färbemethode, vitale LV, 560.  
 Färbung des Centralnervensystems, neue Methode LIX, 211.  
 — der Leucocyten einschüsse, üb. die Abhängigkeit ders. von dem Leben der Zelle LVI, 877.  
 —, postmortale LV, 567.  
 —, vitale, eine Darstellungsmethode der Zellgranula LV, 558.  
 Falco lagopus LVII, 653.  
 — nesus LVII, 653.  
 Falte, Tröltch'sche, hintere LIX, 548, 566.  
 —, —, vordere LIX, 546, 581.  
 —, —, vordere LIX, 558, 581.  
 Falten, Blaschko'sche LVII, 593.  
 —, Ueber die, des Ringwulstes der Vogellinse LVIII, 558.  
 —, Schneider'sche LX, 344.

- Falten, Schneider'sche, Entstehung LX, 402.
- Faltungerscheinungen der Kernmembran LVII, 165.
- Faltungstheorie His's LV, 609.
- Farbe der Elementarkörner LVIII, 176.
- Farbschälchen, perforierte LVI, 740.
- Farbstoff, Verküpfung desselben LV, 563.
- Farbstoffe, angewandte Chemie LV, 564.
- , küpenbildende LV, 562.
- , — LVI, 905.
- , reoxydable LVI, 905.
- Fasciculus communis LVIII, 676.
- Faserhaut, Henle'sche, innere der Milz LVIII, 308.
- Faserknorpel LVIII, 485.
- Fasern, Corti'sche LIX, 152.
- des Accessorius LIX, 423.
- , durchtretende LIV, 585.
- , elastische, Characteristica LVIII, 283.
- , elastische, in der Froschhaut LVII, 95.
- Fasernetz, Gerlach'sches LVI, 340.
- Fasern, Ranvier'sche LVI, 530.
- , Remak'sche LIII, 80.
- , — LV, 3.
- , Tomes'sche LIV, 236.
- , Skarpey'sche LVI, 788.
- Fehlergesetz, exponentielles, zur Bestimmung des Durchschnittsdiameters d. roten Blutkörperchen LV, 291.
- Felder, Cohnheim'sche LII, 769.
- Feld, motorisches d. Medulla, Zellen dess. LV, 319.
- Felis domestica LIII, 599.
- — — LIV, 525.
- — — LVIII, 154.
- — — LX, 332.
- Felsenraum LIX, 556, 581.
- Fenestra hypophyseos LVI, 804.
- Fettgehalt der Hornschicht der menschl. Epidermis LVII, 583.
- Fettgewebe, braunes, Anatomie LX, 310.
- , d. braune, bei schweizerischen und deutschen Nagern und Insectivoren LX, 291.
- , braunes, Historisches LX, 294.
- Fettinfiltration LI, 738.
- in Hoden LII, 866.
- Fettkörnchenkugel LI, 725.
- Fettkörnchen, pigmentirte LVIII, 234.
- Fettkörner d. Nebenniere L, 426.
- Fettpigment, Lage desselben LVIII, 243.
- Fettpigmentmetamorphose LVIII, 239.
- Fettsekretion der Schweissdrüsen LVII, 675.
- Fetttröpfchen intracelluläre LVI, 893.
- Fettzellen LVII, 611.
- Fibre praeganglionic LIII, 238.
- Fibrillenconus LVII, 221.
- Fibrillenmethode, Apathy'sche LIV, 297.
- Fibrillen im Muskel LX, 130.
- , Querverbindung ders. LIV, 215.
- Fibrilles moniliformes LIV, 193.
- Fibula d. Hatt. punct. LI, 533.
- Figuren Boveris LII, 101.
- Filament procephalique LVI, 595.
- Filaria australis LVI, 366.
- coronata Rud. LVIII, 189.
- equina Abbildg. LX, 222.
- rotundicanda LX, 222.
- Filarsystem, Flemming'sches LIV, 216.
- Filum terminale des Rückenmarkes beim Neugeborenen LII, 501.

- Fiona nobilis*, Alder et Hancock LIX, 181.  
 Fische LII, 879.  
 — LVI, 3.  
 —, Entwicklung des Retractor lentis LX, 553.  
*Fissura ethmoidalis lateralis* LX, 344.  
*Fistularia depressa* LVI, 782.  
 Fixation, abnorme des Eies LV, 221.  
 Fixirung der Ausstrichpräparate für Malariaforschung LIX, 319.  
 Fläche, ventrale des Schädels der *Hatteria punctata* LI, 510.  
 Flechsig'sche Grenzschicht LIX, 420, 431, 441.  
 Fledermaus LVII, 179.  
 Fleisch, versteinertes LII, 264.  
 Flemming-Nissl'sche Körper LIX, 462.  
 — Scholle LIV, 155.  
 Flimmerapparat, Entwicklung LVII, 215.  
 Flimmerhaare LVII, 195.  
 Flimmerzellen, eigentliche LII, 675.  
 — im Epithel des Vas epididymis des Menschen LIX, 32.  
 —, Histogenese LVII, 184.  
 —, — LVII, 187.  
 Flossensaum LI, 210.  
 Flügelzellen, Waldeyer'sche LIV, 4.  
 Flüssigkeit, Mann'sche LII, 237.  
 —, Perenyi'sche LII, 237.  
 —, Zenker'sche LII, 238.  
 —, Flemming'sche LII, 238.  
 Fluid vacuole LI, 270.  
 Follikel, Graaf'scher LII, 884; LI, 715.  
 —, — LIV, 439.  
 Follikelkerne LII, 868.  
 Follikelzellen LIII, 186.  
 Foramen, jugulare LVI, 846.  
 Foramen olfactorium LV, 474.  
 — perilymphaticum LVI, 804.  
 Forficula LIV, 20, LVI, 578.  
 Form, äussere, b. Forellenembryo, Entwicklung ders. LI, 181.  
 — der Drüsenschläuche der Submaxillaris LVIII, 16.  
 Formgestaltung des Geruchsorganes, Art ders. LX, 399.  
 Fortsatz, Stöhr'scher LII, 625.  
 Fossa angularis LIX, 612.  
 — conchae LIX, 589, 614.  
 — hypophyseae LI, 509.  
 — scaphoidea LIX, 615.  
 — temporalis der *Hatteria punctata* LI, 507.  
 Fossa triangularis LIX, 615.  
 Fossula sulcifornus LII, 314.  
 Fregatta aquila LVI, 783.  
 Fringilla caelebs LVI, 280.  
 Frontale der *Hatteria punctata* LI, 500.  
 Frosch LIV, 173.  
 —, Muskelspindel desselben LVI, 340.  
 —, Retina, LII, 274.  
 —, rothe Blutkörperchen LII, 140.  
 Frösche, inscriptiones elasticae der Sehnen der schiefen Bauchmuskeln derselben LVII, 102.  
 Froscheier LV, 115.  
 — LVI, 322.  
 —, Centrifugierung, LX, 40.  
 Froschei, Einfluss d. Schwerkraft auf die Symmetrie des, LX, 17.  
 —, unbefruchtetes, LX, 45.  
 Froscheientwicklung, physiologischer Cardinalpunkt der Temperatur derselben LI, 329.  
 —, Störungen derselben durch Temperaturüberschreitung bei derselben LI, 329.  
 Froschharnblase, Nervenapparat LV, 2.  
 Froschhaut, Fasern, elastische in derselben LVII, 95.  
 Froschlarven LVIII, 652.

- Fruchtblatt, inneres, secund. Verlöthung LIX, 479.
- Fucus vesiculosus* LIX, 182.
- Fundusdrüsen des Magens LII, 611, 698.
- beim Pferd LII, 611.
- Funktion der Basalkörper LVII, 219.
- , motorische LVII, 155.
- Furche, erste LV, 179.
- , lyraförmige LV, 464.
- Furchung von *Ascaris megaloccephala*, über Centrosomen bei der LII, 98.
- Furchungshöhle LV, 220.
- Furchungskern LVII, 80.
- Furchungsspindel LVII, 82.
- Fusszellen, Bendas LI, 223.
- G**
- Gallenkapillaren, eine einfache Methode der Darstellung derselb. LVIII, 567.
- , Wandung LVIII, 570.
- Gallertgewebe epitympanales LIX, 541, 582.
- peritympanales LIX, 523, 539, 570.
- tympanales LIX, 541, 582.
- Gallina domestica* LIV, 557.
- Gallus domesticus* LVI, 420.
- Galvanotaxis LIX, 107.
- Galvanotropismus LIX, 107.
- Gametoschizont LIX, 330.
- Gang des *Carcinus Maenas* LI, 426.
- Jakobson'scher LV, 466.
- Santorini'scher LII, 775.
- — LVI, 292.
- Stenon'scher LVI, 543.
- Wharton'scher LVIII, 10, 76.
- Wirsung'scher LII, 775.
- — LVI, 551.
- Wolf'scher LVI, 18.
- Ganglien, Bildung ders. LVII, 753.
- Ganglienstrang, Beziehung zwischen diesem, Medullarstrang und Epidermis LVII, 386.
- Ganglienzellen, multipolare LVII, 630.
- unipolare LVII, 630.
- Ganglienzellen LVI, 109.
- LV, 486.
- , Ueber die Lage der — im Herzen der Säugetiere LIII, 63.
- in der Schlundmuskulatur von Pulmonaten LVII, 622.
- , Einige Beobachtungen über den Bau der Spinal- — bei einem viermonatlichen menschlichen Embryo LIX, 459.
- , vitale Granulafärbung LV, 486.
- , Wirbeltiere Neurofibrillen in den — und ihre Beziehung zu den Golginetzen LV, 513.
- von *Carcinus Maenas* LI, 401.
- , Neurofibrillen in denselben LV, 515.
- , Primitivfibrillen derselben LV, 537.
- , sympatische LVII, 623.
- in der Schlundmuskulatur von Pulmonaten LVII, 622.
- Ganglion Nervi optici LVII, 579.
- des optisch. Daches LIII, 125.
- exiguum LVI, 82.
- intercaroticum LVI, 82.
- isthmi LVIII, 670.
- Ganoiden, LVI, 149.
- Ganoidrippen LI, 489.
- Gartenschläfer LX, 332.
- Gastropacha neustria* LIII, 166.
- Gastropoden LIV, 292.
- Gastrulation LV, 195.
- Gaumenfortsatz LVIII, 430.
- Gaumenleiste LVIII, 450.
- Gaumenrinne LV, 473.
- LVIII, 472.
- Gebilde, färbbares, innerhalb der Zelle, über die Abhängigkeit der Färbung desselben LVI, 895.
- Sertolische, LIII 187.

- Gefässbahnen der Milz, zuführende und zuleitende, Verbindungsarten zwischen denselben LVIII, 332.
- Gefässe der Hatteria LVI, 837.
- Gefässendothel LV, 274.
- Gefässlumina der Nebenniere LX, 425.
- Gefässsystem, Anlage desselben LVI, 477.
- , geschlossenes, zum Nachweis desselben in der Milz LIX, 93.
- der menschlichen Milz LVIII, 247.
- Gefässwandzellen LVI, 90, 122.
- Geflecht Auerbach'sches LIII, 238.
- intercelluläres LIII, 273.
- Meissner'sches LIII, 238.
- subpericardiales LIII, 245.
- Gehirn der Hatteria punctata LI, 587.
- , Beteiligung desselben an der Bildung der Riechgrube LV, 608.
- als reflexhemmendes Organ LI, 443.
- Gehirnhüllen der Hatteria punct. LI, 595.
- Gehirnnerven der Hatteria LVI, 825.
- der Hatteria punct. LI, 596.
- Gehörgang, äusserer LIX, 606.
- , —, Entwicklung desselben LIX, 471.
- , —, Entwicklung LIX, 583.
- , —, der Hatteria LVI, 830.
- , —, Haut desselb. LIX, 617.
- , definitiver LIX, 606.
- , definitiver, knorpeliger Teil desselben, LIX, 617.
- , intermediärer Teil LIX, 605, 617.
- , Lichtung LIX, 606.
- primärer LIX, 590, 615, 618.
- secundärer LIX, 616.
- Gehörgangfurche, schiefe LIX, 605.
- Gehörgangplatte LIX, 527.
- epitheliale LIX, 593, 616.
- , Lumen derselben LIX, 606.
- , nicht tympanaler Teil LIX, 616.
- , Spaltung LIX, 619.
- , tympanaler Teil LIX, 616.
- Gehörgrübchen LV, 607.
- Gehörkapsel, knöcherne, der Hatteria LII, 309.
- , menschliche LV, 357, 365, 376, 385, 401.
- Gehörlabyrinth, membranöses d. Hatteria LII, 315.
- Gehyra oceanica, ausgewachsene Lunge LX, 612.
- — —, embryonale Lunge LX, 612.
- Genus *Coronilla* van Benedens LVIII, 191.
- Geotaxis LIX, 107.
- Geotropismus LIX, 107.
- Geruchsgrübchen der Eidechse LV, 588.
- Geruchsorgan, Bildung durch Wucherung der Sinnesplatte LX, 400.
- , Entwicklung durch Zellwucherung LX, 399.
- der Hatteria LII, 301.
- der Selachier, Entwicklung desselben LX, 386.
- , Zeit der ersten Entstehung LX, 398.
- Geruchsorgane der Hatteria LII, 347.
- Geruchsplatte, erste Anlage LVIII, 412.
- , — LVIII, 432.
- knospenförmige LVIII, 469.
- Gerüstsubstanz der Lymphdrüsen beim Pferd LX, 472.
- Geschmacksorgane d. Hatteria LII, 347.
- Geschlechtsnervensystem LVI, 10.
- Geschlechtsorgane männliche LIII, 406.

- Geschlechtsorgane d. Hatteria LII, 345.  
 —, männliche, Anatomie und Physiologie derselben LII, 856.  
 Geschlechtszellen, grosse LVI, 10.  
 Geschwindigkeit der Eientwicklung, Einfluss verschiedener Temperaturgrade auf dieselbe LI, 358.  
 Gestalt des Ventriculus terminalis LII, 501.  
 — des Vorderhorns beim Kaninchen LVII, 491.  
 Gestaltungsregeln von Roux, beim befruchteten Ei LX, 60.  
 Gestaltungstrieb, innerer LVI, 318.  
 Gestell f. Objectträger bei Reihenschnitten LIX, 457.  
 Gewebe, angiotheliales LI, 9.  
 —, Beteiligung derselben an der Anlage der Schlundtaschen LVII, 732.  
 —, — an der Ausbildung der Schlundtaschen LVII, 732.  
 —, — am Wachstum d. Riechgrübchens LV, 603.  
 —, elastisches LVII, 110.  
 —, elastisches, des Haarbalgs der Sinushaare LVII, 128.  
 —, elastisches, der Milz, LV, 151.  
 —, embryonales LV, 603.  
 —, interglanduläres LVIII, 706.  
 —, interstitielles d. Retrolingualis LVIII, 110, 115.  
 —, —, d. Submaxillaris LVIII, 35, 77.  
 —, perilymphatisches, Bau feinerer LVIII, 138.  
 —, — der pars inferior labyrinthi LVIII, 141.  
 —, — der pars superior labyrinthi LVIII, 138.  
 —, unfertiges, embryonales LVII, 639.  
 —, subepidermoidales LIV, 7.  
 Gewebsflüssigkeit LVII, 2.
- Gianuzzische Halbmonde LIX, 408.  
 Giërcke'sche Zellen LIX, 449.  
 Gigantoblasten LIV, 24, 79.  
 Gigantophagocyten LI, 159.  
 Gitterfasern LIV, 256.  
 Gitterstrukturen pericellulöse LVII, 157.  
 Glandula intraorbitalis d. weissen Ratte LVI, 535.  
 — submaxillaris, Ausscheidung von indig-schwefelsaurem Natron LIX, 407.  
 Glandulae clausae LIII, 308.  
 — odoriferae LIII, 213.  
 — parathyreoideae LII, 707.  
 Glandule carotidienne LVI, 87.  
 — thymique LVI, 87.  
 — — LII, 730.  
 Glashaut d. Spürhaare LVII, 136.  
 Glaskörper d. Hatteria LII, 286.  
 Glia LV, 23.  
 Gliazellen LII, 547.  
 Glomus caroticum LVI, 92.  
 — coccygaeum LIII, 78.  
 Glossopharyngeus, Durchschneiden desselben LVII, 252.  
 Glutin LX, 69.  
 Glutinchondrin LX, 70.  
 Glycuronsäure LX, 70.  
 Goldkarpfen LI, 820.  
 Golgi's Kanälchennetz LIX, 462.  
 Golginetze LV, 521.  
 Golgi'sche Methode LIX, 211.  
 — Zellen LIX, 217.  
 Gold'sche Bündel LIX, 423, 436, 440.  
 Gold'scher Stabkranz LI 824.  
 — Strang LIX, 431.  
 Gonorrhoeoëiter LVI, 875.  
 Gonyocephalus LII, 337.  
 Gordius LX, 228.  
 — aquaticus LI, 747, 752.  
 — littoralis, Müller, Dania LX, 225.  
 — guatamalensis LX, 228.  
 — tolosanus, Duj. LVI, 373.

- Gouttière Hepatique LIX, 64.  
 Granula LII, 548.  
 —, Altmann'sche LVIII, 45.  
 —, — LVI, 601.  
 —, Altmannii LIII, 495.  
 —, — LI, 76, 716.  
 —, Arnold's LV, 527.  
 —, der Leberzellen LV, 566.  
 Granulabildungen, vitale LVIII, 508.  
 Granulationen, acidophile LIV, 509.  
 —, basophile LI, 722.  
 —, eosinophile LVI, 158.  
 —, neutrophile LIV, 503.  
 —, spezifische LVI, 895.  
 —, — LVI, 157.  
 Granulazellen LVIII, 509.  
 Granoplasma LIII, 519.  
 Grau, nervöses LVII, 156.  
 Greffe heteroplastique LII, 85.  
 Grenzsicht, Flechsig'sche LIX, 420, 441.  
 Grosshirngefässe LV, 580.  
 Grosshirnrinde LV, 529.  
 Grottenmolch LII, 646.  
 Grundsubstanz und Kittsubstanz LVII, 1.  
 —, basophile LVII, 6.  
 Grundsubstanzen, Entstehungsweise LVII, 2.  
 Grundsubstanzgewebe LVII, 6.  
 Grundsubstanzzellen LVII, 7.  
 —, bewegliche LVII, 7.  
 —, fixe, LVII, 7.  
 Gürteltier LIV, 581.  
 Gymnocrotaph LI, 516.  
 Gymnophionen LII, 346.  
 —, Entwicklung der Nasenhöhle LVIII, 411.  
 Gyrodus LII, 267.
- H**
- Haarbalg der Sinushaare, elast. Gewebe ders. LVII, 128.  
 Haarbüschel der Epithelzellen im Vas epididymis des Menschen LIX, 32.  
 —, Ursache der Umwandlung LIX, 50.  
 Haare, Einfluss des Schneidens ders. auf ihr Wachstum LI, 691.  
 Haarfollikel LII, 164.  
 —, rudimentäre LII, 164.  
 Haarpapille, Bemerkungen über die Blutgefässe ders. LVII, 128.  
 —, Ueber das elastische Gewebe des Haarbalgs der Sinushaare nebst Bemerkungen über die Blutgefässe der — LVII, 128.  
 Haarpigment LVIII, 169.  
 Haarscheide LII, 164.  
 Halbmonde, Giannuzzi'sche LII, 736.  
 —, — LIX, 408.  
 —, Stöhr'sche LII, 757.  
 Halbmondzellen der Submaxillaris LVIII, 26.  
 —, der Submaxillaris LVIII, 74.  
 Halmaturus LIV, 581.  
 Halonen LIV, 6.  
 Halsganglion, sympathisches LVI, 113.  
 Halsmark LIX, 418, 430, 434.  
 —, mittleres LVII, 498.  
 —, oberes LVII, 494.  
 —, unteres LVII, 498.  
 Halsmuskel der Hatteria punct. LI, 538.  
 Halswirbel LI, 483.  
 Hammer-Ambossfalte Laterale LIX, 558, 567, 582.  
 Hammerbandfalte, äussere LIX, 558, 565, 582.  
 —, obere LIX, 556, 567, 581.  
 —, vordere LIX, 547, 565, 581.  
 Hammereindruck LIX, 505, 577.  
 Hammergrifffalte LIX, 545, 564, 579.  
 Hammer-Schuppenfalte, obere LIX, 563, 567, 585.

- Hammer-Schuppenfalte  
   untere LIX, 561, 567, 582.
- Harnblase Innervation LV, 1, der  
 Säugetiere 6.
- Harnorgane der Hatteria LII,  
 345.
- Harnsäure, Untersuchung über  
 die Ausscheidung der — durch  
 die Nieren LIII, 218.
- Harnsamenniere, Ausführwege  
 beim Frosch LI, 213, 857.
- Härtungsflüssigkeiten LII,  
 202, Alcohol 219, Chromsäure  
 221, Salpetersäure 222, gesättigte  
 Pikrinsäure 224, Sublimat 224,  
 Formalin 227, Osmiumsäure 228,  
 Kalium bichromicum 229, Alco-  
 holessigsäure 233, Chromessig-  
 säure und Sublimatessigsäure 234,  
 zweifache Mischungen ohne Essig-  
 säure 235, drei- bis vierfache  
 Mischungen ohne Essigsäure 236,  
 mit Essigsäure 238.
- Hatteria, Entwicklungsgeschichte  
 LVI, 747, Skelettsystem LVI,  
 747, Schalleitender Apparat 826.
- Hatteria punctata, Beiträge  
 zur Anatomie der — LI, 481,  
 Knochenlehre 483, Muskellehre  
 535, Nervenlehre, Rückenmark  
 585, Gehirn 587, peripheres  
 Nervensystem 596, Spinalnerven  
 622, — der hinteren Extremität  
 und der Kloakengegend 635,  
 Homologie der Extremitäten 647,  
 Nachtrag 690.
- , Nachtrag zur Lehre der Ein-  
 geweide der — LI, 764, Weibl.  
 Geschlechtsorgane 764.
- , Beiträge zur Lehre von den  
 Sinnesorganen LII, 268, Sehorgan  
 269, Geruchsorgan 301, Gehör-  
 organ 307.
- , ausgewachs. Lunge LX, 613.
- , embryonale Lunge LX, 614.
- Hauptaxe des Eies LV, 195.
- Hauptkern, Trigeminus LIX, 276.
- Hautathmung LII, 155.
- Haut, Bau des Rete Malpighi in  
 der — der männlichen und weib-  
 lichen Geschlechtsorgane LIII,  
 403.
- des äusseren Gehörganges  
 LIX, 617.
- Hautdrüsen LVII, 614.
- Hautknochen LVI, 854.
- Hautpigment LVIII, 169.
- Held'sche Neurosomhaufen  
 LV, 526.
- Heliotaxis LIX, 107.
- Heliotropismus LIX, 107.
- Helix hyoidalis LIX, 589, 613.
- mandibularis LIX, 613.
- pomatia LI, 840.
- pomatia LIV, 110.
- Helminthen, Beobachtungen an  
 denselben LVIII, 182.
- Hémorrhagies capsulaires  
 LIV, 441.
- Henle'sche Faserhaut der Milz,  
 innere LVIII, 308.
- Schleifen LII, 693.
- Henle'sches Rohr LVII, 830.
- Hensen'sche Stützzellen LIX, 165.
- Herstellung, einfache von  
 Celloidin-Serien LVI, 740.
- Herzganglien, feinerer Bau der  
 — des Menschen u. der Säugetiere  
 LIII, 237.
- Herz, Histogenese LX, 141.
- Herzmuskel LII, 770.
- , Entwicklung LX, 140.
- , Entwicklung der — der Säuge-  
 tiere LX, 111.
- Herzmuskelgewebe, Entwick-  
 lung des — des Säugetiere LX, 111.
- Herz, Nervenendigungen sensiblen  
 im — der Säugetiere LII, 44.
- , Säugetiere, Ganglienzellen  
 LIII, 63.
- Herzzellen, granulierte LIII, 75.
- Heterakis aegyptiaca LX, 218.
- maculosa Rud. LVIII, 186.
- Heuschrecken LI, 753.

- Hilus lienis LVIII, 304.  
 Hilusstroma der Pferdedrüsen LX, 473.  
 Hinterhirn der Hatteria punct. LI, 588.  
 Hinterhörner im Rückenmark des Orang-Utan LIX, 426, 434, 437, 443.  
 Hinterhornzellen, grosse LV, 519.  
 Hinterstrang, Collateralen dess. LVII, 524.  
 Hinterstränge, Collateralen ders. LVII, 506, 508.  
 Hinterzellen und deren Nerven LVII, 412.  
 —, Rohon'sche LVII, 385.  
 Hirn, Zur Entwicklung des Mittelhirns der Knochenfische LIX, 295.  
 Hirngefässe, Ueber die Veränderungen der — in verschiedenem Alter LIX, 258, Untersuchungen am Menschen 258, Untersuchungen an Tieren 266.  
 Hirnkapsel, laterale LI, 504.  
 Hirnnerven, sensible, Fasern aus dens. LVIII, 670.  
 Hirnrindenregion, Beitrag zur Kenntnis der motorischen — LVII, 151.  
 —, motorische LVII, 174.  
 Hirudo LV, 303.  
 — LX, 171.  
 Histochemie, Zur — des Knorpels LVIII, 483.  
 Histogenese der Flimmerzellen LVII, 187.  
 — der Spermien von Phalangista vulpina LX, 232.  
 — des Herzens LX, 141.  
 — des peripheren Nervensystems bei Salmo salar. LVII, 354.  
 —. Studien der Flimmerzellen, Teil I. — der Flimmerzellen LVII, 184.  
 —, Ueber die — des peripheren Nervensystems bei Salmo salar LVII, 354, Beschreibung der Stadien 357, Verlauf der Entwicklung im Einzelnen. 1) Die Beziehungen zwisch. Medullarstrang- und Epidermis 386, die Bildung und Differenzierungen der Spinalganglien und der sensiblen Wurzeln 392, Neuroblasten u. Stützzellen 399, die motorischen Wurzeln der Spinalnerven 407, die Hinterzellen und deren Nerven 412, Zusammenfassung der Ergebnisse und Schlüsse 433.  
 —, Weitere Bemerkungen über das Korpelgewebe der Cyclostomen und seine — LI, 452.  
 Histologie, Zur — des äusseren Genitales LIV, 602.  
 — des Genus Mermis LIII, 163.  
 — der Kiemen bei Fischen und Amphibien, LX, 157, Lamellen der Kiemenblätter beim Barsch 157, Kiemenlamellen der Neunaugen 161, des Axolotl und des Proteus 163, Analogie mit Crustaceen 167, intercelluläre Räume im Epithel der Kiemenblätter beim Barsche 169, Nachtrag 173.  
 — Der Milchdrüse LIV, 1, Abstammung des intralobulären Stromes der Milchdrüse der Kuh von Waldeyer'schen Flügelzellen 1, die Lymphbahnen der tätigen Milchdrüse der Kuh 9, die Epithelien der Milchdrüse der Kuh und ihre Teilung 12.  
 —, Beitrag zur — der funktionierenden Milchdrüse LVIII, 581.  
 —, Beitrag zur — des Muskelmagens d. Vögel, LVII, 653.  
 — der Nebenniere des Menschen LX, 414.  
 —, Beiträge zur — der Speicheldrüsen. Ueber die Ausscheidung des indig-schwefelsauren Natrons durch die Glandula submaxillaris LIX, 407.

- Histologie, Beiträge zur — und Physiologie der Speicheldrüsen LVIII, 1.
- — des elektrischen Lappens bei *Torpedo marmorata* LX, 181.
- Histologische Untersuchungen über den Einfluss des Schneidens der Haare auf ihr Wachstum LI, 691.
- Hoden, fettartige Körper LII, 857, 866.
- —, Fett in dens. LII, 866.
- —, Zwischenkörperchen LII, 857.
- Hodensubstanz, interstitielle LII, 857, 861.
- Höhle, Jakobson'sche LV, 457.
- Hohlräume, epitheliale, Verteilung der Mitosen in dens. LV, 610.
- Homologie der Extremitäten der *Hatteria punctata* LI, 647.
- — der Muscheln LX, 360.
- — der Muscheln des Menschen und der Säugetiere LX, 339.
- Homocytotaxis LIX, 120.
- Homotaxis LIX, 113.
- Homotropismus LIX, 113.
- Horizontalzellen, Schicht ders. LVII, 573.
- Hornblatt LVII, 738.
- Hornkern, Waldeyer'scher LIX, 427.
- Hornsicht LVII, 658, 672.
- — der menschl. Epidermis, Bau ders. LVII, 583.
- — der menschl. Epidermis, Fettgehalt ders. LVII, 583.
- Hornwand LVII, 775.
- Hornzellenfett LVII, 613.
- Hornzelle, flüssige LVII, 595.
- Hornzellen, Lebenstätigkeit ders. LVII, 597.
- Howship'sche Lakunen LVIII, 602.
- Hoyer'sche Schleimfärbung modifizierte mittelst Thionin LVIII, 678.
- Hühnerembryonen, junge, Papillen der *Conjunctiva sclerae* ders. LVII, 676.
- Huhn, Entwicklung des Labyrinthes LIX, 354.
- Hülsenarteria der Milz, Bau der Wand LVIII, 306.
- Hüsenzellen, Natur derselben LVIII, 307.
- Humerus d. *Hatt. punct.* LI, 526.
- Hund LVII, 177.
- —, Drüsen d. Kehlkopfes LII, 745.
- —, Gerüstsubstanz der Lymphdrüsen LX, 497.
- —, mikroskop. Untersuchungen d. Lymphdrüsen LX, 497.
- —, normale Speicheldrüsen dess. LVIII, 15.
- Hyaliner Knorpel, Kapseln u. Chondrinballen LX, 66.
- Hyaloiden LX, 529.
- Hydatina sarta LIII, 457.
- Hydra grisea viridis und fusca, Verwachsungsversuche zwischen diesen, LII, 86.
- Hydrosaurus marm. LII, 342.
- Hydrotaxis LIX, 107.
- Hydrotropismus LIX, 107.
- Hymenoptera LIII, 151.
- Hyoidbogen LVII, 724.
- Hypapophyse LI, 483.
- Hyperkolloidose LVII, 650.
- Hypoblast, secundäres LII, 803.
- Hypoderma, *Diana* LV, 147.
- Hypogeophis rostratus LVIII, 412.
- Hypoglossuskern, kleinzelliger LIV, 569.
- Hypoischium LVI, 794.
- Hyponomenta LIII, 166.
- Hypophysis LII, 694.
- — cerebri, normale und pathologische, des Menschen LVII, 632.
- Hypophyse, Entwickl. b. Säugern LI, 55.
- Hypophysisfenster LVI, 801.
- Hypophysensäckchen LI, 64.
- Hypophysenschläuche LI, 55.

## I

- Ichthyonema globiceps, Rud.  
 LX, 223.  
 Ichthyophis glutinosus LII,  
 154, 318.  
 Idiozom LIV, 344, 383.  
 Idiozoma LIII, 22, 23.  
 Idiozomen LIX, 132.  
 Igel LX, 573.  
 — LVII, 179.  
 — LX, 332.  
 —, Beitrag zur Kenntnis der  
 motorischen Hirnrindenregion des  
 —s LVII, 179.  
 Iguanidae LII, 337.  
 Ileum LI, 530.  
 — der Hatteria LVI, 793.  
 Ilex Conidetii LIII, 16.  
 Implantation, Die — des Eies  
 der Maus in die Uterus-Schleim-  
 haut und die Umbildung derselben  
 zur Decidua LVII, 528.  
 Impressio cochlearis LIX,  
 485, 577.  
 — manubri LIX, 505, 511, 577.  
 Incisura intertragica LIX,  
 596, 615.  
 — osteosphenoidea der  
 Hatteria punctata LI, 407.  
 — Santorini LIX, 605.  
 — tensoris tympani LIX,  
 503, 577.  
 Incisuren, Schmidt-Lautermann-  
 sche LIV, 145.  
 Infusor, Ueber das Verhalten der  
 Kerne bei der Konjugation des  
 —s Colpidium colpoda St. LIV, 95.  
 Injection, vitale, in die Vena  
 jugularis LIII, 252.  
 Innervation der Harnblase LV, 1.  
 — der Säugetierblase LV, 6.  
 Inotagmen, Engelmanns LVII, 185.  
 Inotagmenreihen, Herzmuskel  
 LX, 150.  
 Inscriptiones elasticae,  
 LVII, 114.  
 Inscriptiones elasticae, über  
 die in den Sehnen der schiefen  
 Bauchmuskeln bei Fröschen vor-  
 kommenden — LVII, 102.  
 Insectivora LVIII, 153, 173.  
 Insectivoren LVI, 4.  
 —, deutsche und schweizerische,  
 das braune Fettgewebe derselben  
 LX, 291.  
 Insekten, Bau der quergestreiften  
 LV, 144.  
 Inseln, Langerhans'sche LVI, 491.  
 —, —, mikrochemische Be-  
 sonderheiten derselben LIX, 286.  
 Integument, Deutung der epi-  
 dermoidelen Organe im — der  
 Säugetiere LII, 156.  
 Intercellularbrücke LVI, 185.  
 Intercellularbrücken LIV, 14.  
 Intercellularsubstanz LVI,  
 196.  
 — LVIII, 484.  
 — im Knorpel LX, 67.  
 Interferenzkranz LIII, 228.  
 Interfibrilläre Kittsubstanz  
 LVII, 3.  
 Interfibrillarsubstanz LVII,  
 787.  
 Interfibrillarmasse LIV, 15.  
 Interlamellarräume LVII, 603.  
 Interstitielles Gewebe der  
 Retrolingualis LVIII, 63, 91.  
 Intervestebrialspalte LVI,  
 748.  
 Interzellularbrücken LVII, 2.  
 Interzellularfasern LVII, 7.  
 Intercellularsubstanzen  
 LVII, 1, 3, 7.  
 Intracelluläre Fadennetze  
 LX, 686.  
 Intracellulärkörper LI, 252.  
 Inuus cynomolgus LIV, 527.  
 Inuus Rhesus LII, 681.  
 Inversion embryonnaire  
 LVII, 275, 324.  
 Iris der Hatteria LII, 289.  
 — stroma 544.

Irisstroma reticulares

LX, 551.

Ischyodus LII, 263.

Isotropie der Eisubstanz LX, 58.

Isthmus tympani LIX, 553,  
581.

## J

Jakobson'sche Drüse LX, 381.

Jakobson'sches Organ LVIII, 452.

— — — LX, 348. 381.

Janella schauinslandii LI,  
840.

— verrucosa LI, 583.

Janellen, Ueber regenerative  
Amitose, Degenerations-Erscheinungen  
und Phagocytose in den  
Atemröhren der — LI, 839, Janella  
schauinslandii 840, Aneitella berghi  
851.

Janus cristatus, Delle Chiaie  
LIX, 181.

Janusgrün LV, 565.

Jugale superius der Hatteria  
punctata LI, 500.

— inferius der Hatteria punctata  
LI, 501.

## K

Kälte, Einfluss ders. auf Zelle u.  
Kernteilung LI, 322.

Kalkknollen LVI, 798.

Kammer, feuchte LV, 203.

Kanälchennetz, Golgis LIX, 462.

Kaninchen LV, 573.

— LVII, 181; LVIII, 594.

—, Drüsen des Kehlkopfes  
LII, 752.

—, Gestalt des Vorderhorns LVII,  
791.

—, Die Morphologie des Blutes  
des — im Fötalzustande und in  
den ersten Lebenstagen LVII, 335.

Kaninchen, Untersuchungen über d.  
Centralnervensystem des — LVII,  
488.

—, Tubarepithel des — LVII, 187.

—, Beitrag zur Histologie der  
funktionierenden Milchdrüse des  
— LVIII, 594.

—, Anlage und Homologie der  
der Muscheln LX, 341.

—, Pankreas-Entwicklung des —  
LVII, 278.

—, Placenta LI, 68.

—, Muschelbildung LX, 341.

—, neugeborenes, Nase LX, 351.

—, Niere dess. LII, 659.

—, Nierenbecken dess. LII, 671.

Kaninchenplacenta, erste Ent-  
wicklungsstadien LVI, 699.

—, Zur Kenntnis des feineren  
Baues der — LI, 68.

Kapsel, Bowmann'sche LII, 664,  
LVII, 835.

Kapselraum, Bowmann'scher  
LIII, 172.

Karyokinese LVII, 740.

Karyolyse LIII, 335.

—, LIV, 24.

Karyomeren LV, 329.

Karyopyle LII, 675.

Karyosomen LVII, 85.

Karyotaxis LIX, 114.

— LIX, 130.

—, negative LIX, 130.

—, polare LIX, 133.

Karyotropismus LIX, 131.

Kastschenko's oberes Ohrgrüb-  
chen LIX, 587.

Katze LVII, 178.

—, Beitrag zur Kenntnis der  
motorischen Hirnrindenregion der  
— LVII, 178.

—, Drüsen d. Kehlkopfes LII, 749.

—, Pankreasentwicklg. LVII, 313.

—, Thränendrüse LVIII, 504.

Kaumuskeln der Hatteria punct.  
LI, 537.

Kehlkopf, Ossification LIX, 220.

- Keimbläschenverdoppelung LIX, 359.
- Keimblatt, äusseres LVII, 748.
- , mittleres LVIII, 170.
- Keimblätter, epitheliale LVII, 737.
- , Zusammenstoss LVII, 753.
- Keimblätterumkehr LVII 563.
- Keimwulst, Oellachers LI, 188.
- Keimzentren LIV, 321.
- Kenntnis des Baues der quergestreiften Muskeln der Insekten LV, 144.
- der Chromatophoren, der Cephalopoden LVIII, 1.
- zur — der Erythrocytenbildung LX, 261.
- der Milchsekretion, Beiträge über dieselbe LI, 711.
- der motorischen Hirnrindenregion Beitrag z. selb. LVII, 151.
- der phagocytären Organe bei den parasitischen Nematoden LV, 488.
- Keratin LVII, 766.
- Keratohyalin LVII, 775.
- , Beziehungen z. Verhornungsprozess LVII, 784.
- , Entstehung LVII, 780.
- Keratohyalinzellen LVII, 770.
- Kern, accessorischer, des Trigoniniums LIX, 270.
- Kerne, Achsenlage LIX, 677.
- Kernbilder LX, 692.
- Kerne, bläschenförmige LVI, 7.
- Kern, Burdach'scher LIV, 519.
- , Deiters'scher LVII, 152.
- des reifen Eies LVIII, 404.
- Kernfragmentation LI, 128.
- Kernmembran, Faltungserscheinungen LVII, 165.
- Kernkappe LI, 283.
- Kerne, Kölliker'sche LV, 264.
- der menschl. Sehstäbchenzellen über das Fehlen der Querschichtung in ders. LI, 704.
- , motorische der Medulla, Zellen ders. LV, 519.
- Kerne der motorischen Nervenendigungen LVI, 334.
- Kernnester LVIII, 293.
- Kernreste bei Malaria LIX, 323.
- Kernsafteweiss LV, 98.
- Kern der Spermatogonien, Veränderungen ders. bis zur Spermatocyten-Teilung LI, 247.
- bei den Spermien von *Phalangista vulp.* LX, 257.
- Kernspindel, Einfluss d. Schwerkraft auf dieselbe LX, 23.
- Kerne, Stilling'sche LIX, 419, 431, 434, 436, 440.
- Kernstrukturen LV, 94.
- , Zur Kritik ders. LX, 681.
- Kernteilung, direkte LI, 734.
- , —, LIX, 647.
- , Einfluss der Kälte auf dies. LI, 322.
- im embryonalen Muskelgewebe LX, 133.
- Kernveränderung, Merkel'sche LIV, 385.
- Kerne, ihr Verhalten bei d. Conjugation des Infusors *Culpidium colpoda* LIV, 95.
- Kernvermehrungserscheinungen bei Schizonten LIX, 339.
- Kernwandhyperchromatose LI, 80.
- Kern und Zellteilung LIX, 647.
- Kieferhöhle LVIII, 457.
- Kiemenathmer LVII, 751.
- Kiemenblätter des Barsches, intercelluläre Räume im Epithel derselben LX, 169.
- , Lamellen derselben b. Barsch LX, 157.
- Kiemenbogen LVII, 714.
- Kiemen, Entwicklung derselben bei den Knochenfischen LX, 428.
- Kiemenfurchen, äussere, primäre LVII, 730.
- , wahre äussere LVII, 731.
- Kiemenfurchen, secundäre LVII, 732.

- Kiemengefäß LVII, 736.  
 Kiemen, Histologie bei Fischen und Amphibien LX, 157.  
 Kiemenlamellen des Axolotl und Protens LX, 163.  
 —— der Crustaceen LX, 167.  
 —— der Neunaugen LX, 161.  
 Kiemenspalte LVII, 728.  
 Kiemenspalten, Anlage derselb. LVII, 727.  
 ——, Durchbrechen ders. LVII, 754.  
 Kiemenspalte, erste LVII, 719.  
 ——, Umgestaltung ders. LVII, 727.  
 Kiementasche LII, 728.  
 ——, dritte LVII, 714, 719.  
 ——, erste LVII, 711, 713.  
 Kiementaschen, Zahl LVII, 706.  
 Kinocentrum LII, 697.  
 Kinoplasma, aktivirtes LVII, 486.  
 Kittleisten LII, 553, 697.  
 Kittleistennetz LII, 571.  
 Kittlinien LII, 557.  
 —— LIII, 10.  
 Kittmasse LII, 568.  
 Kittring LII, 568.  
 Kittsubstanz LII, 553.  
 —— und Grundsubstanz LVII 1.  
 ——, Herzmuskel LX, 146.  
 Klauenhorn LVII, 777.  
 Klebmasse. Strasser'sche LIII, 229.  
 Kleinenbergs Neuromuskelttheorie LII, 93.  
 Kleinhirn LV, 580.  
 Kleinhirnbahn, direct sensorische LVIII, 670.  
 Kleinhirn d. Selachier LVIII, 675.  
 Kleinhirnhinterstrangsbahn commissurale LVIII 675.  
 Kleinhirn, kleine Zellen der Molekularschicht LV, 517.  
 Kleinhirnrinde LV, 529  
 Kleinhirnverbindungen LVIII, 667.  
 Klinostat von Schultze LX, 42.  
 Kloakengegend der Hatteria punctata, Muskeln ders. LI, 548.  
 Klümpchen, Nissl'sche LIII, 248.  
 Knäueldrüsen LII, 685.  
 Knochen, fertiger LVIII, 485.  
 Knochenfische LVIII, 652.  
 ——, Ausbildung der Blutgefäße LX, 430.  
 ——, Entwicklung der Kiemen derselben LX, 428.  
 —— —— des Mittelhirnes LIX, 295.  
 Knochenmark der Maus LX, 272.  
 Knochenmarkzellen LII, 136  
 Knochenregeneration LVII, 799.  
 Knochenspange LVI, 780.  
 Knorpelbogen LV, 453.  
 Knorpel, extrastapedialer LI, 520.  
 ——, Histochemie LVIII, 483.  
 ——, hyaliner Kapseln u. Chondrinballen LX, 66.  
 ——, Jakobson'scher LV, 449.  
 ——, —— LVI, 808.  
 Knorpelkapseln des hyalinen Knorpels LX, 66.  
 —— LVIII, 484.  
 Knorpelkapsel, primäre LX, 68.  
 Knorpelknochen der Hatteria LVI, 819.  
 Knorpel, Meckel'scher LI, 519.  
 ——, —— LIX, 507.  
 Knorpelplatte, Jakobson'sche LV, 451.  
 Knorpel, Reichert'scher LIX, 507, 604.  
 Knorpelschüssel LV, 472.  
 Knorpelspange LVI, 760.  
 Knorpelstäbe LVI, 760.  
 Knorpel, subepithelialer LII, 296.  
 Knorpelzellen LII, 149.  
 —— LV, 481.  
 —— LVII, 818.  
 ——, Membranen LX, 66.  
 Kölliker'sche Longitudinalbündel LIX, 420.  
 Kontaktmetamorphose LVI, 799.

- Kopfhaut LIV, 83.  
 Kopfhöhlen LVII, 229, 259.  
 Kopfkappe LIV, 347.  
 — der Spermien bei Phalangista  
 vulp. LIX, 258.  
 Kopfskelett der Hatteria punct.  
 LI, 492.  
 Körbe, Schultze'sche LII, 273.  
 Korbzellen LI, 717.  
 Körnchenreihen im werdenden  
 Muskelgewebe LX, 120.  
 Körnchenzellen, Weissmann'sche  
 LIV, 89.  
 Körner, Pfitzner'sche LIV, 108.  
 —, tingirbare LIV, 356.  
 —, van Beneden'sche LIV, 64.  
 —, van Beneden'sche LII, 20.  
 Körnerschicht, äussere LII, 278.  
 —, innere LII, 277.  
 —, innere LVII, 578.  
 Körperchen, Hassal'sche LI, 39.  
 —, Hassal'sche LII, 720.  
 —, körnige LI, 725.  
 —, lichtbrechende Reichels  
 LIII, 319.  
 —, Malpighi'sche LI, 145.  
 —, — LV, 153.  
 —, — LVII, 832.  
 —, — LVIII, 255.  
 —, Malpighi'sches LVIII, 609.  
 —, Nissl'sche LIX, 403.  
 —, Pacini'sche LIX, 629.  
 —, Russel'sche LI, 85, 108.  
 —, Seidel'sche LV, 158.  
 —, lininogenes LVI, 668.  
 Körper, birnförmiger LVII, 623.  
 —, centrosomähnliche LVII, 223.  
 —, fettartige im Hoden LII, 866.  
 —, Flemming-Nissl'sche LIX, 462.  
 —, kegelförmiger LVII, 130.  
 —, intervenaler LIII, 281.  
 —, supragenaler LIII, 282.  
 —, Malpighi'sche LVI, 8.  
 —, postbranchialer LVII, 727, 732.  
 —, schildförmiger LVII, 131.  
 —, Wolff'scher LVI, 17.  
 —, — LVII, 833.  
 Körperpigment LVIII, 168.  
 Krampton'scher Muskel LX, 566.  
 Krankheit, Addison'scher Symptomen complex LVI, 136.  
 Krausenbildung LIII, 326.  
 Krause'schen Endkolben LIX, 635.  
 Kresofuchsin, neuer Farbstoff  
 LVI, 354.  
 Kreuzotter, Sekretionserscheinungen der Giftdrüse LIII, 313.  
 Kreuz, Ranvier'sches LIII, 259.  
 Krümmung, hufeisenförmige  
 LVII, 287.  
 Kröte, LII, 876.  
 —, californische LII, 420.  
 Kronenmatrix LVII, 780.  
 Krypten, Lieberkühn'sche LII, 644.  
 Krystalloide, Nägelis LIX, 467.  
 Kühnes Neurokeratin LVII, 666.  
 Kuh, Lactation LI, 743.  
 —, Beitrag zur Histologie der funktionierenden Milchdrüse der  
 — LVIII, 595.  
 —, Zur Histologie der Milchdrüse  
 LVI, 1.  
 Kupffer'sche Blase, Bedeutung der — in der Entwicklung der Knochenfische LII, 793.  
 —, einf. Schleimdrüsen LVIII, 700.  
 —, Riechplatte LVIII, 641.

## L

- Labyrinth, Zur Entwicklung des  
 — beim Huhn LIX, 354.  
 Labyrinthbläschen LVIII, 649.  
 Labyrinthkapsel, Pigment  
 ders. LVIII, 163, 167.  
 Labyrinthkerbe LIX, 549.  
 Labyrinthpigment, Das —  
 des Menschen und der höheren  
 Säugetiere nebst Bemerkungen  
 über den feineren Bau des perilymphatischen Gewebes LVIII,  
 134, der feinere Bau des perilymphatischen Gewebes 138, das  
 Labyrinthpigment der höheren

- Säugetiere 142, Morphologie und feinerer Bau des Labyrinthpigments 158, Topographie des Labyrinthpigments 163, die Stellung des Labyrinthpigments zum übrigen Pigment 168, das vergleichend anatomische Verhalten des Labyrinthpigments 172, das mikrochemische Verhalten des Labyrinthpigments 177.
- , endolymphatisches LVIII, 16.
- , endostales LVIII, 163, 164.
- , intermediäres LVIII, 163, 164.
- , mikroskop. Verhalten dess. LVIII, 177.
- , perilymphatisches LVIII, 163.
- , — LVIII, 171.
- , subepitheliales LVIII, 163, 164.
- Labyrinthpigmentzelle LVIII, 159.
- Labyrinthregion der Hatteria LVI, 803, 815.
- Lacerta LI. 520.
- LVII, 739.
- agilis LI, 785.
- — — LVI, 402.
- — —, Pancreasbildung LIX, 89.
- muralis, ausgewachsene Lunge LX, 614.
- — —, embryonale Lunge LX, 615.
- viridis LI, 777.
- vivipara, ausgewachsene Lunge LX, 614.
- — —, embryon. Lunge LX, 615.
- Lacerten LII, 274.
- Längskanal Bidders LIII, 172.
- Längsspaltung der Muskelfibrillen IX, 133.
- Lage der motorischen Nervenendigungen LVI, 334.
- , über die — der Ganglienzellen im Säugetierherz LIII, 63.
- Laichung von Petromyzon LVII, 56.
- Lakunen, Howship'sche LVIII, 602
- Lame interectoplacentaire LI, 115.
- Lames dermigues LIV, 71.
- Lamina cribrosa, Verlagerung ders. LX, 360.
- tympanica fibrosa LIX, 606.
- Langerhans'sche Inseln, Bedeutung der — im Pankreas LVI, 491.
- , Ueber die mikroskopischen Veränderungen des Pankreas nach Unterbindung einzelner Teile und über einige mikrochemische Besonderheiten der — LIX, 286.
- Zellen LVII, 771.
- Langleys hyaline Substanz LVIII, 40.
- Lappen, elektr., des Torpedo marmorata, Histologie desselben LX, 181.
- Larus canus LVI, 280.
- Laubfrosch LII, 876.
- Laufkäfer LI, 754.
- Lebensthätigkeit der Hornzellen LVII, 597.
- Lebergefäßendothelien, Phagoctose derselben LVIII, 576.
- — — LX, 177.
- Leber, menschliche LII, 608, 698.
- Leberzellen LII, 141.
- LX, 674.
- —, Granula ders. LV, 566.
- Leberzellbalken LVIII, 572.
- Leberzellblätter LVIII, 572.
- Legal'sche Spalte LX, 346.
- Lehre von den Sinnesorganen der Hatteria punctata, Beiträge dazu LII, 268.
- Leitband des Spermatozoons LVII, 62.
- Lendenmark LVII, 508.

- Lendensegmente des Rückenmarkes b. Orang-Utan LIX, 444.
- Lenhossek-Jenneguy'sche Hypothese LVII, 201.
- Lepidoptera LIII, 150.
- Leptospondylus LVI, 778.
- Leptothentis LH, 267.
- Lepus cuniculus LVIII, 151.
- timidus LVIII, 151.
- — — LX, 316.
- Leukoblasten LI, 163.
- Leucocyten LH, 136.
- — LVI, 154.
- Leucocytenarten LVII, 339.
- Leucocyteinschlüsse, über die Abhängigkeit der Färbung ders. von dem Leben der Zelle LVI, 877.
- Leucocytenfärbung, Technik ders. LVI, 872.
- , vitale, über das Wesen ders. LVI, 904.
- Leucocyten, mehrkernige LI, 729.
- , Phagocytose derselb. in den Lymphdrüsen und deren Abfuhrwegen LIV, 311.
- Lichtung d. Gehörganges LIX, 606.
- Lieberkühn'sche Drüsen LVIII, 710.
- Krypten LH, 644, 778.
- Lienes accessorii LVIII, 368.
- Ligamentum latum, versprengte Nebennieren desselben LVI, 52.
- incuotis LIX, 573.
- mallei internum LIX, 572.
- pectinatum LH, 289.
- — — LX, 560.
- Limar tergipes LIX, 184.
- Lininogenkörperchen, äquatoriales LVI, 673.
- , äusseres LVI, 669.
- Linsenbläschen LVIII, 649.
- Linseneinstülpung LV, 607.
- Liparis chrysoorrhoea LIII, 166.
- Liparis dispar LIII, 446.
- Lissauer'sche Randzone LIX, 420.
- Lissauer'sche schwammige Substanz LIX, 427.
- Lobus electricus des Zitterrachsens LV, 517.
- Loligo marmorata LIII, 17.
- officinalis LIII, 16.
- vulgaris LIII, 4.
- Longitudinalbündel, Kölliker'scher LIX, 420.
- Luftsack claviculärer LX, 603.
- Lumbricus, Darmepithel LVII, 196.
- , Mundepithel LVII, 208.
- terrestris LIII, 196.
- Lumen d. Gehörgangplatte LIX, 606.
- Lungenalveolen, Existenz von normalen Poren zw. dens., über die Zweifel Viet. v. Ebners daran LV, 337.
- Lungenbläschen, primäre LX, 462.
- , primäre LX, 625.
- Lunula LI, 282.
- Lupus vulgaris LVIII, 155.
- — — LVIII, 174.
- Lurch LH, 351.
- Luteinzellen LIII, 552.
- Lutra vulgaris LVIII, 155.
- — — 174.
- Luzula maxima LIII, 446.
- Lymphbahnen d. thätigen Milchdrüse der Kuh LIV, 9.
- Lymphdrüsen, Gerüstsubstanz beim Pferd LX, 472.
- , Keimzentren b. Rind LX, 487.
- , Marksubstanz beim Pferd LX, 479.
- der Maus LX, 270.
- , Parenchym ders. beim Pferd LX, 475.
- , — beim Schwein LX, 491.
- , Phagocytose der Leucocyten in d. Abfuhrwegen ders. LIV, 311.
- beim Pferd, mikroskopischer Bau LX, 471.
- , Rindensubstanz ders. b. Pferd LX, 475.

- Lymphdrüsen, Stützgerüst beim  
 beim Rind LX, 484.  
 —, vergleichende Untersuchungen  
 über den mikroskopischen Bau  
 derselben bei Pferd, Rind, Schwein  
 und Hund LX, 469.  
 Lymphgefässe, ableitende der  
 Lymphscheiden d. Milz LVIII, 302.  
 — der Milz LVIII, 329.  
 Lymphknötchen, Entwicklung  
 ders. beim Meerschweinchen LI, 14.  
 Lymphknötchen im Wurmforts.  
 des Menschen LI, 28.  
 Lymphocyten LIII, 349; LI, 139.  
 —, grosse LIV, 52.  
 Lymphscheide u. Milzknötchen  
 LVIII, 294.  
 Lymphsinus der Milz LVIII, 366.  
 Lymphzellen der Milzgefässe,  
 Durchtritt durch geschlossene  
 Wände LIX, 101.  
 Lyriocephalus LII, 337.
- M**
- Mabuia multifasciata LVIII,  
 376.  
 Macacus cynomolgus LII, 820.  
 — — — LIII, 32.  
 — — — LIV, 312.  
 — — Maurus LIV, 527.  
 — — nemestrinus LVIII, 157.  
 — — rhesus LIV, 312.  
 — — — LVIII, 157.  
 Macronucleus LVII, 28.  
 Macula acustica brasilaris  
 LII, 322.  
 Macula utriculi LVIII, 171.  
 Magen Cylynderepithelien LII, 145.  
 — Fundusdrüsen desselben LII,  
 611.  
 Magenrübchen LII, 626.  
 Magen, Oberflächenepithelien des-  
 selben LVIII, 679.  
 Magenschleimdrüse LVIII,  
 700.  
 Magenschleimhaut, menschliche,  
 Becherzellen derselben LVIII,  
 685.  
 —, —, Vorkommen von Rand-  
 saumepithelien in derselben  
 LVIII, 685.  
 Makrocyten LIV, 41.  
 Makrogamet LIX, 330, 336.  
 Makronucleus LIV, 120.  
 Malaria Parasiten, Biologie der-  
 selben LIX, 328.  
 —, Morphologie LIX, 328.  
 Malaria Studien, LIX, 315.  
 —, Historisches LIX, 315.  
 —, Untersuchungsmethode LIX,  
 315.  
 Malpighi'sche Körperchen LVII,  
 832.  
 — — — LVIII, 255.  
 — — —, elastische Gewebe der-  
 selben LV, 159.  
 Malpighi'sches Bläschen LVIII,  
 302.  
 — Körperchen LVIII, 609.  
 Mandibularhöhle LVI, 474.  
 Mandibularzone LVI, 464.  
 Manis javanica LIII, 585.  
 — — —, Anatomie u. Topographie  
 LIII 585.  
 Margo limitans LII, 276.  
 Markbildung LVI, 764.  
 Markbrücke Waldeyersche LIX,  
 428, 439.  
 Markellipsoide LIV, 159.  
 Markhaltige Nervenfasern,  
 Die Degeneration der — der  
 Wirbeltiere unter hauptsächlichster  
 Berücksichtigung des Verhaltens  
 der Primitivfibrillen LIV, 135.  
 Markscheide LIV, 144.  
 Markscheidendarstellung,  
 Methode LIX, 404.  
 Markscheiden, Ueber Silber-  
 imprägnation der Nervenzellen und  
 der — LIX, 401.  
 Marsupialier LVI, 4.  
 Markstrahlen LII, 661.



- Mensch, Beiträge zur Kenntnis der motorischen Hirnrindenregion des — LVII, 175.
- , Struktur des Protoplasmas der Epidermiszellen LIII, 510.
- , Weitere Mitteilungen über den Bau der Hornschicht der Epidermis des — und ihren sog. Fettgehalt LVII, 583.
- , arterio-venöse Anastomosen an den Extremitätenenden LX, 191 und 201.
- , Bau und Entwicklung der Glandulae parathyreoideae LII, 707.
- , das Gefäßsystem der Milz des — LVIII, 247.
- , der Haarbüschel der Epithelzellen im Vae pididymis des — en. Zugleich ein Beitrag zur Centralkörperfrage in den Epithelien LIX, 32.
- , feinerer Bau der Herzganglien LIII, 237.
- , Kopfhöhlenrudimente LIII, 481.
- , Untersuchungen über die normale und pathologische Hypophysis cerebri des — LVII, 632.
- , Nachtrag und Berichtigung zu meiner Arbeit: „Ueber d. Struktur des Protoplasmas der Epidermiszelle des Menschen“. (Dr. K. (Herxheimer) LIV, 289.
- , Ueber d. normale Oberflächen-Epithel des Magens und über Vorkommen v. Randsaumepithelien u. Becherzellen in d. Schleimhaut des Magens des — LVIII, 685.
- , Das Labyrinthpigment des — und der höheren Säugetiere nebst Bemerkungen über den feineren Bau des perilymphatischen Gewebes LVIII, 134.
- , Anlage und Homologie der Muscheln LX, 339 und 355.
- , Histologie der Nebenniere LX, 414.
- , Nervenendigungen im Muskel LX, 1.
- , Die Nervenendigungen im Bauchfell, in den Sehnen, den Muskelspindeln und dem Centrum tendineum, das Diaphragma beim Menschen und bei Säugetieren LIX, 1.
- , Ueber die Endverzweigungen der Arterien der menschlichen Niere LVII, 117.
- , Pankreas-Entwicklung des — LVII, 318.
- , Entwicklung der Lymphknötchen des Processus vermiformis LI, 28.
- , Phagocyten vitale Färbbarkeit mit Neutralrot LVI, 868.
- , Entwicklung des knorpeligen Primordialcraniums LV, 341.
- , Entwicklungsgeschichte der Pankreasanlagen und der Duodenalpapillen LVI, 291.
- , Einige Beobachtungen über den Bau der Spinalganglienzellen bei einem viermonatlichen menschlichen Embryo LIX, 459.
- , Allgemeine Morphologie des Schlundspalten beim Menschen LIX, 471.
- , die Hypophysis desselben LII, 658.
- , motorische Cortezellen LVII, 166.
- , Dickdarm LII, 644.
- , Dünndarm LII, 644.
- , Drüsen des Kehlkopfes LII, 756.
- , Nebenhoden LII, 675.
- , Parotis LII, 583.
- , Riechwulst IX, 359.
- , Samenblase LII, 672.
- , Schilddrüse LII, 656.
- , Schlundtaschen desselben bis zum Anfange ihrer Rückbildung LIX, 477.
- , Uterus LII, 477.

- Menschliches Skelett, Entwicklung bis zur Geburt LV, 245, des Achsenskeletts 247, des Extremitätenskeletts 269.
- Merit, Mikrosomen dess. LVII, 80.
- Mermis LX, 227.
- albicans v. Siebold LIII, 149.
- nigrescens Duj. LIII, 152.
- crassa v. Linstow LIII, 153.
- contorta v. Linstow LIII, 154.
- paludicola v. Linstow LIII, 154.
- aquatilis Duj. LIII, 155.
- lacunculata Schneider LIII, 156.
- acuminata v. Linstow LIII, 156.
- rotundata v. Linstow LIII, 157.
- elongata Leidy LIII, 157.
- crassicaudata Leidy LIII, 157.
- ferruginea Leidy LIII, 157.
- spiralis Baird LIII, 158.
- praematura v. Linstow LIII, 158.
- acrididorum v. Linstow LIII, 158.
- longissima Fedt. LIII, 158.
- truncatula Rud. LIII, 158.
- robusta Leidy und andere LIII, 150.
- lancinulata, Schneider LX, 227.
- Merocyten LIII, 422.
- Merozoit LIX, 331.
- Mesenchymzellen präretinale LX, 534.
- Mesodermabschnitt LVII, 259.
- Mesoderm, Beteiligung desselben am Wachstum d. Riechgrübchens LV, 603.
- Mesorchium LIII, 168.
- Mesturus LVI, 266.
- Metazoen LIV, 101.
- Methode, einfache u. zuverlässige, Celloidinserien mit Wasser und Eiweiss aufzukleben LV, 415.
- , Kromayer'sche LVI, 210.
- der Markscheidendarstellung LIX, 404.
- Methode, Keisseisen'sche LVI, 617.
- , Rausch'sche LVI, 207.
- der vitalen Färbung LV, 560.
- Methylenblau LV, 564.
- Metrocyten LIII, 325.
- LIV, 34.
- Meynerts Schichten LVII, 171.
- Mikroblasten LIV, 53.
- Microcentrum, .Beziehung zur protoplasmatischen Knospung an Epithelzellen LIV, 59.
- Micronucleus LVII, 28.
- Microsomen LVI, 599.
- Mikrocentrotaxis LIX, 136.
- Mikrocentrum LII, 601, 688.
- LIX, 48.
- Mikrogamet LIX, 330
- Mikrogametocyt LIX, 330, 334.
- Mikroorganismen, intracelluläre, über die Abhängigkeit der vitalen Färbung derselben von ihrem Lebenszustande LVI, 900.
- Mikrosomen des Meriten LVII, 80.
- Mikrosomenstratum LII, 651.
- von Benedens LI, 237.
- Milchdrüse, funktionirende, Beitrag zur Histologie derselben LVIII, 581.
- Milchgebiss, embryonales LVI, 824.
- Milchstauung LI, 725.
- Milzanschwellung LVIII, 361.
- Milzarterie, hülsenartige Wandverdickung derselben LVIII, 360.
- Milzarterienscheide LVIII, 359.
- Milzarterien, Verteilungsmodus derselben LVIII, 291.
- Milzbalken, elastisches Gewebe derselben LV, 164.
- Milzblut, Zurückleitung LVIII, 360.
- Milz, Entwicklung bei den Amnioten LVII, 487.
- , intermediäre Blutbahnen LIX, 104.

- Milzkapsel, elastisches Gewebe derselben LV, 164.
- Milzknötchen LVIII, 296, 303.
- , ableitende Lymphgefäße LVIII, 302.
- u. Lymphscheiden LVIII, 294.
- Milz, Lymphgefäße derselben LVIII, 329.
- der Maus LX, 271.
- , menschliche, Gefäßsystem LVIII, 247.
- , Nachweis des geschlossenen Gefäßsystems LIX, 93.
- Milzparenchym LVIII, 255, 313, 325.
- , Retikulumfasern desselben LVIII, 281.
- und Sinusanfänge LVIII, 322.
- Milzretikulum, leere Maschen LIX, 99.
- Milzsinus LVIII, 255, 256, 285, 296, 313.
- Billroth'scher LVIII, 287.
- , Blutbewegung in demselben LVIII, 287.
- , Inhalt LVIII, 363.
- Milztumor LVIII, 356.
- Milztumoren LVIII, 291.
- Milzvenensinus LV, 152.
- Milz während d. Verdauung LVIII, 290.
- , zuführende Gefäßbahnen LVIII, 291.
- Missbildungen in der Froschei-entwicklung LI, 335.
- Mitochondrien LVI, 566.
- LIX, 117.
- Mitochondrienkörper LVI, 575.
- Mitom LI, 282.
- Mitoplasmamasse LVI, 258.
- Mitosenherde LI, 228.
- Mitose an Muskelfasern LX, 136.
- Mitosen d. Spermatozyten LI, 261.
- , ultraventrikuläre LX, 610.
- ventrikuläre LV, 610.
- , Verteilung derselben in den epithelialen Hohlräumen LV, 610.
- Mitosom, grosses, LVI, 575.
- Mitosoma LI, 282.
- Mitteilungen zur Entwicklungsgeschichte der Eidechse LVII, 706.
- Mittel, kernfeindliche LII, 230.
- , plasmakonservirende LII, 204.
- Mittelhirn der Hatteria punctata LI, 590
- der Knochenfische, Entwickl. LIX, 295.
- Mittelohrraum, Entwicklung desselben LIX, 471.
- Mittelohr, vergleichende Anatomie und Topographie d. Muschel desselben LIII, 558.
- Mittelscheibe, Hensen'sche LV, 145.
- Modifikation d. Trembley'schen Umstülpungsversuches LII, 76.
- Molekularbewegung, Browns LVII, 61.
- Molekularfibrillen LIV, 194.
- , Herzmuskel LX, 150.
- Molekularschicht des Kleinhirns beim erwachsenen Hunde, einige Bemerkungen über myelinhaltige Nervenfasern in derselben LII, 195.
- des Kleinhirnes; kleine Zellen derselben L, 517.
- Molgula occulta LVIII, 627.
- Mollusken LIII, 15à.
- LVI, 590.
- Monorhinen LVIII, 640.
- Monorhinie, primäre, der amphirinen Wirbeltiere, Hypothese derselben LVIII, 640.
- Monotremen LVI, 4.
- Monstreastrocyten LVI, 521.
- Monstrezellen, Weigerts LVI, 521.
- Morner'sche Knorpelfärbung LX, 72.
- Morphologie, allgemeine, der menschlichen Schlundspalten LIX, 471.

- Morphologie, experimentelle, einige Bemerkungen zur — u. Entwicklung d. Blutelemente LII, 137.  
 — des Kaninchenblutes in den ersten Lebenstagen LVII, 335.  
 — — im Fötalzustande LVII, 335.  
 — des Labyrinthpigmentes LVIII, 158.  
 — d. Malariaparasiten LIX, 158.  
 — der Schläfengegend d. *Hatteria punctata* LI, 511.  
 Morphologische Veränderungen der Tränendrüse bei der Sekretion LVIII, 487.  
 Morula LV, 182.  
 Mosaiktheorie LVI, 334.  
 M. Retractor lentis von *Salmo salar* LVIII, 199.  
 Mucin LX, 69.  
 Müller, Johannes, zum Gedächtnisse LV.  
 Mundepithel des *Lumbricus* LVII, 208.  
 Mundhöhlendrüsen LV, 468.  
 Mündungen der Gallen- und Pankreasgänge, über die Schliessmuskulatur derselben LIV, 614.  
 Murmeltier LX, 332.  
 Musca LV, 196.  
 Muschel LV, 473.  
 Muschelbildung beim Kaninchen LX, 341.  
 Muscheln, Homologie derselben LX, 360.  
 — des menschl. Embryo LX, 355.  
 — des Menschen und der Säugetiere, Anlage und Homologie LX, 339.  
 Musculus tensor LIX, 518.  
 — — tympani LIX, 570.  
 Muskel, Axialverzweigungen der Endplatte LX, 10.  
 Muskelemente LII, 765.  
 Muskelfasern LV, 484.  
 — quergestreifte LII, 765.  
 Muskelfibrillen LII, 771.  
 Muskelgewebe LII, 762.  
 —, Kernteilung im embryonalen LX, 133.  
 —, glattes, LII, 762.  
 Muskeln der hinteren Extremität der *Hatteria punctata* LI, 567.  
 Muskelkästchen LII, 765.  
 Muskelkerne, poikilomorphes Stadium LX, 533.  
 Muskelmagen der Vögel, Beitrag zur Histologie LVII, 653.  
 Muskel, Nervenendigungen im menschlichen — LX, 1.  
 Muskeln, quergestreifte, der Insekten, Beitrag zur Kenntnis derselben LV, 144.  
 — der Kloakengegend d. *Hatteria punctata* LI, 548.  
 — des Schwanzes der *Hatteria punctata* LI, 549.  
 Muskelspindeln LVI, 336.  
 — LIX, 17.  
 —, einfache, LIX, 19.  
 —, zusammengesetzte LIX, 21.  
 — Nervenendigungen LIX, 1, 17.  
 Muskelspindelzellen, Krone und Lage der motorischen Nervenendigungen LVI, 334.  
 Muskelverkalkung LII, 266.  
 Muskeln der vorderen Extremität der *Hatteria punctata* LI, 550.  
 Muskelzellen bipolare LX, 548.  
*Mus arenarius* LX, 298.  
 — *caraco* LX, 298.  
 — *decumanus* LX, 306, 310, 311.  
 — — *albinus* LVIII, 682 593.  
 — — *iaculus* LX, 298.  
 — — *lemnus* LX, 298.  
 — — *musculus* LIII, 594.  
 — — LVIII, 151.  
 — — LX, 313.  
 — — *rattus* LVIII, 152.  
 — — LX, 311.  
 — — *songarus* LX, 298.  
 — — *vagus* LX, 298.

- Mustela ereminius LIV, 321.  
 Mycolocyten LIV, 55.  
 Myoblasten LX, 119.  
 Myocommata, Eindrücke LII, 265.  
 — Furchen LII, 265.  
 Myodes lemnus LX, 298.  
 Myofibrillen LIV, 411.  
 Myomitom LIV, 212.  
 Myotom LVI, 747.  
 Myotropismus LIX, 114.  
 Myoxus glis LX, 315.  
 — muscardinus LX, 291, 307, 313.  
 — nitela LX, 302, 314.  
 Myriapoden, zur Kenntnis der Zellteilung derselben LVII, 481.  
 Mytilus edulis LIX, 182.  
 Myxynoide LVI, 5.  
 Myzostome glabrum, die Befruchtung des Eies von LI, 461.
- N**
- Nachhirn der Hatteria punctata LI, 587.  
 Nachteule LVII, 653.  
 Nachtrag und Berichtigung zu meiner Arbeit „über die Struktur des Protoplasma der menschlichen Epidermiszelle“ (Dr. K. Herxheimer) LIV, 289.  
 — zur Lehre von den Eingeweiden der Hatteria punctata LI, 764.  
 —, über die Struktur des Protoplasmas der menschlichen Epidermiszelle LVI, 289.  
 Nackenpapillen LIII, 163.  
 Nägelis Krystalloide LIX, 467.  
 Nährzelle LIII, 188.  
 Nagetiere LVII, 179.  
 —, Beitrag zur Kenntnis d. motor. Hirnrindenregion LVII, 179.  
 Nager, schweizerische u. deutsche, das braune Fettgewebe LX, 291.
- Nasale der Hatteria punctata LI, 501.  
 Nasenblindsäcke, Entstehung LVIII, 450.  
 Nasendrüse, obere LVIII, 431.  
 —, untere, LVIII, 425.  
 Naseneinführungsgang LVIII, 465.  
 Nasengrube LVIII, 442.  
 Nasenhöhle der Amphisbaeniden LV, 441.  
 —, Entwicklung bei Gymnophionen LX, 369.  
 — bei Amphibien LVIII, 441.  
 —, Entwicklung bei Amphibien LX, 369.  
 — der Amphibien, Entwicklung derselben LVIII, 411.  
 — der Hatteria punctata LI, 509.  
 Nasenlumen, Bildung desselben LVIII, 437.  
 —, — LX, 372.  
 —, Durchbruch in die Mundhöhle LX, 372.  
 —, Entstehung LVIII, 412.  
 Nasenmuschel, Bildung beim Menschen LX, 355.  
 —, Dach derselben LX, 343.  
 —, mediale Ausbuchtung LX, 343.  
 —, Seitenwände LX, 344.  
 Nasenmuscheln, morphologisch. Wert LX, 361.  
 —, Wachstum derselben LX, 339.  
 Nasenöffnung, äussere, Veränderungen an ders. LVIII, 448.  
 Nase des neugeborenen Kaninchens LX, 351.  
 Nasenrinne, seitliche LVIII, 429, 477.  
 Nasensack, Lumen LVIII, 427.  
 Nasenwand, ventrale LVII, 471.  
 Natron, Ueber die Ausscheidung des indig-schwefelsauren — durch die Glandula submaxillaris LIX, 407.  
 Nebenbronchien LVI, 634.

- Nebenhoden des Menschen LII, 674.
- Nebenkern LIII, 22.
- LVI, 558.
- , Ueber den — der Samenzellen der Mitochondrienkörper LVI, 553.
- Nebenkörperchen LVI, 595.
- Nebenkörper, chromatoider LI, 225.
- , chromatoide LIV, 343.
- Nebemilz LVIII, 363.
- Nebennieren, accessorische LVI, 2.
- Nebenniere, Anatomie LII, 176.
- , Entwicklungs- und Stammgeschichte LVI, 1.
- , Histologie der — d. Menschen LX, 414.
- , der Selachier LIII, 281.
- , Veränderungen der — bei Transplantation LIV, 440.
- , Fettkörner LX, 426.
- , Gefässlumina, LX, 425.
- , Pigment, LX, 423.
- Nebenscheibe, Engelmann'sche IV, 148.
- Necturus LVII, 739.
- Nemathelminthen, Neue und bekannte LX, 217, Nematoden 217, Mermis 227, Gordius 228, Acanthocephalen 228.
- , neue und bekannte, Beobachtungen an denselben LX, 217.
- Nematoden LX, 257.
- , parasitische, phagocytaere Organe LV, 488, *Ascaris osculata* Rud. 489, *Ascaris ferox* Ehrb. 494, *Ascaris decipiens* Kabbe 495, *Sclerostomum armatum* Rud. 501, *Strongylus paradoxus* Mehlis 504, *Eustrongylus gigas* Rud. 505, *Oxyuris curvula* Kud. 507.
- Nerv, Oberschenkel einiger anuren Batrachier LII, 367.
- Nerv, Plexusbildung der — in der Mittellinie der Rückenhaut einheimischer Frösche LIII, 131.
- , An den Blutgefässen der grossen Nervencentren LV, 576.
- Nerven der Hatteria LVI, 837.
- der hinteren Extremität der *Hatteria punctata* LI, 635.
- der Hinterzellen LVII, 412.
- der Kloakengegend d. Hatt. punct. LI, 635.
- der vorderen Extremität der Hatt. punct., LI, 626.
- , Endigung derselben im Peritoneum des Diaphragma LIX, 636.
- , Endigungsweise derselben im Peritoneum der Bauchwand LIX, 630.
- , motorische LIII, 3.
- , sensible, Endigungen im perietalen Bauchfellblatte LIX, 3.
- , sympathische d. Hatteria punct. LI, 618.
- Nervenapparat der Drüsen, Veränderungen desselben LVIII, 118.
- der Froschharnblase LV, 2.
- Nervencentren, Nerven an den Blutgefässen der grossen — LV, 576.
- Nervenendapparate im Muskel LX, 12.
- , Lage im Muskel LX, 11.
- Nervenendigungen, abgespaltete LIV, 413.
- bei Säugern LIX, 1.
- , Die — im Bauchfell, in den Sehnen, den Muskelspindeln und dem Centrum tendineum des Diaphragmas beim Menschen und bei Säugetieren LIX, 1.
- , die sensiblen — im Herzen und in den Blutgefässen der Säugetiere LII, 44.
- im Centrum tendineum LIX, 1, 25.
- im Menschen LIX, 1.

- Nervenendigungen im menschlichen Muskel LX, 1.  
 — in den Muskelspindeln LIX, 1, 17.  
 — in den Sehnen LIX, 1, 13.  
 —, Kerne und Lage der motorischen — in den Muskelspindeln LVI, 334.  
 —, Ueber die Frage der — in den Tast- und Sinus-Haaren LIV, 403.  
 —, Ueber die — im Bauchfell und in dem Diaphragma der Säugetiere LIX, 629.  
 Nervenendstelle, Sinneszellen LVIII, 175.  
 Nervenendstellen LVIII, 160.  
 Nervenfäden, intraepitheliale LIV, 409.  
 Nervenfärbungsmethode, Dogiel'sche LV, 562.  
 Nervenfasern, marklose LII, 48.  
 —, normale, markhaltige LIV, 142.  
 Nervenfasern, myelinhaltige — der Molekularschicht des Kleinhirn beim Hunde LII, 195.  
 —, Die Degeneration der markhaltigen — der Wirbeltiere unter hauptsächlichster Berücksichtigung des Verhaltens der Primitivfibrillen LIV, 135.  
 —, periphere LII, 246.  
 Nervenfaserschicht, LII 276.  
 Nervengeflecht, Auerbachs LIX, 469.  
 —, ringförmiges LIV, 404.  
 Nervengewebe, LII, 535.  
 Nervenknoten, Auerbach'sche LIX, 460.  
 Nervennetz, Gerlach'sches LIV, 306.  
 Nervennetze, terminale LIV, 576.  
 Nervenring, LIV, 404.  
 Nervenscheiden, pigmentierte LVIII, 160.  
 Nervenstämme, LVIII, 160.  
 Nervenstämme, Resektion LVII, 449.  
 Nervensystem der Hatteria LII, 341.  
 —, Darstellung der Begleit- und Gliazellen von *Helix* mit der Golgi-methode LV, 300.  
 —, Histogenese des peripheren — bei *Salmo salar* LVII, 354.  
 —, peripheres, der *Hatt. punctata* LI, 596.  
 —, zentrales der *Hatt. p.* LI, 585.  
 Nervenverlauf, zur Kenntnis des — in der Rückenhaut von *Rana fusca* LV, 231.  
 —, Weiterer Beitrag zur Kenntnis des — in der Rückenhaut von *Rana fusca* LVII, 445.  
 Nervenzellen, LVII, 151.  
 —, apolare LVII, 623.  
 —, feinere Struktur und Fortsätze LIII, 485, zur Frage von der Entstehung der Nissl'schen Körperchen 485, Protoplasmastruktur der Vorderhornzellen des Stier Rückenmarkes 492, gegenseitigen Beziehungen d. im Rückenmark enthaltenen Gewebelemente 499.  
 —, motorische LVII, 152.  
 —, sympathische LIX, 4.  
 —, Trophospongium der — des Salamanderpankreas LX, 669  
 —, über die Veränderungen derselben im verschiedenen Alter LVIII, 231.  
 —, Ueber Silberimprägation der — und der Markscheiden LIX, 401.  
 —, Verteilung im Vorderhorn LVII, 493, 514.  
 Nervenzellenfunktion, spezifische LVII, 157.

- Nervus accessorius Willisii, Vergleichend-anatomische Untersuchungen über den Ursprung und die Phylogenese des — LIV, 514.
- acusticofacialis, Pigment desselben LVIII, 163.
- cochleae, periphere Endigung LIX, 144.
- — Ueber den peripheren Verlauf und die Endigung des — LIV, 224.
- —, über den Verlauf LIX, 144.
- —, Verlauf der peripheren Endfasern LIV, 152.
- mandibularis, Die Durchschneidung des — LIV, 224.
- opticus, LII, 284.
- phrenicus, LIX, 644.
- Netz, perineurales bindegewebiges LV, 304.
- Netzbalken, LV, 529.
- Netze, kernerhaltende LX, 693.
- Netzgewebe, intervasculäres LVIII, 255.
- Netzhaut, menschliche LI, 709.
- , Primitivfibrillenverlauf in derselben LVII, 570.
- Netzknorpel, LVIII, 485.
- Netzwerk, intercellulares His'sches LVII, 406.
- Neubildungsprozesse im Muskelgewebe LX, 125.
- Neugeborener, über das silum terminale des Rückenmarks bei dems. LII, 501.
- , über die Gestalt des Ventrliculus terminalis bei demselben LII, 501.
- Neunauge, Kiemenlamellen LX, 161.
- Neuralbogen, LVI, 752.
- Neuritenenden, LV, 536.
- Neuritenendigungen, Ueber centrale — LIV, 296.
- Neuroblasten u. Stützzellen, LVII, 399.
- Neuroepithelzellen, pigmentführende LVIII, 162.
- , Schicht ders. LVII, 573.
- Neurofibrillen, LIV, 211.
- , LVII, 156.
- , in den Ganglienzellen der Wirbeltiere LV, 513.
- , in Ganglienzellen und Proto-  
plasmafortsetzen LV, 515.
- Neurogliaseptum, vorderes, im Rückenmark des Orang-Utan LIX, 437, 443.
- Neuroglia, Studien über — LV, 11, Amphioxus 18, Cyclostomen 23, Selachier 39, Teleostier 43.
- , Untersuchungen über die menschliche — LVI, 509.
- Neurogliazellen, LII, 307.
- Neuromuskeltheorie, Kleinenbergs LII, 93.
- Neurokeratin, Kühne's LVII, 666.
- Neuromeren der Medulla LV, 607.
- Neuromitom, LIV, 212.
- Neuron, LVI, 510.
- Neuroporus, LVIII, 647.
- Neuroporusverdickung, Bedeutung LVIII, 647.
- der Eidechsenembryonen, Entstehung ders. LVIII, 641.
- , Schicksal ders. LVIII, 641.
- und die Hypothese von der primären Monorhinie der amphirhinen Wirbeltiere LVIII, 640.
- Neuroporus, Zusammenhang der der Brechfelder mit demselben LVIII, 647.
- Neurosoma, LV, 306.
- Neurosomen, LIV, 142.
- Neurosomhaufen, Held'sche LV, 526.
- Neurotagmen, Herzmuskel LX, 151.
- Neurotropismus, LIX, 115.

- Neutralrot, vitale Färbbarkeit der Phagocyten des Menschen und einiger Säugetiere mit — LVI 868.  
 Neutrophilen, polynucleäre LIII, 349.  
 Nickhaut der Eidechse LII, 297.  
 Nickhautdrüse des Igels LVI, 537.  
 Nickhautsehne der Hatteria LII, 217.  
 Nierenbecken LII, 665.  
 — des Kaninchens LII, 671.  
 Nierenblasten LVII, 823.  
 Niere, über die Endverzweigungen der Arterien der menschlichen — LVII, 117.  
 —, Zur Entwicklung d. bleibenden — LVII, 822.  
 —, Ausscheidung der Harnsäure LIII, 218.  
 — des Kaninchens LII, 659.  
 Nierenpyramiden, Sammelröhren derselben LII, 660.  
 Nische des runden Fensters LIX, 549, 580.  
 Nissen'sche Körper LIX, 214.  
 Nissl Körper LII, 539.  
 Nissl'sche Körperchen LIX, 403.  
 — — zur Frage deren Entstehung LIII, 485.  
 — Schollen LIII, 489.  
 — — LVII, 516.  
 — — LVII, 580.  
 — — LIX, 404.  
 Normoblasten LIII, 324.  
 — LIV, 24.  
 Notiz zu dem Aufsatz O. Frankes: Die Ausfühwege der Harnsamenniere des Frosches LI, 213, 857.  
 Notwendigkeit der freien Entwicklung des Embryo LV, 202.  
 Noyau basilaire LIII, 26.  
 — folliculaire LIII, 27.  
 — satellite LIII, 197.  
 Noyaux fondamentaux LVI, 349.  
 Nucifraga caryocatactes LVII, 663.  
 Nucleolen LI, 705.  
 —, achromatische Boveris LII, 105.  
 Nucleus centralis LIV, 571.  
 — dentatus LV, 518.  
 — lateralis cerebelli LVIII, 665.  
 Nucl'scher Raum LIX, 158.  
 Nussbaum'sche Zellen LVIII, 716.
- O**
- Oberflächen-Epithelien des Magens LVIII, 679.  
 Oberhaut LVII, 654.  
 —, Mensch, Bau und Verhornung LVI, 169, Stratum Malpighi 172, Stratum granulosum 190, Stratum corneum 202.  
 Oberhautepithel LII, 147.  
 Objektträger, Gestell für dens. bei Reihenschnitten LIX, 457.  
 Obplacenta LI, 116.  
 Occipitalregion, menschl. LV, 353, 358, 369, 380, 393.  
 — der Hatteria LVI, 801, 813.  
 Oculomotorius von Carcinus Maenas LI, 396.  
 Oeffnung der Schlundspalten LVII, 746.  
 Oelkugeln LII, 280.  
 Oesophagusepithel der Bufolarven LVII, 193.  
 Oesophagus, Trennung der Trachea von dems. LX, 463.  
 Ohr, äusseres, Entwicklung LIX, 583.  
 Ohrgegend, äussere der Hatteria LII, 329.  
 Ohrgrübchen, oberes, Kastschenkos LIX, 587.  
 Ohrmuschelgrube LIX, 589, 614.  
 Oniscus LIII, 197.  
 Oncholaimus vulgaris Bast LX, 225.

- Ontogenese LVI, 778.  
 —, Einfluss der Schwerkraft auf den Verlauf der — LX, 50.  
 Operationen am Triton LVII, 814.  
 — am Axolotl LVII, 814.  
 Ophidier LI, 772.  
 Ophidia LII, 351.  
 Ophiostomum mucronatum Rud. LX, 221.  
 Opiethotium LII, 312.  
 — LVI, 815.  
 — der Hatteria punct. LI, 495.  
 Opticus von Carcinus Maenas LI, 392.  
 Ora serrata LII, 283.  
 Orang, Trigeminalganglion desselben LX, 514.  
 Orang-Utan, Rückenmark dess. LIX, 417.  
 Orbitaldrüse, äussere LVI, 549.  
 Orbitalplatte LV, 401.  
 Orbitalregion der Hatteria LVI, 804, 816.  
 Orbitosphenoid LVI, 805.  
 Orcein LVIII, 483.  
 Organ, Bidder'sches LII, 250, 874.  
 —, Bojanus'sches LVIII, 609.  
 —, Corti'sches LIX, 146.  
 —, Jakobson'sches LV, 444, 598.  
 —, — LX, 348.  
 —, — LVIII, 452.  
 —, kinetisches LIX, 48.  
 —, neues, normales, d. Menschen und der Säugetiere LVI, 69.  
 Organe, Deutung der epidermoidalen — im Integument der Säugetiere LII, 156.  
 —, Eimer'sche LII, 158.  
 —, phagoeytäre LV, 489.  
 —, phagoeytäre bei den parasitischen Nematoden LV, 488.  
 Organeisweiss LIV, 190.  
 Organisation, innere, der Zelle LVI, 242.  
 Orientierung der Milz LIV, 211.  
 Ornithorhynchus LIII, 610.  
 — LII, 157; LIII, 610.  
 Ornithorhynchus LII, 581.  
 Orthodontin LVII, 754.  
 Orthoptera LIII, 151.  
 Osmiummäntel LIV, 139.  
 Osmiumniederschläge LVII, 613.  
 Osmiumsäure LII, 228.  
 Ossifikation des Kehlkopfes LIX, 220.  
 Osteoblasten LVI, 800.  
 Otosphenoideum der Hatteria punctata LI, 497.  
 Ovarialei, Idiozom und Centralkörper im — der Säugetieren LVI, 377.  
 Ovia gladiator LVI, 783.  
 Ovocentium LIV, 384.  
 Ovocyten LIV, 427.  
 Ovogonien von Ascaris megalocceph., über Centrosomen in denselben LII, 115.  
 Ovomeriten LVII, 79.  
 Oxyform LVI, 910.  
 Oxygenotropismus LIX, 107.  
 Oxygenotaxis LIX, 107.  
 Oxyuris biuncinata LI, 759.  
 — curvula Rud. LV, 507.

## P

- Pacinische Körperchen LIX, 629.  
 Palaeo hatteria LI, 481.  
 — LII, 352.  
 Palatinum der Hatteria punctata LI, 503.  
 Paludina vivipara LII, 881.  
 — — LIII, 197.  
 — — LIV, 292, 555.  
 Pankreas, Anatomie de — und seiner Ausführungsgänge LII, 773.  
 —, Bedeutung der Langerhansschen Inseln im — LVI, 491.  
 —, Entwicklung der — bei den Amnioten LX, 174.

- Pankreas, Ueb. d. mikroskopischen Veränderungen des — nach Unterbindung einzelner Teile und über einige mikrochemische Besonderheiten der Langerhans'schen Inseln LIX, 286.  
 — — — Entwicklung der Säugetiere LVII, 271, Kaninchen 278, Ratte 290, Meerschweinchen 305, Katze 313, Schwein 317, Mensch 318.  
 — — — Beiträge zur Entwicklung des — bei den Amnioten LIX, 62.  
 — — — Trophospongium der Nerven- u. Drüsenzellen des — LX, 669.  
 — — — LV, 570.  
 — — — menschliches LII, 602.  
 — — — mikroskopische Veränderungen dess. nach Unterbindung einzelner Teile LIX, 286.  
 Pankreasanlage, ventrale LVII, 329.  
 — — — dorsale LVII, 329.  
 Pankreasanlagen, Mensch, Entwicklung LVI, 291.  
 Pankreasbildung bei Säugetieren LIX, 89.  
 — — — bei *Lacerta agilis* LIX, 89.  
 — — — bei Schweineembryonen LIX, 89.  
 — — — bei Zieselembryonen LIX, 89.  
 Pankreasentwicklung bei *Spermophilus citillus* LIX, 83.  
 Pankreasgänge, Schliessmuskulatur LIV, 614.  
 Panethsche Zellen LVIII, 716.  
 Papillen der *Conjunctiva sclerae* junger Hühnerembryonen LVII, 676.  
*Paramaecium aurelia* LIV, 111.  
*Pareleidin* LVII, 602.  
*Paroccipitale* d. *Hatteria punctata* LI, 495.  
 Parasiten, unreife, bei Malaria LIX, 344.  
*Paraquadratum* der *Hatteria punctata* LI, 512.  
*Parasphenoid* d. *Hatteria punctata* LI, 497.  
*Parathymus* LVI, 116.  
*Parathymussystem* LII, 730.  
*Parenchymknorpel* LI, 454.  
*Parenchym* der Lymphdrüsen beim Hund LX, 499.  
 — — — beim Pferd LX, 475.  
*Parietale* der *Hatteria punctata* LI, 499.  
*Parietalauge* LVI, 816.  
*Parotis* LV, 570.  
 — — — des Menschen LII, 582.  
*Pars ciliaris retinae* d. Vogel- auges LVII, 346.  
*Parthenogenese* d. Schmetterlings LIII, 444.  
*Parthesia chrysorrhoea* LIII, 475.  
*Paukenfell definitives* LIX, 598.  
 — — — Entwicklung LIX, 583.  
 — — —, *Membrana propria* LIV, 619.  
 — — —, *pars tensa* LIX, 619.  
 — — —, primäres LIX, 593, 618.  
*Paukenfellocker* LIX, 590, 618.  
*Paukenfelltasche*, vordere LIX, 490, 661, 577.  
 — — —, obere LIX, 556.  
 — — —, hintere LIX, 508, 577.  
*Paukenhöhle*, Abtrennung derselben als *tubotympanales Rohr* LIX, 496.  
 — — —, primäre Anlegung LIX, 496, 577.  
 — — —, primäre LIX, 501, 518, 618.  
 — — —, definitive LIX, 511.  
 — — — der *Hatteria* LVI, 830.  
 — — — — LII, 329.  
*Paukenhöhlenenge* LIX, 553, 581.  
*Paukenrinne*, hintere LIX, 490.  
 — — —, vordere LIX, 500.  
*Pelias beras* LIII, 316.  
*Pellicula*, *Structur* derselben LIV, 99.  
*Pelobates fuscus* LII, 379.  
 — — — —, embryon. Lunge LX, 637.

- Penetrationsbahn LX, 31.  
 Pepsindrüsen, einfache LVIII, 700.  
 —, zusammengesetzte LVIII, 700.  
 Pericapsuläres Geflecht LIX, 562.  
 Perichordalzellen LVI, 750.  
 Perichoroidealraum LX, 571.  
 Perifibrillärschicht LIV, 143.  
 — LV, 540.  
 Periplacenta LI, 112.  
 Perioplast, Bedeutung des — in der Entwicklung der Knochenfische LII, 793.  
 — LVII, 88.  
 Perithelzellen, Eberth'sche LVI, 42.  
 —, hyperatrophische LI, 120.  
 Perthesia chrysothorax LIII, 466.  
 Peritoneum der Bauchwand, Endigungsweise der Nerven in demselben LIX, 630.  
 — des Diaphragma, Endigung der Nerven in demselben LIX, 636.  
 Perivitellin LX, 18.  
 Petromyzon LVII, 738.  
 — fluviatilis, LX, 161.  
 — —, Befruchtung des Eies LVII, 54.  
 — —, Reifung des Eies LVII, 54.  
 —, Laichung LVII, 56.  
 Pferd, Gerüstsubstanz der Lymphdrüsen LX, 472.  
 —, Rindensubstanz der Lymphdrüsen LX, 475.  
 —, mikroskopischer Bau der Lymphdrüsen LX, 471.  
 —, Parenchym der Lymphdrüsen LX, 475.  
 —, Marksubstanz der Lymphdrüsen LX, 479.  
 Pflasterepithelien, geschichtete, feinere Struktur LV, 431.  
 Phaeton rubricanda, LVI, 378.  
 Phagocyten u. Phagocytose LIV, 314.  
 —, Mentschnikoffs LVI, 912.  
 —, vitale Färbung mit Neutralrot LVI, 868.  
 Phagocytose, Athemröhre der Janellen LI, 839.  
 — der Leucocyten in den Lymphdrüsen und deren Abfuhrwegen LIV, 311.  
 —, Leberendothelien LX, 177.  
 —, Lebergefassendothelien LVIII, 576.  
 — und Abfuhrwege der Leucocyten in den Lymphdrüsen LIV, 311.  
 Phalangista LIV, 363.  
 — vulpina, Histogenese der Spermien LX, 232.  
 — vulpina, Einteilung des Entwicklungsprozesses LX, 233.  
 —, Entwicklung der Spermien bei derselben LX, 234.  
 —, Centalkörper b. d. Spermien LX, 257.  
 —, Kern bei den Spermien LX, 257.  
 —, Kopfklappe der Spermien LX, 258.  
 —, Schwanzmanschette der Spermien LX, 258.  
 Phasentheorie LVII, 548.  
 Phenazine LV, 564.  
 Phisalix LIII, 6.  
 Phoca vitulina LVIII, 153.  
 Phototropismus, negativer LI, 434.  
 Phratora vitellinae, LVI, 577.  
 Phronima, dreizellige Drüsen, LII, 565.  
 Phyllocladus europaeus, LI, 765.  
 Phylogenie der Nebennieren LVI, 71.  
 Phryganiden, LI, 758.  
 Physiologie der Speicheldrüsen LVIII, 1.  
 Pigment, LII, 877.

- Pigment, endolymphatisches LVIII, 167.  
 —, goldgelbes LVII, 166.  
 — der Membrana tympano-secondaria LVII, 167.  
 — der Labyrinthkapsel LVIII, 163, 167.  
 — der Nebenniere LX, 423.  
 —, perilymphatisches LVIII, 167.  
 — des Nervus acusticofacialis LVIII, 163, 168.  
 — der Stria vascularis LVIII, 162.  
 Pigmentaufhellung LV, 179.  
 Pigmentepithel der Retina LVIII, 162.  
 Pigmentfelder der Choiroiden LVIII, 170.  
 — des Utriculus LVIII, 175.  
 Pigmentsicheln LVIII, 174.  
 Pigmentzellen, spinnenförmige LVIII, 160.  
 Pilocarpinwirkung auf die paralytische Retrolingualis LVIII, 117.  
 — — Submaxillaris LVIII, 78.  
 Pinnipedia LVIII, 153, 173.  
 Placenta, feinerer Bau beim Kaninchen LI, 68.  
 — materna LI, 110.  
 Plagiostomum vittatum LIII, 195.  
 Planum semilunatum LII, 327.  
 Plasmaschicht, Abgrenzung LVII, 225.  
 Plasmazellen, Waldeyer'sche LVI, 92.  
 Plasmodiblast LI, 88.  
 Plasmodium, endovasciläres LI, 99.  
 Plasmolyse LIII, 355.  
 Plathelminthen LIII, 195.  
 Plattenepithel, geschichtetes der menschl. Zungenwurzel LII, 683.  
 Plattenmethode, Born'sche LX, 462.  
 Plattenzwangslage LV, 204.  
 Platydactylus faretanus LI, 778.  
 Platipeltis spinifer L, 338.  
 Plecotus auritus LVIII, 156, 175.  
 Pleurodeles Waltlii LII, 153.  
 Pleurooccipitalia LVI, 801.  
 — d. Hatteria punctata LI, 494.  
 Pleurosaurus LII, 263.  
 Plexusbildung der Nerven in der Mittellinie der Rückenhaut einheimischer Fische LIII, 131.  
 Plica accessoria post. LIX, 569.  
 — chordae tympani LIX, 548, 570.  
 — cruris incudis LIX, 548.  
 — lig. incurdis LIX, 569.  
 — lig. mall. ant LIX, 547, 570.  
 — lig. mall. ext. LIX, 558.  
 — lig. mall. sup LIX, 556.  
 — manubrii LIX, 546.  
 — musc. stapedis LIX, 548.  
 — obturatoria stapedis LIX, 569.  
 — obturatoria LIX, 553, 580.  
 — stapedis sup. LIX, 548.  
 — tensoris tympani LIX, 547, 570.  
 — transversa LIX, 547.  
 Poikilomorphie der Muskelkerne LX, 533.  
 Polfeld, LIV, 18.  
 Polplasma. Aufnahme des weiblichen Vorkernes in dasselbe LVII, 75.  
 —, Abschnürung von der Eiperipherie LVII, 75.  
 Polkörperchen, Hartwig'sche LII, 113.  
 —, LVI, 671.  
 Pontia crataegi, LIII, 166.  
 Poren, normale, zwischen den Lungenalveolen, Zweifel Vict. v. Ebners an deren Existenz LV, 337.

- Polycylus Rexieri, Bau der Exkretionsorgane LVIII, 611.  
 Polypterus, LI, 489.  
 Postfrontale der Hatteria punctata LI, 500  
 Postorbitale, Gaupp LVI, 811.  
 Praefrontale der Hatteria punctata LI, 500.  
 Praemaxillare der Hatteria punctata LI, 501.  
 Praemaxillarplatte, LV, 472.  
 Primates, LVIII, 156.  
 Primitivfibrillen, LVII, 576.  
 —, bei Degeneration der markhaltigen Nervenfasern LIV, 135.  
 — im Centralnervensystem von Carcinus Maenas, Verhalten derselben LI, 382.  
 — des Carcinus Maenas, Rolle derselben bei den nervösen Vorgängen LI, 402.  
 Primitivfibrillenverlauf der Netzhaut LVII, 570.  
 Primordialcranium, knorpeliges, Beitrag zur Entwicklung derselben beim Menschen LV, 341.  
 Primordialeier, Theilungsvorgänge LIII, 357.  
 Primordialfollikel, LIII, 359.  
 —, atypische LIII, 373.  
 Primordialstadium, Eientwicklung LVIII, 376.  
 Primordialzotten, LVI, 723.  
 Pristiurus, LVII, 85.  
 —, LVIII, 652.  
 —, LX, 398.  
 Pristirusembryo, LX, 389.  
 Pristiurus, Kopfmesoderm LVI, 468.  
 Probeplatteneier, LVI, 330.  
 Process, eigenartiger in den Samenblasen von Cervus alces LX, 100.  
 Processus entoglossus LI, 524.  
 — Folii, LIX, 573.  
 Processus vermiformis, Lymphknötchen, Entwicklung beim Menschen LI, 28.  
 — uncinati LVI, 775.  
 —, LX, 352.  
 Promontorium LIX, 526.  
 Proteus anguineus, LX, 163.  
 — — — LVII, 670.  
 — — Kiemenlamellen LX, 163.  
 Protocytoblasten, LIII, 512.  
 Protohämatoblasten, LI, 168.  
 Protoplasma, axiales LII, 650.  
 —, menschliche Epidermiszelle LIII, 510.  
 —, Struktur derselben in der menschlichen Epidermiszelle LIII, 510.  
 — — — supérieur, LVI, 600.  
 — — —, verhorntes LVII, 601.  
 Protoplasmafaser, echte LVI, 174.  
 —, Verhalten derselben zur Wabenstruktur der Epidermiszelle LIII, 535.  
 Protoplasmafibrillen, LI, 237.  
 Protoplasmafortsätze, Neurofibrillen in dens. LV, 515.  
 Protoplasmacontraktion LII, 696.  
 Protoplasmatische Knospung an Epithelzellen LIV, 50.  
 Pseudaliusarcticus, LVI, 366.  
 Prussakscher Raum, LIX, 619.  
 Pseudopapillarkörper, LIV, 80.  
 Pseudopodien, LII, 648.  
 Pseudoglomeruli, LVII, 825.  
 Pseudopodien im Epithel der vas epididymis des Menschen LIX, 57.  
 Pterygoid der Hatteria punctata LI, 503.  
 Pubis der Hatteria punctata LI, 530.

- Pulmonaten, Ganglienzellen der  
 Schlundmuskulatur LVII, 622.  
 Pulpa, rothe, Arteriennetz ders.  
 LVIII, 305.  
 Pulpaarterie der Milz LVIII,  
 305, 321.  
 Purkinje'sche Zellen, LIX, 216.  
 —, LIII, 493.  
 —, der Kleinhirnrinde LV, 529.  
 Putorius vulgaris, LVIII, 155.  
 —, LVIII, 175.  
 Pycnodontiden, LII, 266.  
 Pygaera bucephala, LVI, 565.  
 Pyramidenbahn, LVII, 181.  
 Pyramiden der Niere, LII, 660.  
 Pyramidenseitenstrang-  
 bahnen, LIV, 591.  
 Pyramidenzellen, LV, 517.  
 Pyrrhocoris, LVI, 589.
- Q**
- Quadratum der Hatteria punc-  
 tata LVI, 809.  
 Querfaserungen, LIV, 185.  
 Querkanalchen, LVI, 44.  
 Querscheibe, Krause'sche  
 LV, 146.  
 Querschichtung in den Kernen,  
 über das Fehlen derselben in den  
 Kernen der menschlichen Stäb-  
 chensenzellen LI, 704.  
 Querverbindung der Fibrillen  
 LIV, 217.
- R**
- Rachendrüse, Borns LVIII, 452.  
 Rachenepithel der Bufolarven  
 LVII, 193.  
 —, der Salamanderlarven LVII,  
 202.  
 Rachenhöhle LV, 466.  
 Rachenmembran LVII, 739.
- Rachitomen LVI, 785.  
 Radiärfasern LIII, 9.  
 Radiärzellen LIII, 8.  
 Radius der Hatteria punctata  
 LI, 528.  
 Raja LIII, 188.  
 —, LV, 39.  
 —, fullonica LVII, 679.  
 Rana fusca LVI, 333.  
 —, —, LIX, 128.  
 —, esculenta LIII, 171, 418.  
 —, viridis LII, 869.  
 —, Ausfuhrwege der Harnsamen-  
 niere LI, 213, 857.  
 —, suscriptiones elasticae  
 in den Sehnen d. schiefen Bauch-  
 muskeln LVII, 102.  
 —, Plexusbildung der Nerven in  
 der Mittellinie der Rücken-  
 haut LIII, 113.  
 —, Ei, Veränderungen durch  
 Centrifugalkraft LIII, 415.  
 —, esculenta Einfluss der  
 Temperatur auf die Entwicklung  
 L, 319.  
 —, —, Eientwicklung derselb.  
 LI, 356, 372.  
 —, fusca, Eientwicklung LI,  
 329, 358.  
 —, —, untere Grenze der Ei-  
 entwicklung bei derselben LI, 346.  
 —, —, LII, 373.  
 —, —, LIII, 171, 418.  
 —, —, die bilaterale Symmetrie  
 des Eies derselben LV, 173.  
 —, —, und esculenta, Bau  
 der samenableitenden Wege LI,  
 319.  
 —, —, Nervenverlauf in der  
 Rücken-  
 haut LV, 231; LVII, 445.  
 —, —, Urmundschluss LX, 407.  
 —, temporaria LIII, 171.  
 —, —, embryonale Lunge LX,  
 636.  
 —, viridis, rudimentäre Eier im  
 Hoden von — LII, 248.  
 —, oxyrrhinus LII, 373.

- Randkörnchen LV, 568.  
 Randsaumepithelien, Vorkommen derselben in der menschl. Magenschleimhaut LVIII, 685.  
 Randzone, Götte'sche LI, 338.  
 —, Lissauer'sche, LIX, 420.  
 Raniden LII, 862.  
 Ranvier'sche Einschnürung LVII, 504.  
 — Schnürringe LVII, 520; LIX, 634, 639.  
 Ranvier'sches Eleidin LVII, 786  
 Ratte LV, 573.  
 —, Drüsen des Kehlkopfes LII, 755.  
 —, Pankreas-Entwicklung LVII, 290.  
 Raum, Fontana'scher LII, 287.  
 —, Nuel'scher LIX, 158.  
 —, Prussak'scher LIX, 556, 558, 579, 582, 619.  
 Rautenlippe LVIII, 662.  
 Rautenohr LVIII, 662.  
 Recessus frontalis LX, 359.  
 — hypotympanikus LIX, 556.  
 — meatus LIX, 606, 617, 618.  
 — — anditorii ext. LIX, 604.  
 — membranae tympani anterior LIX, 490.  
 — — — tymp. post. LIX, 508.  
 — quartus LIX, 530, 579.  
 — tympani tertius LIX, 526, 579.  
 Reflexe, complicirte bei Carcinus Maenas LI, 426.  
 —, einfache, der Augen beim Carcinus Maenas LI, 423.  
 —, — der Thoraxextremitäten bei Carcinus Maenas LI, 425.  
 —, einfachste, Zustandekommen ders. bei Carcinus Maenas 407.  
 Reflexerregbarkeit bei Carcinus Maenas LI, 413.  
 Regeneration in centripetaler Richtung LVII, 80.  
 Regio nasali LV, 385.  
 — pylorica LVIII, 715.  
 Reichert'scher Knorpel LIX, 507.  
 Reifeteilungen LI, 221.  
 Reifung des Eies LVII, 9.  
 — — — von Petromyzon fluviatilis LVII, 54.  
 Reihenschnitte, Gestell für Objectträger bei denselben LIX, 457.  
 Reissner-Frend'sche Zellen LVII, 413.  
 Reizbewegung LIX, 106.  
 Reptilien LI, 516; LII, 271, 880; LVI, 3.  
 —, Entwicklungsgeschichte der Lunge LX, 605.  
 Reptilienei LVII, 85.  
 Resection der Nervenstämmchen LVII, 449.  
 Resorptionsorgane, einzellige LI, 726.  
 Rete malpighi in der Haut der menschlichen Geschlechtsorgane LIII, 403.  
 Reticulumaschen der Milz LXIII, 319.  
 Reticulumfasern d. Milzparenchym LVIII, 281.  
 Retina, LII, 271.  
 —, Liliarrand LII, 283.  
 —, menschliche LI, 705.  
 —, pars ciliaris derselben beim Vogelauge LVII, 346.  
 —, Pigmentepithel LVIII, 162.  
 —, Stützfaser LII, 282.  
 Retractor lentis, Entwicklung LX, 553.  
 Retroaurikularfurche LIX, 589.  
 Retrolingualis, LVIII, 35, 79, 124.  
 —, Ausführungsgänge LVIII, 62, 91, 109, 115.  
 —, Drüsenzellen LVIII, 113.  
 —, Form der Drüsenräume LVIII, 36.

- Retrolingualis, interstitielles Gewebe LVIII, 63, 91, 110, 115.  
 —, paralytische, Pilocarpinwirkung auf dieselbe LVIII, 117.  
 —, Schleimzellen LVIII, 40, 83, 94.  
 —, seröse Zellen, LVIII, 47, 85, 100.  
 —, Zusammensetzung d. Drüsenträume LVIII, 36.  
 Revêtement coriace LVII, 665.  
 Rheotaxis, LIX, 107.  
 Reotropismus, LIX, 107.  
 Rhesusaffen, Cornealepithel derselben LII, 681.  
 Rhinolophus affinis Horsfield IX, 321.  
 — ferrum equinum LVIII, 156.  
 — hipposideros LVIII, 155.  
 Richtungskörperchen, LIX, 896.  
 Richtungskörperbildung von *Ascaris megalcephala* LIX, 388.  
 Richtungskörper, erster LVII, 66.  
 —, zweiter LVII, 79.  
 Richtungsreiz, LIX, 136.  
 Richtungsspindeln v. *Ascaris megalcephala*, über Centrosomen in derselben LII, 117.  
 Riechfelder, Zusammenhang mit dem Neuroporus LVIII, 647.  
 Riechgrube, Beteiligung des Gehirns an der Bildung derselben LV, 608.  
 Riechgrübchen, Wachstum derselben LV, 585, 590, 603.  
 Riechhöhle, LV, 474.  
 Riechorgan, Umgebung desselben LV, 606.  
 —, Vergrößerung LV, 596.  
 —, Verlagerung desselben LX, 389.  
 Riechplatte, LV, 594.  
 —, Kupffer'sche LVIII, 641.  
 Riechplakode, Lage LVIII, 656.  
 —, unpaare der Amphirhinen LVIII, 641.  
 Riechsack, LX, 348.  
 Riechplakode mediane, LVIII, 651.  
 Riechsackwand, LV, 599.  
 Riechwulst d. Menschen LX, 359.  
 Riesenblutkörperchen, Hayem's LIV, 35.  
 Riesenkerne, LVI, 545.  
 Riesenpyramiden, Betz'sche LVII, 159.  
 Riesenspermien, LIX, 124.  
 Riesensphäre, LVI, 281.  
 Rind, LVII, 180.  
 —, mikroskopische Untersuchung der Lymphdrüsen LX, 484.  
 Rindenfollikel d. Milz LVIII, 365.  
 Rindenkörper, motorische LVII, 160.  
 Rindensubstanz der Lymphdrüsen beim Pferd LX, 475.  
 Rindenzellen, motorische LVII, 160.  
 Ringe, Henle'sche LV, 155.  
 Ringmuskelschicht der Bronchien, Entwicklung derselben bei den Säugetieren LX, 460.  
 Ringwulst der Vogellinse, über die Falten desselben LVIII, 558.  
 Rinne, tubare LIX, 500, 577.  
 —, tubo tympanale LIX, 490, 577.  
 —, vordere tympanale LIX, 500, 577.  
 —, tympanale, hintere LIX, 490, 577.  
 Rippen der Hatt. punct. LI, 490.  
 Rippenknorpelschnitte, Verhalten LX, 97.  
 Rippen, menschliche LV, 254.  
 Rodentia, LVIII, 173.  
 Röhre, hyaline LVI, 309.  
 Rohon'sche Hinterzellen LVII, 385.  
 Rohr, Henle'sches LVII, 830.  
 —, tubo tympanales LIX, 511, 578.

- Rohr, tubo-tympanales, Abtrennung der Paukenhöhle als solches LIX, 496.
- , tubo tympanales, dessen Entwicklung von der ersten Hälfte des III. Embryonalmonats bis zur Geburt LIX, 522.
- Roland'sche Substanz LIX, 419, 440.
- Rolle der Primitivfibrillen des Carcinus Maenas bei den nervösen Vorgängen LI, 402.
- Rossia macrosoma, LIII, 4.
- Rotation, passive, Augenbewegung bei derselben um die Vertikalaxe bei Carcinus Maenas LI, 441
- Rückenanhänge der Aeolidier, Bau derselben LIX, 181.
- Rückbildung v. Darmdrüsen LI, 1
- von Darmdrüsen des menschl. Wurmfortsatzes LI, 31.
- embryonaler Anlagen LVII, 676.
- Rückenhaut, Nervenverlauf in der — von Rana fusca LV, 231.
- , Weiterer Beitrag zur Kenntnis des Nervenverlaufs in der — von Rana fusca LVII, 445.
- , Plexusbildung der Nerven in der Mittellinie d. — einheimischer Frösche LIII, 131.
- , pigmentierte LIV, 76.
- Rückenmark, Gestalt- und Entstehungsweise des Ventriculus terminalis und Filum terminale beim Neugeb., I. Mitteilung LII, 501.
- , — Orang-Utan LIX, 417.
- d. Hatt. punct. LI, 585.
- Rückenmuskeln der Hatteria punctata LI, 541.
- Rückrotation d. Eies LV, 215.
- Rudimente der Kopfhöhlen beim Menschen LIII, 481.
- Rumpfwirbel, LI, 486.
- Rundzellen, LI, 41.
- Russel'sche Fuchsinkörperchen LVIII, 69.
- Rynchocephalia LII, 351.
- Rynchocephalen LI, 516.
- Rynchocephalien, adapté à la vie fluviatile LI, 482.

**S**

- Sacculus stapedis anterior LIX, 547.
- , Anlage im Labyrinth des Huhnes LIX, 366.
- , epitheliale Wand desselben LVIII, 175.
- Saccus endolymphaticus LVI, 845.
- perilymphaticus LVI, 816, 846.
- posterior LIX, 549, 580.
- Sacralmark LVII, 509.
- Sacralsegmente des Rückenmarkes b. Orang-Utan LIX, 452.
- Säuger, Entwicklung der Hypophyse LI, 55.
- Säugetiere, krallentragend, arteriovenöse Anastomosen an den Extremitätenenden LX, 191 und 197.
- , Anlage und Homologie der Muscheln LX, 339.
- , Lage der Ganglienzellen im Herzen LIII, 63.
- , feinerer Bau der Herzganglien LIII, 237.
- , Entwicklung der Skelett- und Herzmuskel LX, 111, der Muskelfasern aus den muskelbildenden Zellen 113, Kernteilung im embryonalen Muskelgewebe 133, Entwicklung des Herzmuskels 140.
- , Entwicklung der Ringmuskelschicht an den Bronchien LX, 460.
- , Entwicklung und Verzweigung des Bronchialbaumes LVI, 606.
- , Entwicklungsgeschichte der Lunge LX, 641.
- , Deutung der epidermoidalen Organe im Integument der — LII, 156.

- Säugetiere, Idiozom und Centralkörper im Ovarialei LVI, 377.
- , Das Labyrinthpigment des Menschen und der höheren — nebst Bemerkungen über den feineren Bau des perilymphatischen Gewebes LVIII, 134.
- , Ueber die Nervenendigungen im Bauchfell und in dem Diaphragma der — LIX, 629.
- , Die Nervenendigungen im Bauchfell, in den Sehnen, den Muskelspindeln und dem Centrum tendineum des Diaphragma beim Menschen und bei — LIX, 1.
- , sensiblen Nervenendigungen in dem Herzen und den Blutgefäßen der — LII, 44.
- , Pankreas-Entwicklung der — LVII, 271; LIX, 89.
- , vitale Färbbarkeit der Phagocyten mit Neutralrot LVI, 868.
- , Ueber die sog. Sternzellen der — Leber LIV, 254.
- Säugetierblase, Innervation derselben LV, 6.
- Säugetierlunge LX, 641.
- Säugetierschädel, Entwicklung desselben LV, 341.
- Säulchen i. Muskelgewebe LX, 130.
- Säulen, Clarke'sche LVII, 507.
- Salamandereier LV, 130.
- Salamanderlarve LIV, 213.
- Salamanderlarven, Rachen-Epithel der — LVII, 202.
- Salamandra LIX, 133.
- maculosa LII, 153; LIII, 44; LIV 423.
- , embryonale Lunge LX, 630.
- Salamanderpankreas, „Trophospongium“ der Nerven und Drüsenzellen LX, 669.
- Salmo salar, M. retactor lentis LVIII, 199.
- , Ueber die Histogenese des peripheren Nervensystems desselb. LVII 354.
- Salpa democratica-mucronata Forsk Bau der Exkretionsorgane LVIII, 636.
- runcivata fusiformis Cuv. Bau, der Exkretionsorgane LVIII, 637.
- Salpen LVI, 232.
- Salze, kernzerstörende LX, 693.
- Samenblase des Menschen LII, 672.
- Samenblasen, Ueber einen eigenartigen Prozess in den — von Cervus alces LX, 100.
- Samenfäden, Ueber Struktur und Histogenese der — des Meer-schweinchens LIV, 329.
- LI, 231.
- Samenkörper LVII, 9.
- Samenkörperkopf LVII, 9.
- Samenmutterzelle LIII, 190.
- Samenständer LI, 230.
- Samenzellen, Ueber den v. la Vallette St. George'schen Nebenkern der — LVI, 553, Paludina vivipara 555, Pygaera bucephala 565, Literaturbesprechung 576.
- Samia ceropia LIV, 90.
- Sammelröhren der Nierenpyramiden LII, 660.
- Sarcoplasma LV, 145.
- Sargus vulgaris LVI, 149.
- Sattler'sche Endothelmembran LX, 571.
- Saurier LII, 271; LV, 474.
- Sauropsiden LI, 519; LIV, 532.
- Scapula der Hatteria punctata LI, —, menschliche LV, 271.
- Schädel der Hatteria LIV, 800.
- , knöcherner, d. Hatt. LII, 321.
- Schädelbalken Rathke'sche LIV, 802.
- Schädelhöhle d. Hatteria punct. LI, 509.
- Schädelknochen, menschliche, Entwicklung ders. LV, 262.
- Schalen, Steinach'sche LVI, 746.
- Schaltstücke, Herzmuskel LX, 147.

- Scheide, Disse'sche LIV, 270.  
 ———, Schwann'sche LV, 243.  
 Schichten, Meynerts LVII, 171.  
 Schicksal der zerfallenden Drüsenzellen LVIII, 89.  
 Schizogonie LIX, 330.  
 Schizonten, reife, bei Malaria LIX, 344.  
 ———, Kernvermehrungserscheinungen LIX, 339.  
 Schilddrüse d. Menschen LII, 656.  
 Schilddrüsenanlage LVII, 720.  
 Schilddrüsencolloid LII, 726.  
 Schildkröte LII, 271.  
 Schildkrötenlunge LX, 616.  
 Schläuche, Pflüger'sche LIII, 369.  
 Schleie LIII, 183.  
 Schleimdrüsen LII, 591, 738.  
 ———, Ebstein'sche LVIII, 700.  
 ———, einfache, Kupffer'sche LVIII, 700.  
 ———, zusammengesetzte LVIII, 700.  
 Schleimfärbung, Hoyer'sche, modificirte, mittels Thionin, LVIII, 678.  
 Schleimgehalt des Zelloberendes, Magenepithel LVIII, 692.  
 Schleimgewebe, Virchow'sches LIX, 524.  
 Schleimhautdrüsen LII, 738.  
 Schleimhautriesenzellen LI, 119.  
 Schleimhauttubuli LII, 754.  
 Schleimspeicheldrüsen LII, 591.  
 Schleimknorpel LI, 456.  
 Schleimreaktion LII, 617.  
 Schleimzellen der Submaxillaris LVIII, 18, 71.  
 ——— der Retrolingualis LVIII, 83.  
 Schliessmuskulatur an den Mündungen der Pankreas- und Gallengänge LV, 614.  
 Schlundbogen, Breite derselben, Tabelle LIX, 486.  
 ———, Dicke derselben, Tabelle LIX, 486.  
 Schlunddarm LIX, 618.  
 Schlundfurchen LVII, 719.  
 Schlundfurchen, äussere LVII, 701, 728, 747.  
 ———, erste LIX, 618.  
 Schlundkommissuren von Carcinus Maenas LI, 398.  
 Schlundmuskulatur, Ganglienzellen derselben bei Pulmonaten LVII, 622.  
 Schlundspalten LVII, 719, 745, 750.  
 ——— in ihrer Anlage LVII, 705.  
 ——— in ihrer Bedeutung LVII, 705.  
 ———, einzelne und ihre Derivate, Entwicklung ders. LVII, 727.  
 ———, menschliche, allgemeine Morphologie LIX, 471.  
 ———, Oeffnung ders. LVII, 746.  
 ———, Schluss derselben LVII, 746.  
 Schlundspaltenverschluss, Ebene desselben LVII, 747.  
 Schlundtasche, erste, Entwickl. im zweiten Monate LIX, 496.  
 Schlundtaschen, Beteiligung d. Gewebe an der Anlage derselben LVII, 752.  
 ——— der Eidechse, physiologische Bedeutung derselben LVII, 749.  
 ——— des Menschen bis zum Anfange ihrer Rückbildung LIX, 477.  
 ———, Entwicklung derselben LVII, 728.  
 ———, funktionslose LVII, 755.  
 ———, Zahl LVII, 744.  
 Schlundtaschenderivate, Entwicklung LVII, 731.  
 Schlundtaschenentwicklung, Tabelle LVII, 731.  
 Schmelzorgan LVII, 753.  
 Schmetterling, Parthenogenese LIII, 444.  
 Schmetterlingsflügel, Pigmentbildung LV, 88.  
 Schnauzendrüse LV, 469.  
 Schneckeneindruck LIX, 485.

- Schneiden der Haare, Untersuchungen über den Einfluss desselben auf d. Wachstum derselben LI, 691.
- Schneider'sche Falten LX, 399.
- —, Entstehung LX, 402.
- Schnürring, Ranvier'scher LV, 242; LIX, 634, 639.
- Scholle, Flemming-Nissl'sche LIV, 155.
- Schollen, Nissl'sche LVII, 516; LIX, 404.
- Schultergürtel der Hatteria LVI, 785.
- Schuppenraum, oberer LIX, 557, 581.
- , unterer LIX, 558, 581.
- Schuppenfelsenfirste LIX, 557, 581.
- Schwann'sche Scheide LIX, 113, 138, 145.
- Schwanzbildung der Spermatozyten LI, 297.
- Schwanzfaden, intracellulärer LIV, 295.
- , Ecker'scher LIII, 92.
- Schwanzkegel, Spermatozyten LI, 312.
- Schwanzknospe, Oellacher'sche LII, 810.
- Schwanzmanchette LIV, 346.
- der Spermien bei Phalangista vulp. LX, 258.
- Schweigger-Seidel'sche Capillarhülsen LVIII, 292.
- Schwein LVII, 180.
- , Blutkörperchen im Embryonalen LIV, 24.
- , Kapsel der Lymphdrüsen LX, 490.
- , mikroskop. Untersuchungen der Lymphdrüsen LX, 489.
- , Stützgerüst der Lymphdrüsen LX, 410.
- Schweissdrüsen, LII, 685, 698.
- , Fettdrüsen ders. LVII, 615.
- Schwerkraft, Bedeutung für die Entwicklung d. Embryo LVI, 309.
- , Einfluss auf die Kernspindel LX, 23.
- , Einfluss auf die Symmetrie des Froscheies LX, 17.
- , Einfluss auf die weitere Ontogenese des Froscheies LX, 50.
- , Wirkung derselben bei der Eifurchung LX, 18.
- Schwimmkäfer, LI, 754.
- Sciurus vulgaris, LX, 315.
- volans, LX, 298.
- Sclerostomum armatum, Rud. LV, 501.
- Sclera der Hatteria LII, 292.
- Scleralknochen, LX, 540.
- , LII, 270.
- Scolopax rusticola, LVI, 280.
- Scolopendra, LVI, 582.
- Scorpaena porcus, LVI, 149.
- Scyllium, LX, 398; LV, 39.
- canicula, LIX, 115.
- —, Cerebellum LVIII, 661.
- —, Spermatogenese LII, 19.
- catulus, LIV, 484, LVI, 167.
- Seegurke, LIII, 196.
- Seesselsche Tasche, LVII, 715.
- —, LIX, 485.
- Segmentierung der Muskelfibrillen LX, 122.
- Sehbahnen des Goldkarpfens LI, 820.
- Sehnen elastische, LVII, 113.
- Sehnen der schiefen Bauchmuskulatur der Frösche, Inscriptiones elasticae derselben LVII, 102.
- , Nervenendigungen LIX, 1, 13.
- Sehorgan der Hatteria LII, 269.
- Sebstäbchenzellen, menschliche, über das Fehlen einer Querschichtung in den Kernen derselben LI, 704.

- Seitenfelder des Trichocephalus dispar. Rud. LVIII, 183.  
 Sekretion, LVII, 657.  
 —, antilytische LVIII, 3, 15.  
 —, morpholog., Veränderungen der Thränendrüsen bei derselben LVIII, 487.  
 —, paralytische, Literatur LVIII, 1.  
 Sekretionserscheinungen d. Giftdrüse d. Kreuzotter LIII, 313.  
 Sekret, chromophiles LVII, 647.  
 Sekretbäumchen LII, 623.  
 Sekretfäden, Verhalten zu den Drüsenzellen LVII, 667.  
 Sekretgänge LII, 380.  
 Sekretkanälchen LII, 638.  
 Sekretkapillaren LII, 581, 697, 751.  
 —, zwischenspaltige LII, 686, 698.  
 Sekretkörnchen LII, 623.  
 Sekretvakuolen LII, 581.  
 Sekretvakuole LVIII, 53.  
 Sekretveränderungen der Retrolingualis im Lumen der Drüsen-schläuche LVIII, 107.  
 Sekretwege LII, 34, 751.  
 Selachier LII, 282; LIII, 36; LIV, 372, 484; LV, 39; LVI, 18; LIX, 133.  
 —, Entwicklung des Geruchsorganes derselben LX, 386.  
 —, Kleinhirn LVIII, 675.  
 Semi canalis pro Cartilagine Mehelii 522.  
 Semnopithecus entellus LVIII, 156.  
 Sepiola rondoletii LIII, 4.  
 Septen Milanis LX, 621.  
 Septum intraorbitale der Hatteria punctata LI, 504.  
 Serranus scriba LVI, 149.  
 Sertoli'sche Zellen, LIX, 117.  
 Silberimprägation d. Nervenzellen u. Markscheiden LIX, 401.  
 Sinnesepithel, Ausstülpung LVIII, 471.  
 Sinneshaare, elastisches Gewebe des Haarbalgs LVII, 128.  
 —, Nervenendigungen in den Tasthaaren LIV, 403.  
 Sinnesorgane der Hatteria LII, 347.  
 Sinnesorgan, epitheliales LVIII, 170.  
 Sinnesplakode LVIII, 648.  
 Sinnesplatte LVIII, 435.  
 Sinnesnervenendstelle LVIII, 171.  
 Sinneszellen d. Nervenendstellen LVIII, 175.  
 — LV, 306.  
 Sinus cervicalis LVII, 724, 744.  
 —, Krause'scher LII, 506.  
 — maxillaris LX, 347, 351.  
 — pyriformis LIX, 478.  
 — utricularis sup. LVIII, 163.  
 Sinusanfänge u. Milzparenchym LVIII, 322.  
 Sinusendothelzellen LVIII, 265.  
 Sinusmembran LVIII, 266.  
 —, Lücken in derselben LVIII, 267.  
 Sinusräume, Entleerung ders. LVIII, 289.  
 Sinusringfasern LVII, 280.  
 Sinuswand, Verhalten der roten Blutkörperchen zu derselb. LVIII, 278.  
 Sinuswände, Durchwanderung farbloser Blutelemente durch dieselben LVIII, 272.  
 Sinustympani LIX, 549, 580.  
 Siphonophoren LVI, 390.  
 Skelettmuskelgewebe, Entwicklung des — der Säugetiere LX, 111.  
 Skleroblasten LVI, 812.  
 Spalax Typhlus LVIII, 174.  
 Spalte, Legal'sche LX, 346.  
 Spannungsgesetz, Heidenhain'sches LV, 76.

- Speicheldrüsen LV, 569.  
 —, Beiträge zur Physiologie LVIII, 1.  
 —, makroskop. Veränderungen nach Chorda - Durchtrennung LVIII, 9.  
 —, normale d. Hundes LVIII, 15.  
 —, Beiträge zur Histologie ders LVIII, 1.  
 Speicheldrüsenveränderungen nach Corda - Durchtrennung LVIII, 70.  
 — nach Unterbindung der Ausführungsgänge LVIII, 118.  
 Speichelröhrchen LII, 588.  
 Sperber LVII, 653.  
 Spermacentrosoma LI, 475.  
 Spermahals LVII, 71.  
 Spermatide, Axenfaden LVII, 186.  
 Spermatiden LIX, 117.  
 — LI, 224.  
 —, gesetzmässige Wachstums- und Bewegungserscheinungen derselben LIX, 106.  
 —, Schicksal d. Sphaere und d. Kernes in dens. LI, 277.  
 —, Ueb. gesetzmässige Bewegungs- und Wachstums-Erscheinungen (Taxis- und Trapismenformen) der —, ihrer Centrankörper, Idiozomen und Kerne LIX, 106.  
 —, Vorgänge an dens. LI, 272.  
 Spermatoblast LI, 226.  
 Spermacentrum LIV, 384.  
 Spermatocyten LVII, 482.  
 — LIII, 24; LI, 226; LIX, 117; LI, 224, 229.  
 — von *Ascaris megalocephala*, über Centrosomen in denselben LH, 113.  
 —, Mitosen derselben LI, 261.  
 —, Sphaere in dens. LI, 234.  
 Spermato-genese, bei *Scyllium canicula* LIII, 19.  
 —, Untersuchung der — LI, 215, Die Sphäre in den Spermatocyten 234, die Veränderung des Kerns von den Spermatogonien bis zur Spermatocyteinteilung 247, Die Mitosen der Spermatocyten 261, Die Vorgänge an den Spermatiden 272, Schicksale der Sphäre und des Kerns in den Spermatiden 277, die Bildung des Schwanzes 296.  
 Spermatogonien LVII, 482; LII, 868; LI, 223, 247; LIX, 117.  
 Spermatogonienkern, Veränderung desselben bis zur Spermatocyteinteilung LI, 247.  
 Spermato-meriten, LVII, 79.  
 —, LVII, 73.  
 Spermato-phor, LIII, 194.  
 Spermatozoiden, pflanzliche LVII, 225.  
 Spermatozoon, Veränderungen im Ei LVII, 71.  
 Spermatozoonbahn, Coincidenz ders. mit der ersten Teilungsebene LV, 187.  
 Spermien, Histogenese von *Phalangista vulpina* LX, 232.  
 —, Zur Histogenese der — von *Helix pomatia* LIV, 291.  
 Spermophilus citillus, LIX, 79.  
 — —, Pankreasentwicklung LIX, 83.  
 Sphaere der Spermatiden und Kerne, Schicksal ders. LI, 277.  
 Sphaere, attractive LIII, 21.  
 Sphères, attractives LVI, 382.  
 —, — LII, 99.  
 Sphaerechinus granularis, LV, 315.  
 Sphärenmembran, LI, 311.  
 —, LIV, 392.  
 Sphaerolite, intra- und extracelluläre LIII, 228.  
 Sphaerularia cunctaria, Schneider LX, 224.  
 Sphenodon, LVI, 783, 820.  
 —, LII, 265.

- Sphenoidalregion, menschliche LV, 356, 363, 373, 383, 399.  
 Sphincter pupillae, Entwicklung derselben LX, 526.  
 Spiegelmeise, LIII, 116.  
 Spiess, Retzius'scher LI, 295.  
 Spina bifida, LI, 320.  
 Spinalganglien, LIII, 301.  
 —, Bildung und Differenzierung LVII, 392.  
 Spinalganglienzellen, LV, 517.  
 —, Einige Beobachtungen über den Bau der — bei einem viermonatlichen menschlichen Embryo LIX, 459.  
 Spinalnerven der Hatt. punct. LI, 622.  
 —, motorische Wurzeln LVII 41.  
 Spindelbildung, LIV, 166.  
 Spindelrestkörper, LVI, 584.  
 Spiralen, Herxheimer'sche LVI, 173.  
 Spiroptera corvi, LVI, 362.  
 — Mugientis, LI, 761.  
 — obtusa, LVI, 363.  
 — tuberculata, LX, 219.  
 Spiropterina, scillicola van Benedens LVIII, 191.  
 Spirostomum ambiguum, LIX, 109.  
 Splanchnocranium d. Hatteria LVI, 809, 819.  
 Splanchnopleura, LVI, 478.  
 Spleniale d. Hatt. punct. LI, 522.  
 Spongioplasma, LIII, 518.  
 —, LIV, 302.  
 —, LV, 57.  
 Sporogonie, LIX, 331.  
 Sporozoit, LIX, 331.  
 Sporulation bei Malaria LIX, 351.  
 Sprossen, epitheloide LI, 3.  
 Spürhaare, Glashaut LVII, 136.  
 Spürhaarwurzel, Blutgefässe LVII, 144.  
 Spurilla neapolitana Bergh LIX, 181.  
 Squamosum d. Hatt. punct. LI, 512.  
 Stabilitblock, Bemerkung zum Aufsatz: Dr. J. J. Streiff, „— u. Alkoholkammer etc. LVII, 480.  
 Stäbchen der Cuticula LIV, 211.  
 Stäbchencuticula, LII, 645.  
 Stäbchenorgan d. Darmepithelzellen LIV, 219.  
 Stäbchensehzellen. Ueber das Fehlen einer Querschichtung in den Kernen der menschlichen — LI, 704.  
 Stabzellen der Milz, Bedeutung LVIII, 261.  
 Stadium, poikilomorphes der Muskelkerne LX, 533.  
 Stammbronchus, Aeby'scher LVI, 634.  
 Stammesgeschichte der Nebennieren LVI, 1.  
 Stapediusfalte, LIX, 548, 581.  
 Stapes der Hatt. punct. LI, 499.  
 — der Hatteria LVI, 832.  
 Stegocephalen, LII, 334.  
 Steigbügel, LIX, 569.  
 Steigbügelfalte, hintere LIX, 553, 569, 580.  
 —, obere LIX, 548, 569, 580.  
 Steissdrüse, Anlage derselben LIII, 95.  
 —, fötale Entwicklung LIII, 78.  
 Steissteil des Sympaticus LIII, 94.  
 Stenophylax latipennis Curt LI, 758.  
 Sternum der Hatteria LVI, 785.  
 — der Hatt. punct. LI, 490.  
 Sterna minuta, LVI, 200.  
 Sternalrippen der Hatt. punct. LI, 490.  
 Sternzellen, LIV, 257.  
 —, LVIII, 576.  
 —, Kupffer'sche LIV, 259.  
 —, Ueber die sog. — der Säugetierleber LIV, 254.  
 Stilling'sche Kerne, LIX, 419, 431, 434, 436, 440.  
 Stierrückenmark, protoplasmatische Struktur, LIII, 492.

- Stöhr'sche Zellen, LVIII, 716.
- Störungen an Eiern durch Zwangslage LV, 218.
- in der Froscheientwicklung durch Temperaturüberschreitung LI, 329.
- Stränge, Braun'sche LVII, 828.
- Strang, Burdach'scher LIX, 431.
- , Goll'scher LIX, 431.
- Stratum corneum, LVII, 603.
- LVI, 202.
- granulosum, LVI, 190.
- Malpighi, LVI, 172.
- tensum profundum, LVII, 603.
- Streifen, Amici'scher LII, 766.
- , Baillarger'scher LVII, 171.
- Strix aluco, LIV, 332.
- vascularis, Pigment LVIII, 162.
- Stromazellen, spinnenförmige LII, 290.
- Strongylus arcticus, LVI, 366.
- paradoxus, Mehlis LV, 504.
- Struktur, Eine neue Methode zur Färbung des Centralnervensystems nebst Bemerkungen über die — der Gross- und Kleinhirnrinde LIX, 211.
- , Ueber — und Histogenese der Samenfäden des Meerschweinchens LIV, 329.
- des Protoplasmas, Nachtrag und Berichtigung zu meiner Arbeit: „Ueber die — d. menschlichen Epidermiszelle“ (Dr. K. Herxheimer) LIV, 289.
- , Ueber die — der Darmepithelzellen LIV, 184, Allgem. über die Plasmastruktur der Darmepithelzellen 190, Spezielle Architektonik der Darmepithelzellen 196, über die Analogie der Basalfilamente in den Darmepithelzellen 212, über das Stäbchenorgan der Darmepithelzellen 219.
- Struktur, feinere, der geschichteten Pflasterepithelien LV, 431.
- , —, der Nervenzellen und ihrer Fortsätze LIII, 485.
- der menschlichen Epidermiszelle LIII, 510.
- , protoplasmatische des Stier Rückenmarkes LIII, 492.
- Studien über Neuroglia LV, 11.
- Stützfaser n, Müller'sche LII, 276.
- der Retina LII, 282.
- Stützgerüst der Lymphdrüsen beim Rind LX, 484.
- Stützzellen und Neuroblasten LVII, 399.
- Subiculum promontorii LIX, 540.
- Submaxillaris LV, 570; LVIII, 16, 119.
- , Ausführungsgänge LVIII, 75.
- , Form der Drüsenschläuche LVIII, 16.
- , Halbmondzellen LVIII, 74.
- , interstitielles Drüsengewebe LVIII, 35.
- , — Gewebe LVIII, 77.
- , paralytische LVIII, 77.
- , —, Pilocarpinwirkung auf dieselbe LVIII, 78.
- , Schleimzellen LVIII 71.
- Subplacenta LI, 155.
- Substanz, achromatische im Knorpel LX, 85.
- , chromatische LX, 95.
- , hyaline, Langleys LVIII, 40.
- , interstitielle im Hoden, Bedeutung derselben LII, 866.
- , lininogene LVI, 653.
- , onychogene, LVII, 790.
- , Roland'sche LIX, 419, 440.
- , schwammige Lissauers LIX, 427.
- Substantia ferruginea LIII, 643.
- Suleus auris anterior LIX, 596, 615.
- tensoris tympani LIX, 490.

- Superoccipitale d. Hatt. punct. LI, 496.  
 Supraangulare der Hatt. punct. LI, 523.  
 Suprachorioides LII, 288.  
 Supraoccipitale der Hatteria punctata LI, 496.  
 Suprapericardialkörper LVII, 726, 732.  
 Suprarenalkörper LVI, 5.  
 Sus scrofa LVIII, 174.  
 ——— dom. LIV, 528; LVIII, 143.  
 Symmetrie, bilaterale, über das erste Auftreten derselben im Verlauf der Entwicklung LV, 171.  
 ———, ———, der Zellen LIV, 202.  
 ———, ebene, des Eies LV, 176.  
 ———, Einfluss der Schwerkraft auf die Entstehung und Erhaltung der bilateralen — des Froscheies LX, 17.  
 Sympaticuszellen, chromaffine LIII, 290.  
 Syncytium im Herzmuskel LX, 148.  
 Syringomyelie LII, 529.

## T

- Tabelle der Schlundtaschenentwicklung LVII, 731.  
 Tactile organs LII, 161.  
 Talgdrüsen LVII, 614.  
 ———, versprengte LIV, 602.  
 Talpa europaea LVIII, 153.  
 ——— LII, 157; LVIII, 174; LX, 321.  
 Tarsus der Hatt. punct. LI, 533.  
 ——— der Hatteria LVI, 796.  
 Tasche, entodermale LVII, 706.  
 ———, Herold'sche LIII, 446.  
 ———, Seessel'sche LIX, 485.  
 Tasthaare LI, 699.  
 ———, Ueber die Frage der Nervenendigungen in den — und Sinushaaren LIV, 403.  
 Tastkegel LII, 161.  
 Taxisformen, Ueber gesetzmässige Bewegungs- u. Wachstumserscheinungen (— u. Tropismenformen) der Spermatiden, ihrer Centrakörper, Idiozomen u. Kerne LIX, 106.  
 Technik der Leucocytenfärbung LVI, 872.  
 Tegumentarius LI, 391.  
 Teil, epitympanaler LIX, 571.  
 ——— tympanaler LIX, 571.  
 Teilung, accessorische LIII, 12.  
 ——— der Hodenzellen LIII, 19.  
 Teilungsebene, erste, Coincidenz derselben mit der Spermatozoonbahn LV, 187.  
 Tejus Monita LII, 333.  
 Teleostier LIII, 187; LV, 43; LVII, 749.  
 Telophasen LIX, 122.  
 Telostier Neuroglia LV, 43.  
 Temperatur für die Froscheientwicklung, physiolog. Cardinalpunkt derselben LI, 329.  
 Temperaturgrenze, untere, für die Eientwicklung bei Rana fusca LI, 346.  
 Temperaturüberschreitung, Störungen durch dieselbe bei der Froscheientwicklung LI, 329.  
 Tensoreinschnitt LIX, 503, 577.  
 Tensorfalte LIX, 547, 564, 570, 580.  
 Tensorrinne LIX, 490, 577.  
 Tergipes despectus LIX, 199.  
 Tertianparasiten, einkernige, verschiedene Arten LIX, 337.  
 Testudinaten LI, 517.  
 Testudo graeca LI, 786; LII, 299; LIV, 534.  
 Theca, Blutgefässe in derselben LVIII, 406.

- Thelassema LVII, 85.  
 Thelytokie LIII, 454.  
 Theorie, Cohnheim'sche LVI, 2.  
 — —, Rabl'sche LVI, 192.  
 Theriotaxis LIX, 107.  
 Theriotropismus LIX, 107.  
 Thigmotaxis LIX, 107.  
 Thigmotropismus LIX, 107.  
 Thränendrüse LVIII, 502.  
 — — der Katze LVIII, 504.  
 — —, menschliche LII, 564.  
 — —, Morphologische Veränderungen der — bei der Sekretion. Zugleich ein Beitrag zur Granula-Lehre LVIII, 487.  
 Thränengangmündung LV, 473.  
 Thränennasengang LVIII, 466.  
 — — der Amphibien LV, 441.  
 Thränenröhrchen LV, 470.  
 Thränenwege d. Hatt. LII, 300.  
 Thymalus vexillifer LI, 75.  
 Thymus LVII, 721, 748; LX, 299.  
 Thyreoidea, Anlage LVII, 716.  
 Thysanozoon LVII, 87.  
 Thiere, krallentragende LX, 209.  
 — —, labyrinthpigmentarme LVIII, 173.  
 — —, labyrinthpigmentreiche LVIII, 173.  
 Tochttersphären LVII, 87.  
 Topographie des Labyrinthpigments LVIII, 163.  
 — — des Mittelohres verschiedener Säugetiere LIII, 558, Echidna hystrix 574, Manis javanica 585, Mus musculus 594, Felis domestica 599.  
 Tornelia fragans LIV, 5.  
 Torpedo LV, 197; LVII, 85; LX, 398.  
 — — marmorata LVI, 461.  
 — — —, Histologie des elektr. Lappen LX, 181.  
 — —, Untersuchungen von jüngeren Embryonen vor — LVI, 459.  
 Touren, spiralig gewundene LIV, 185.  
 Trabekulardentin LVII, 754.  
 Tractus cerebello-mesencephalicus LVIII, 667.  
 — — cerebello-spinalis LVIII, 667.  
 — — cerebello-spinalis ventralis LVIII, 669.  
 — — cerebello-tectalis LVIII, 668.  
 — — cerebello-thalamicus cruciatus LVIII, 667.  
 Trachea, Trennung v. Oesophagus LX, 463.  
 Tragus LIX, 615.  
 Transplantation, intramuskuläre LIV, 442.  
 — —, subcutane, LIV, 442.  
 — —, Veränderungen der Nebenniere bei — LIV, 440.  
 Transplantationsversuche mit Hydra LI, 70, Legitime Transplantationen 70, Modifikation des Trembley'schen Umstülpungsversuches 76, illegitime Propfung 85, zu Kleinenbergs Neuromuskelttheorie 93.  
 Transversum der Hatteria punct. LI, 503.  
 — — Osowa LVI, 811.  
 Trapezkern LIV, 310.  
 Trembley'scher Umstülpungsversuch, Modifikation desselben LII, 76.  
 Trennung der Trachea vom Oesophagus LX, 463.  
 Trichocephalus dispar Rud. und seine Seitenfelder LVIII, 183.  
 — — globulosus n. sp. LVIII, 182.  
 Trichterbewegung LVII, 185.  
 Trigemini ganglion das — des Orang LX, 514.  
 — —, obere, äuss. Wurzel LVIII, 673.  
 Trigemini kern, Zur Anatomie des accessorischen — LIX, 270.  
 Trigemini wurzel, Die obere —, Morphologische Beschaffenheit der oberen — LIII, 632, periphere Verbindung mit d. muscul. tensor veli palatini 654.

- Triopa clavigera* LIII, 196.  
*Triton* LIII, 183; LIV, 212.  
 — alpestris LVIII, 464.  
 —, Operationen an demselben LVII, 814.  
 — taeniatus LIII, 201; IV, 572; LVIII, 458.  
*Tritonen* LI, 516.  
*Trochleariskreuzung* LVIII, 669.  
*Tröltzsch'sche Falte*, vordere LIX, 558, 581.  
 —, hintere Falte LIX, 548, 566  
*Trommelfell* der *Hatteria* LVI, 828.  
*Trophospongien* LX, 669.  
*Trophospongium* der Nervenzellen und der Drüsenzellen des Salamanderpankreas LX, 669.  
*Trophotaxis* LIX, 107, 136.  
*Trophotropismus* LIX, 107.  
*Tropidonotus natrix* LII, 274; LIII, 321.  
*Tropismenformen*, Ueber gesetzmässige Bewegungs- u. Wachstums-Erscheinungen, (Taxis- und Tropismenformen) der Spermatischen, ihrer Centralkörper, Idiozomen und Kerne LIX, 106.  
*Trottellumne* LI, 47.  
*Trutta fario* LI, 751.  
 — — — LX, 428.  
*Tuba* LIX, 511.  
*Tubarepithel* des Kaninchens LVII, 187.  
*Tuberculum membranae tympani* LIX, 590, 618.  
*Tubuli contorti* LII, 663.  
*Tunica propria labyrinthi* membra LVIII, 140.  
*Tunicaten* LVI, 596.  
 —, Untersuchungen über den Bau der Exkretionsorgane der — LVIII, 608.  
*Tupaia ferruginea* LX, 320.  
*Turbellarien* LII, 646; LIII, 195; LV, 195.
- Typus, Langhans'scher LIV, 460.  
*Tympanicum* der *Hatt. punct.* LI, 498.  
*Tyson'sche Drüsen* LIII, 212.

## U

- Uebergangsspermatogonien* LI, 227.  
*Ueberschlagseier*, LX, 42.  
*Ulna*, LVII, 819.  
 — der *Hatt. punct.* LI, 528.  
*Umdrehreflex* b. *Carcinus Maenas* LI, 434.  
*Umgestaltung* der einzelnen Kiemenspalten LVII, 727.  
*Umkehrung* der Eier LVI, 331.  
*Umordnungsstadium*, LI, 264.  
*Umstülpungsversuch*, Trembley'scher, Modifikation desselben LII, 76.  
*Umwandlung* der Haarbüschel, Ursache LIX, 50.  
 — der Uterusschleimhaut zur *Decidna* LVII, 528.  
*Unbefruchtetes* *Froschei*, LX, 45.  
*Ungulaten*, LVI, 4.  
*Unio complanata*, LVII, 86.  
*Unke*, Entwicklung LVIII, 441.  
*Unterarmknochenextirpation*, LVII, 810.  
*Unterbindung* der Ausführungsgänge, Speicheldrüsenveränderungen darnach LVIII, 118.  
 — einzelner Pankreasteile, mikroskop. Veränderungen darnach LIX, 286.  
*Unterkiefer* der *Hatteria punct.* LI, 520.  
*Unterlidblutsinus*, LII, 296.  
*Untersuchung*, histologische, über den Eirfluss des Schneidens der Haare auf ihr Wachstum LI, 691.

Untersuchung über Spermatogenese LI, 215.

— über den Bau der Exkretionsorgane der Tunicaten LVIII, 608, *Botryllus violaceus* M. Ed., *B. Schlosseri* (Tallas) Savigny, *Botrylloides luteum* Drasch, *B. rubrum* M. Ed. u. *Polycyclus Renieri* Lam. 611, *Ciona intestinalis* L. 613, Ascidiinae 615, *Asciidiella cristata* Risso 622, *Ascidia mentula* O. F. Müller 623, Cynthiadeen 624, *Molzula occulta* Kupffer 627, *Salpa democratica-mucronata* Forsk 636, *Salpa runcinata-fusififormis* Cuv. 637.

— über die normale und pathologische Hypophysis cerebri des Menschen LVII, 632.

— über das Centralnervensystem des Kaninchens LVII, 488, Gestalt des Vorderhorns in den verschiedenen Höhen des Rückenmarks 491, die Verteilung der Zellen 443, Oberes Halsmark 494, Mittlere Lateralgruppe 496, hintere Lateralgruppe 496, mittlere Medialgruppe 496, hintere Medialgruppe 457, hintere Zwischenzellen 497, Mittelzellen 497, Austritt der Wurzelfasern 498, mittleres und unteres Halsmark 498, vordere Lateralgruppe 498, mittlere Lateralgruppe 499, hintere Lateralgruppe 499, vordere Medialgruppe 500, mittlere Medialgruppe 500, hintere Medialgruppe 501, vordere Zwischengruppe 501, hintere Zwischengruppe 501, Mittelzellen 502, die Austrittszone der Wurzelfasern 503, die sog. rücklaufenden Collateralen 504, Collateralen des Seitenstranges 506, Collateralen der Hinterstränge 506, das Dorsalmark 506, das Lendenmark 507, vordere Lateralgruppe 507, mittlere Lateralgruppe 508,

hintere Lateralgruppe 508, mediale Gruppen 508, Zwischengruppen 508, Austrittszone der Wurzelfasern 508, Collateralen der Hinterstränge 509, das Sacralmark 509, Frontalschnitte 511, die Verteilung der Nervenzellen im Vorderhorn 514, der Charakter der Vorderhornzellen 515, Gestalt und Grösse der Vorderhornzellen 516, die Dendriten der Vorderhornzellen 516, das Verbreitungsgebiet der Dendriten 517, die Funktion der Dendriten 519, der Neurit 520, die motorischen Collateralen 522, die Collateralen der Seitenstränge 523, die Collateralen des Vorderstrangs 524, des Hinterstrangs 524.

—, Weitere — über die Veränderungen der Nervenzellen in verschiedenem Alter LVIII, 231.

Untersuchungen, experimentelle, über die Sehbahnen des Goldkarpfens LI, 820.

— über d. menschliche Neuroglia LVI, 509.

— über die feinere Struktur der Nervenzellen und ihre Fortsätze LIII, 485.

—, vergleichend anatomische üb. den Ursprung und Phylogenese d. *N. accessorius Willisii* LIV, 514.

—, vergleichende über d. mikroskopischen Bau der Lymphdrüsen von Pferd, Rind, Schwein u. Hund LX, 469.

Uratzellen, grosse LIII, 220.

Ureter, LII, 665.

Ureterepithel, LII, 695.

Urethralsekret, gonorrhöisches LVI, 873.

Urgewebe, LVI, 41.

Urmund, Anlagestelle LV, 182.

—, Verschiebung dess. LV, 214.

Urmundschluss bei *Rana fusca* LX, 407.

- Urmundwanderung, LV, 217.  
 Urmund, Wanderung desselben bei  
*rana fusca* LX, 407.  
 Urnierentrichter, LVI, 41.  
 Urodelen, LII, 298, 278, LI, 519,  
 LIII, 170.  
 —, LVII, 749.  
 —, LVII, 818.  
 —, LVIII, 458.  
 —, Entwicklung der Nasenhöhle  
 LVIII, 411.  
*Uromastix acanthinurus*,  
 LI, 786.  
 Urwirbelcommunication,  
 LVI, 483.  
 Urwirbelhöhle d. Hatt. LVI, 747.  
 Uterinmilch, LI, 714.  
 Uterus der Maus, Implantation des  
 Eies in die Schleimhaut desselben  
 LVII, 528.  
 Uterusschleimhaut, Umwand-  
 lung ders. z. *Decidna* LVII, 528.  
 —, Verdichtung ders. LVII, 543.
- V**
- Vacuolated leucocyts*, LIV, 90.  
 Vacuolenbildung in den Pha-  
 gocyten LIV, 316.  
 Vaguskern, hinterer LIV, 519.  
 Van Beneden's Genus *Coronilla*  
 u. *Spiropterina scillicola* LVIII, 191.  
*Vanessa antiopa*, LIV, 90.  
 Vas epididymis des Menschen,  
 Haarbüschel der Epithelzellen  
 LIX, 32.  
 Vater'sche Körperchen,  
 LVI, 336.  
 Venen, capillare LV, 152.  
 — der Hatteria 841.  
*Vena lienalis*, LVIII, 363.  
 Venenwandungen, elast. Gewebe  
 ders. LV, 152.  
 Ventrikelbildung, echte  
 LII, 527.
- Ventriculus cerebelli*,  
 LVIII, 662.  
*Ventriculus* IV der Hatteria  
*punctata* LI, 590.  
 — terminalis, LII, 504.  
 — — —, Entstehungsweise  
 LII, 501.  
 — — —, Gestalt ders. LII, 501.  
 — des Rückenmarks bei Neu-  
 geborenen LII, 501.  
 Veränderung d. Drüsenschlauch-  
 form LVIII, 98.  
 — des Froscheies durch Ent-  
 zündung erregendes Agens LII,  
 842.  
 — der Hirngefäße in ver-  
 schiedenem Alter LIX, 258.  
 — der Nebenniere bei Trans-  
 plantation LIV, 440.  
 Veränderungen der Nervenzellen  
 in verschiedenem Alter LVIII, 231.  
 — des Nervenapparates der  
 Drüsen LVIII, 118.  
 — des Spermatozoons im Ei  
 LVII, 71.  
 —, makroskopische der Speichel-  
 drüsen nach Chordadurchtrennung  
 LVIII, 9.  
 —, mikroskopische des Pankreas  
 nach Unterbindung einzelner Teile  
 LIX, 286.  
 — morphologische der Thränen-  
 drüse bei der Sekretion LVIII, 487.  
 — über spontane und unter dem  
 Einflusse eines Entzündung er-  
 regenden Agens im Amphibienei  
 stattfindende LV, 111.  
 Verbindung, peripherische des  
 oberen Verbindungsnerv mit M.  
 tensor veli palatini LIII, 654.  
 Verbindungsfasern, periphe-  
 rische LVI, 579.  
 Verbreiterungszone LVII, 597.  
 Verdauungsorgane d. Hatteria  
 LII, 343.  
 Verdichtung der Uterusschleim-  
 haut LVII, 543.

- Vergleichend anatom. Untersuchungen über Ursprung und Phylogense des N. Accessorius willissii LIV, 512.
- Verhalten der Kerne bei der Conjugation des Infusors Colpidium Colpoda St. LIV, 95.
- der Primitivfibrillen bei Degeneration d. markhaltigen Nervenfasern der Wirbeltiere LIV, 135.
- der Primitivfibrillen im Centralnervensystem von Carcinus Maenas LI, 382.
- der Protoplasmafasern zu der Wabenstruktur der Epidermiszellen LIII, 535.
- der Secretfäden zu den Drüsenzellen LVII, 667.
- Verhornung der menschlichen Oberhaut LVI, 169.
- Verhornungsprozess LVII, 766.
- , Beziehungen des Keratohyalins zu demselben LVII, 784.
- Verkalkung LVI, 762.
- Verknöcherung, endochondrotische LVI, 800.
- Verknorpelung LVI, 756.
- Verlagerung der lamina cribrosa LX, 360.
- des Riechorganes LX, 389.
- Verlauf der Entwicklung, über das erste Auftreten der bilateralen Symmetrie in dens. LV, 171.
- der peripheren Endfasern des N. cochleae LIX, 152.
- des N. cochleae LIX, 144.
- Verletzung der Hirnrinde LVII, 180.
- Verlötung, secundäre d. inneren Fruchtblattes LIX, 479.
- Vermehrung, geschlechtliche, der Malariaparasiten LIX, 329.
- , ungeschlechtliche, der Malariaparasiten LIX, 329.
- Verschleimung d. Epithelzellen des Magens LVIII, 697.
- Verschlussmembran, LVII, 712.
- Verteilung der Nervenzellen im Vorderhorn LVII, 493, 514.
- Verwachsungsversuche zwischen Individuen einer Art LI, 70.
- zwischen Individuen verschied. Art LII, 85.
- zwischen Hydra grisea und fusca und viridis LII, 86.
- Verzweigung des Bronchialbaumes den Säugetierlunge LVI, 606.
- Vespertilio, LX, 323.
- mystacinus, LX, 321.
- Viergruppen, Richtungskörperbildung LIX, 392.
- Virchow'sches Schleimgewebe, LIX, 524.
- Zellen, LIX, 449.
- Visceralskelett d. Hatt. punct. LI, 523.
- Vitale Leucocytenfärbung, über das Wesen ders. LVI, 904.
- Vögel, LII, 880.
- , LVI, 3.
- , Bau des lobus opticus. LIII, 106.
- , Entwicklungsgeschichte der Lunge LX, 592.
- , Histologie des Muskelmagens LVII, 653.
- , Ringwulst der Linse, Falten im LVIII, 558.
- Vogelauge, pars ciliaris retinae LVII, 346.
- Vogelfeder, erste Anlage LVII, 696.
- Vola manus, LVII, 618.
- pedis, LVII, 618.
- Vomer der Hatt. punct. LI, 502.
- Vorderdarm u. einige angrenzende Organe, Studien über die Entwicklung ders. LIX, 471.
- Vorderhirn der Hatteria punct. LI, 593.

- Vorgänge an den Spermatiden LI, 272.
- Vorderhorn, Gestalt dess. beim Kaninchen LVII, 491.
- , Verteilung der Nervenzellen LVII, 493.
- Vorderhörner im Rückenmark des Orang-Utan LIX, 425, 432, 437, 441.
- Vorderhornzellen, Charakter derselben LVII, 515.
- , Dendriten ders. LVII, 516.
- , Gestalt derselben LVII, 516.
- , Grösse derselben LVII, 516.
- des Stierrückenmarkes, Protoplasmastruktur dess. LIII, 492.
- Vorderstrang, Collateralen dess. LVII, 524.
- Vorkern, männlicher, Bildung desselben LVII, 71.
- , weiblicher, Aufnahme in das Polplasma LVII, 75.
- weiblicher Bildung LVII, 74.
- Vorkerne, Conjugation LVII, 75.
- Vorniere, LVI, 42.
- W**
- Wabenstructur der Epidermiszellen, Verhalten derselben zu den Protoplasmafasern LIII, 535.
- Wabenstructuren, Bütschli'sche LIV, 143.
- Wabenwerk LV, 132.
- Wachstum der Haare, histolog. Untersuchungen über den Einfluss des Schneidens auf dass. LI, 691.
- der Nasenmuskeln LX, 339.
- , lokalisiertes, einfache Einstülpung ohne dass. LV, 586.
- Wachstumserscheinungen, gesetzmässige der Spermatiden, ihrer Centalkörper, Idiozomen und Kerne LIX, 106.
- Waldeyer'scher Hornkern LIX, 427.
- Waldeyer'sche Markbrücke LIX, 428, 439.
- mittlere Zellen LIX, 425, 433, 443.
- Zonalschicht LIX, 419, 434, 438.
- Wandepitheliale des Succulus LVIII, 175.
- Wanderung des Urmundes bei *Rana fusca* LX, 407.
- Wanderzellen, primäre LIV, 57.
- Wandspannung LVII, 595.
- Wandung der Gallenkapillaren LVIII, 570.
- Wandverdickung, hülsenartige der Milzarterie LVIII, 360.
- Wandzelle, unregelmässige LIII, 192.
- Wesen der Befruchtung LVII, 37.
- der vitalen Leucocytenfärbung LVI, 904.
- Wharton'scher Gang LVIII, 10, 76, 118.
- Wurzeln, sensible, Bildung und Differenzierung LVII, 392.
- Wimperepithelien LII, 146.
- Wimpertrichter LIII, 178.
- Winkelstellung der Symmetrieebenen LV, 179.
- Wirbel, embolomere LIV, 778.
- Wirbelkörper, primäre LVI, 748.
- Wirbelsäule LI, 483.
- der Hatteria LVI, 747.
- , menschliche LV, 247.
- Wirbeltiere, amniote LVII, 449.
- amphirine, Hypothese der primären Monorhinie derselben LVIII, 640.
- , Entwicklung d. Binnenmuskeln des Auges LVIII, 199.
- , Degeneration d. markhaltigen Nervenfasern LIV, 135.
- , Morphologie der Nebenniere LIII, 281.
- , Neurofibrillen in den Ganglienzellen und ihre Beziehungen zu den Golginetzen LV, 513.

- Wirbeltiere, Neuroporus-Verdickung und die Hypothese von der primären Monorhinie der amphirhinen Wirbeltiere LIII, 640.
- Wirbeltierauge, Entwicklung Binnenmuskeln dess. LVIII, 199.
- Wirbeltierei LVII, 85.
- Wirbeltierlunge, Vergleichende Entwicklungsgeschichte LX, 587.
- Wirkungsgesetz von Roux LV, 188.
- Wolff'sche Körper LVII, 833.
- Wurzel, absteigende des Trigemini LIX, 270.
- , obere äussere des Trigemini LVIII, 673.
- , obere d. Trigemini LIX, 270.
- Wurzelfasern. Austritt derselb. LVII, 498, 503, 508.
- , vordere, im Halsmark des Orang-Utan LIX, 418, 430, 535, 440.
- Wurzeln, hintere im Halsmark des Orang-Utan LIX, 419, 430, 435, 440.
- , motorische der Spinalnerven LVII, 407.
- Zelle der Epidermis, Nachtrag u. Berichtigung zu meiner Arbeit: „Ueber die Struktur des Protoplasmas der menschlichen —“ (Dr. K. Herxheimer) LIV, 289.
- , über die Abhängigkeit der Färbung d. Leucocyteinschlüsse, von dem Leben ders. LVI, 877.
- , Ueber Kern- und — -Teilung LIX, 647.
- , intravasculäre in den Blutkapillaren der Leberacini LV, 420.
- , Struktur und Architektur I. Mitteilung LII, 134, 535.
- , motorische LVII, 152.
- , Muskulatur und Architektur II. Nervengewebe LII, 535, III. Teil, Muskelgewebe 762.
- , überlebende LVIII, 489.
- , Verson'sche LIII, 197.
- Zellen, acidophile LI, 732.
- , der Acousticuskern LV, 527.
- , des Ammonshornes LV, 517.
- , Betz'sche LVII, 159.
- , braune LIII, 302.
- , der Brunner'schen Drüsen LII, 654.
- , Burkhardt'sche LV, 47.
- , chromafine LIII, 303.
- , — LVI, 100.
- , chromophobe LVII, 642, 646.
- , Corti'sche LIX, 156.
- , Deiters'sche LV, 59.
- , — LVI, 512.
- , — LIX, 149.
- , v. Ebner'sche LI, 229.
- , eosinophile LI, 722.
- , granuliert LVII, 7.
- , mit geteiltem Protoplasma bei Malaria LIX, 342.
- , Giercke'sche LIX, 449.
- , Golgi'sche LIX, 217.
- , grobgranulierte LV, 571.
- , Henle'sche LI, 224.
- , Holm'sche LX, 420.
- , Langerhans'sche LVII, 771.

## Z

Zähne, Cortische LIX, 167.

—, der Hatteria LVI, 822.

Zahl der Kiementaschen LVII, 706.

Zamenis viridiflavus LI, 777.

Zell- u. Kernteilung LIX, 697.

Zelle, Biologie LVI, 651. Vermehrung durch Teilung, Einfache Teilung 651, mitotische Teilung 668, Theorien der mitotischen Teilung, Ueberblick 691.

—, Biologie der Zelle. II. Die Reifung und Befruchtung des Eies LVII, 9.

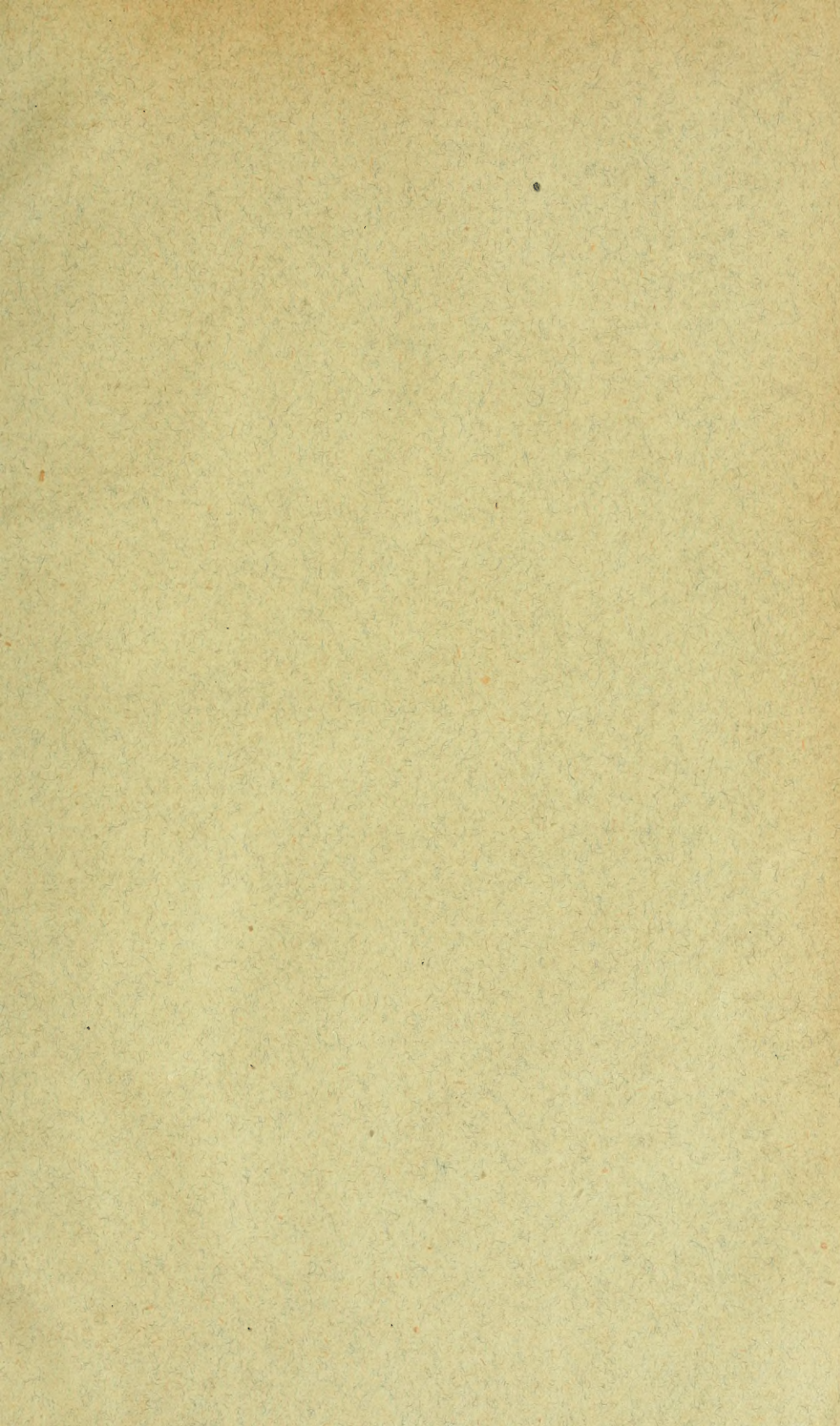
- Zellen, mittlere, Waldeyer'sche LIX, 425, 433, 443.  
 —, Paneth'sche LII, 653; VIII, 716.  
 — des motorischen Feldes der Medulla LV, 519.  
 Zellen, motorische des Menschen LVII, 175.  
 —, mehrkernige bei malaria LIX, 341.  
 — der motorischen Kerne der Medulla LV, 519.  
 — des Nucleus dentatus LV, 527.  
 —, Nussbaum'sche LVIII, 716.  
 —, Pflüger'sche, LII, 756.  
 —, Purkinje'sche LV, 516.  
 — mit sehr vielen Kernen bei Malaria LIX, 342.  
 —, Reissner-Frend'sche LVII, 413.  
 —, seröse der Retrolingualis LVIII, 47, 85, 100,  
 —, Sertoli'sche LII, 860; LI, 222, 801; LIII, 180; LV, 350, 598.  
 —, skelettogene LVI, 747.  
 —, perichordale  
 —, sternförmige LII, 586.  
 —, Stöhr'sche LII, 756; LVIII, 716.  
 —, Struktur und Architektur ders. LII, 134, 535, 762.  
 —, verknorpelte LVI, 758.  
 —, Virchow'sche LIX, 449.  
 Zellart, motorische LVII, 155.  
 Zelldegeneration in Papillen LVII, 687.  
 Zelleinschlüsse LII, 135.  
 Zellenhaufen LII, 156.  
 Zellenmembran, LVI, 183.  
 Zellgruppe, hintere mediale LVII, 494, 497, 500.  
 —, mittlere mediale LVII, 494, 496, 500.  
 Zellgranula LII, 135.  
 Zellgranule, Darstellungsmethode, vitale Färbung LV, 558, d. Leberzellen 566, Speicheldrüsen 569.  
 Zellkapsel LIII, 12.  
 Zellkerne, ruhende LX, 868.  
 Zellenklümpchen LIII, 98.  
 Zellenknorpel LI, 454.  
 Zellkörper, Purkinje'sche LII, 196.  
 Zelloberende, Schleimgehalt LVIII, 692.  
 Zellenoberfläche, feine Punktierung derselben LVI, 207.  
 Zellplatte, LV, 596.  
 —, entodermale LVII, 267.  
 Zellsphäre, grosse, Struktur derselben LVI, 330.  
 Zellenstudien LV, 63, Ueber Kernstrukturen 94, Cytomechanik oder Cytodynamik 101.  
 Zellteilung, Einfluss der Kälte auf dieselbe LI, 322.  
 —, mitotische LVI, 661.  
 —, Untersuchungen über — LIII, 19.  
 —, Zur Kenntnis der — bei Myriapoden LVII, 481.  
 Zenzera aesculi, LIII, 446.  
 Zieselembryonen, Pencreusbildung LIX, 89  
 Zitterrochen, LV, 517.  
 Zonalschicht, Waldeyer'sche LIX, 419, 434, 438.  
 Zugfaserkegel, LIV, 293.  
 Zungenbein der Hatteria LVI, 809.  
 Zusammenstoss der Keimblätter LVII, 753.  
 Zungenwurzel, kleine seröse Drüsen derselben LII, 588.  
 Zungenwurzel, menschliche, geschichtetes Plattenepithel ders. LII, 683.  
 Zwangslage, Pflüger'sche LV, 204.

- |   |   |
|---|---|
| Zwangslage, Pflüger'sche<br>LVI, 331.   | Zwillingseier, wahre LIII, 371.               |
| — des Frosches, Pflüger'sche<br>LX, 52, 56.   | Zwischenhirn d. Hatteria punct.<br>LI, 592.   |
| —, Prüfung ders. LVI, 315.  | Zwischenkörperchen,<br>Flemming'sche LI, 269. |
| Zwangslage, Störungen bei den<br>Eiern durch dieselben LV, 218.                                   | —, Flemming'sches LV, 325.                    |
| Zwangslageeier, LV, 186.  | Zwischensubstanz d. Hodens<br>LI, 794.        |
| Zweiergruppen, Richtungs-<br>körperbildung LIX, 392.  | —, Leydig'sche LI, 795.                       |
| Zweifel, Victor Ebner's an der<br>Existenz normaler Poren zwischen<br>den Lungenalveolen LV, 337. | Zwischenwirbelkörper,<br>primärer LVI, 751.   |
| Zwillingseier, LIII, 361.   | —, secundärer LVI, 753.                       |
| —, LIV, 437.  | Zygapophysen, LVI, 759.                       |
|   | Zygotroph, LI, 516.                           |











MBL WHOI Library - Serials



5 WHSE 02640

1438

